

**UNIVERZITET CRNE GORE
ELEKTROTEHNIČKI FAKULTET**

Marko Marković

Kompresivno odabiranje u rekonstrukciji biomedicinskih slika

-Magistarski rad-

Podgorica, 2023. godine

PODACI I INFORMACIJE O MAGISTRANDU

Ime i prezime: Marko Marković

Datum i mjesto rođenja: 10.04.1998. godine, Cetinje, Crna Gora

Naziv završenog osnovnog studijskog programa i godina završetka studija:

Elektronika, telekomunikacije i računari, 2019. godine

Naziv završenog specijalističkog studijskog programa i godina diplomiranja:

Elektronika, 2020. godine

INFORMACIJE O MAGISTARSKOM RADU

Naziv postdiplomskog studija: Akademske magistarske studije elektronike

Naslov rada: Kompresivno odabiranje u rekonstrukciji biomedicinskih slika

Fakultet na kojem je rad odbranjen: Elektrotehnički fakultet, Podgorica

UDK, OCJENA I ODBRANA MAGISTARSKOG RADA

Datum prijave magistarskog rada: 09.11.2022. godine

Datum sjednice Vijeća na kojoj je prihvaćena tema: 22.02.2023. godine

Komisija za ocjenu teme i podobnosti magistranda:

1. Prof. dr Srđan Stanković
2. Prof. dr Irena Orović
3. Doc. dr Andela Draganić

Mentor: Prof. dr Irena Orović

Komisija za ocjenu rada:

1. Prof. dr Srđan Stanković
2. Prof. dr Irena Orović
3. Doc. dr Andela Draganić

Komisija za odbranu rada:

1. Prof. dr Srđan Stanković
2. Prof. dr Irena Orović
3. Doc. dr Andela Draganić

Datum odbrane: 06.07.2023. godine

ETIČKA IZJAVA

U skladu sa članom 22 Zakona o akademskom integritetu i članom 24 Pravila studiranja na postdiplomskim studijama, pod krivičnom i materijalnom odgovornošću, izjavljujem da je magistarski rad pod naslovom

"Kompresivno odabiranje u rekonstrukciji biomedicinskih slika"

moje originalno djelo.

Podnositelj izjave,

Marko Marković, Spec. Sci

Sažetak

Kompresivno odabiranje je jako popularna tehnika u obradi signala koja svoju primjenu ima u raznim oblastima ljudske djelatnosti, od prirodnih nauka, preko medicine do umjetnosti. Teorija kompresivnog odabiranja kaže da se određeni signal može rekonstruisati na osnovu malog broja nasumično odrađenih mjerena ako taj signal zadovoljava uslove rijetkosti i inkoherenције. U literaturi postoji veliki broj algoritama koji se primjenjuju nad različitim signalima, a u zavisnosti od tipa signala, postoje pogodni transformacioni domeni u kojima signal iskazuje svojstvo rijetkosti.

Zbog neophodnosti da kvalitet biomedicinskih slika bude na zadovoljavajućem nivou, pacijenti su često izloženi relativno dugom i neprijatnom procesu snimanja. Sama priroda procedure snimanja često zahtijeva i izlaganje ionizujućem zračenju, što može imati negativan uticaj na zdravlje ljudi.

Da bi se smanjilo vrijeme izlaganja navedenom procesu, kompresivno odabiranje se može iskoristiti u cilju smanjenja vremena koje pacijent proveđe na snimanju, imajući u vidu da može obezbijediti zadovoljavajući kvalitet slike iz smanjenog broja prikupljenih mjerena. Kao jedna od metoda koja rješava slučaj rekonstrukcije signala iz smanjenog broja mjerena u uslovima koje zahtijeva kompresivno odabiranje, pristup naizmjenične metode množitelja (*alternating direction method of multipliers*), koji rješava probleme konveksne optimizacije, će biti prilagođen da radi sa oštećenim biomedicinskim slikama koristeći različite minimizacione norme (ℓ_{21} -norma i TV minimizacija) i transformacione domene.

U radu će biti testirane sve varijante navedenih normi i transformacionih domena, radi nalaženja najboljeg rješenja za svaki tip slika. Svrha rada je da pristup kompresivnog odabiranja može dati značajan doprinos u analizi biomedicinskih slika, omogućavajući njihovu rekonstrukciju iz relativno malog broja mjerena, čime se omogućava skraćenje procedure snimanja pacijenta. Važno je napomenuti da skraćenje procedure snimanja ne utiče na kvalitet slike, pa samim tim ni na rezultate dijagnostičkih procesa.

Ključne riječi: kompresivno odabiranje, biomedicinske slike, naizmjenična metoda množitelja, minimizacione norme, transformacioni domeni.

Abstract

Compressive sensing is a very popular technique in signal processing that has its applications in various fields of human activity, from natural sciences, over medicine, to art. The theory of compressive sensing states that a certain signal can be reconstructed based on a small number of randomly performed measurements, if that signal satisfies the conditions of sparsity and incoherence. In the literature, there are a large number of algorithms that are applied to different signals, and depending on the type of signal, there are suitable transformation domains in which the signal exhibits the property of sparsity.

Due to the necessity for the quality of biomedical images to be at a satisfactory level, patients are often exposed to a relatively long and unpleasant imaging process. The very nature of the imaging procedure often requires exposure to ionizing radiation, which can have a negative impact on people's health.

In order to reduce the time of exposure to the mentioned process, compressive sensing can be used to reduce the time the patient spends on imaging process, bearing in mind that it can provide satisfactory image quality from the reduced number of collected measurements. As one of the methods that solves the case of signal reconstruction from a reduced number of measurements in conditions that require compressive sensing, the alternating direction method of multipliers, which solves convex optimization problems, will be adapted to work with damaged biomedical images using different minimization norms (ℓ_{21} -norm and TV minimization) and transformation domains. In this paper, all variants of the mentioned norms and transformation domains will be tested, in order to find the best solution for each type of images.

The purpose of the paper is to show that the approach of compressive sensing can make a significant contribution to the analysis of biomedical images, enabling their reconstruction from a relatively small number of measurements, thus enabling the shortening of the patient imaging procedure. It is important to note that shortening the imaging procedure does not affect the quality of the image, and thus the results of diagnostic processes.

Keywords: compressive sensing, biomedical images, alternating direction method of multipliers, minimization norms, transformation domains.

Sadržaj

| | |
|--|-----------|
| Spisak slika | 1 |
| Spisak tabela | 3 |
| 1 Uvod | 4 |
| 2 Kompresivno odabiranje | 7 |
| 2.1 Osobina rijetkosti | 9 |
| 2.1.1 Normirani vektorski prostori | 13 |
| 2.1.2 TV minimizacija | 15 |
| 2.2 Koherencija | 16 |
| 2.3 Restricted isometry property (RIP) | 18 |
| 2.4 Matematičke transformacije | 19 |
| 2.4.1 Diskretna Furijeova transformacija | 20 |
| 2.4.1.1 Primjena DFT-a | 21 |
| 2.4.2 Diskretna kosinusna transformacija | 22 |
| 2.4.2.1 Primjena DCT-a | 23 |
| 2.4.3 Wavelet transformacija | 25 |
| 2.4.3.1 Primjena wavelet-a | 28 |
| 2.4.3.2 Wavelet familije | 31 |
| 2.5 Primjena kompresivnog odabiranja | 34 |
| 3 Biomedicinske slike | 36 |
| 3.1 Magnetna rezonantna tomografija | 36 |
| 3.2 X-ray | 38 |
| 3.3 Kompjuterizovana tomografija | 40 |
| 4 Algoritmi za rekonstrukciju | 42 |
| 4.1 Basis Pursuit | 42 |
| 4.2 Adaptivni gradijentni algoritam | 43 |
| 4.3 Orthogonal Matching Pursuit | 44 |

| | | |
|----------|--|-----------|
| 4.4 | Iterativni algoritam sa tvrdim pragom | 44 |
| 4.5 | Pristup naizmjenične metode množitelja | 45 |
| 5 | Eksperimentalni rezultati | 50 |
| 5.1 | MRI | 50 |
| 5.2 | X-ray | 58 |
| 5.3 | CT | 65 |
| 6 | Zaključak | 73 |
| | Literatura | 75 |
| | Prilog | 81 |

Spisak slika

| | | |
|------|---|----|
| 2.1 | Na slici (a) je predstavljen signal u vremenskom domenu, a na slici (b) u transformacionom domenu (DCT) | 9 |
| 2.2 | Wavelet transformacija Lena slike, sa detaljima | 10 |
| 2.3 | Grafička reprezentacija fomulacije $\mathbf{y} = \Phi\Psi\mathbf{x}$ | 12 |
| 2.4 | Geometrijska predstava ℓ_p -normi u R^2 prostoru sa $p = 1, 2, \infty$ i sa kvazinormom $p = \frac{1}{2}$ | 14 |
| 2.5 | Aproksimacija koristeći ℓ_p -normu sa $p = 1, 2, \infty$ i sa kvazinormom $p = \frac{1}{2}$ | 14 |
| 2.6 | Prije i nakon primjene TV minimizacije | 16 |
| 2.7 | Lijevo je signal u vremenskom domenu, dok je na desno signal u Furijeovom transformacionom domenu | 20 |
| 2.8 | Lijevo je originalna slika, dok je na desno data rekonstruisana slika | 24 |
| 2.9 | Poređenje sinusoide i wavelet-a | 25 |
| 2.10 | Vidljivo je da je <i>wavelet denoiser</i> odstranio veliku količinu šuma, dok je istovremeno sačuvao oštре odlike signala (što je unapređenje u odnosu na odstranjivanje šuma bazirano na Furiju (<i>Fourier-based denoising</i>)). Za potrebe dodavanja i odstranjivanja šuma sa signala, korišćene su ugrađene Matlab funkcije <i>wnoise</i> i <i>wdenoise</i> , respektivno. Kod je dat u prilogu rada | 29 |
| 2.11 | Prikaz Daubechies wavelet-a, od drugog do desetog | 32 |
| 2.12 | Prikaz prvih pet coiflet-a | 33 |
| 2.13 | Prikaz symlet wavelet-a za različite nestajuće momente | 33 |
| 3.1 | Uticaj radiofrekvencije na protone u molekulima vode | 37 |
| 3.2 | Snimci glave | 38 |
| 3.3 | Prikaz X-ray snimka ljudskih pluća. Kosti grudnog koša se prikazuju svijetlim bojama, dok su plućna tkiva prikazana tamnijim bojama | 39 |
| 3.4 | CT slika abdomena | 41 |
| 5.1 | MRI mozga | 51 |
| 5.2 | MRI koljena | 51 |
| 5.3 | Oštećene i rekonstruisane MRI slike | 53 |
| 5.4 | Rast vrijednosti PSNR-a u zavisnosti od porasta broja iteracija | 53 |

| | | |
|------|---|----|
| 5.5 | Primjeri MRI rekonstrukcije koristeći TV minimizaciju | 55 |
| 5.6 | Primjeri MRI rekonstrukcije koristeći ℓ_{21} -normu | 58 |
| 5.7 | X-ray pluća | 58 |
| 5.8 | X-ray kuka | 58 |
| 5.9 | Oštećene i rekonstruisane X-ray slike | 60 |
| 5.10 | Rast vrijednosti PSNR-a u zavisnosti od porasta broja iteracija | 60 |
| 5.11 | Primjeri X-ray rekonstrukcije koristeći TV minimizaciju | 63 |
| 5.12 | Primjeri X-ray rekonstrukcije koristeći ℓ_{21} -normu | 65 |
| 5.13 | CT pelvisa | 65 |
| 5.14 | CT kičme | 65 |
| 5.15 | Oštećene i rekonstruisane CT slike | 67 |
| 5.16 | Rast vrijednosti PSNR-a u zavisnosti od porasta broja iteracija | 67 |
| 5.17 | Primjeri CT rekonstrukcije koristeći TV minimizaciju | 70 |
| 5.18 | Primjeri CT rekonstrukcije koristeći ℓ_{21} -normu | 72 |

Spisak tabela

| | | |
|----|---|----|
| 1 | Rezultati MRI rekonstrukcije, sa korišćenim DCT domenom i TV minimizacijom | 51 |
| 2 | Rezultati MRI rekonstrukcije, sa korišćenim DCT domenom i ℓ_{21} -normom | 52 |
| 3 | MRI rekonstrukcija sa Daubechies familijom, TV minimizacija | 54 |
| 4 | MRI rekonstrukcija sa Coiflet familijom, TV minimizacija | 54 |
| 5 | MRI rekonstrukcija sa Symlet familijom, TV minimizacija | 55 |
| 6 | MRI rekonstrukcija sa Daubechies familijom, ℓ_{21} -norma | 56 |
| 7 | MRI rekonstrukcija sa Coiflet familijom, ℓ_{21} -norma | 56 |
| 8 | MRI rekonstrukcija sa Symlet familijom, ℓ_{21} -norma | 57 |
| 9 | Rezultati X-ray rekonstrukcije, sa korišćenim DCT domenom i TV minimizacijom | 59 |
| 10 | Rezultati X-ray rekonstrukcije, sa korišćenim DCT domenom i ℓ_{21} -normom . | 59 |
| 11 | X-ray rekonstrukcija sa Dubechies familijom, TV minimizacija | 61 |
| 12 | X-ray rekonstrukcija sa Coiflet familijom, TV minimizacija | 62 |
| 13 | X-ray rekonstrukcija sa Symlet familijom, TV minimizacija | 62 |
| 14 | X-ray rekonstrukcija sa Daubechies familijom, ℓ_{21} -norma | 63 |
| 15 | X-ray rekonstrukcija sa Coiflet familijom, ℓ_{21} -norma | 64 |
| 16 | X-ray rekonstrukcija sa Symlet familijom, ℓ_{21} -norma | 64 |
| 17 | Rezultati CT rekonstrukcije, sa korišćenim DCT domenom i TV minimizacijom | 66 |
| 18 | Rezultati X-ray rekonstrukcije, sa korišćenim DCT domenom i ℓ_{21} -normom . | 66 |
| 19 | CT rekonstrukcija sa Daubechies familijom, TV minimizacija | 68 |
| 20 | CT rekonstrukcija sa Coiflet familijom, TV minimizacija | 69 |
| 21 | CT rekonstrukcija sa Symlet familijom, TV minimizacija | 69 |
| 22 | CT rekonstrukcija sa Daubechies familijom, ℓ_{21} -norma | 70 |
| 23 | CT rekonstrukcija sa Coiflet familijom, ℓ_{21} -norma | 71 |
| 24 | CT rekonstrukcija sa Symlet familijom, ℓ_{21} -norma | 71 |

1 Uvod

U današnjem svijetu, kojeg karakteriše razvoj novih tehnologija i digitalna transformacija gotovo svih domena ljudskog djelovanja, postoji stalna potreba za generisanjem, prenošenjem, procesuiranjem i skladištenjem podataka. U te svrhe se koriste razni uređaji i senzori koji generišu velike količine digitalnih podataka za čiju su transmisiju, obradu i čuvanje potrebni značajni resursi. Ovo je zajednički problem sistema koji se bave prikupljanjem radarskih, biomedicinskih, multimedijalnih i drugih podataka, jer pored toga što mogu biti memorijski zahtjevni, mogu biti i vremenski neefikasni. Tradicionalno, signali su se rekonstruisali na osnovu matematičkog formalizma koji definiše teorema o odabiranju, što je rezultiralo velikim brojem odbiraka koje treba skladišiti. Postavlja se pitanje da li je moguće smanjiti broj potrebnih odbiraka, a da to smanjenje ne utiče na kvalitet rekonstrukcije. Odgovor je pozitivan, i dolazi u vidu pristupa kompresivnog odabiranja (*compressive sensing*), koje kaže da se signal može rekonstruisati na osnovu mnogo manjeg broja nasumičnih mjerena ukoliko zadovoljava uslove rijetkosti i inkoherenције. U literaturi postoji veliki broj algoritama koji se primjenjuju nad različitim signalima, a u zavisnosti od tipa signala, postoje pogodni transformacioni domeni u kojima signal iskazuje svojstvo rijetkosti. Samim tim što se signal rekonstruiše na osnovu malog broja mjerena, koji je znatno manji od dimenzija signala, problem se zasniva na rješavanju neodređenog sistema jednačina koji ima beskonačno mnogog rješenja. U tu svrhu se koristi jako veliki broj optimizacionih algoritama koji pokušavaju da nađu tačno rješenje i koji su različitog nivoa kompleksnosti i računske izvodljivosti. Često se pojavljuju novi algoritmi i pristupi, koji predstavljaju unapređenje nekih postojećih algoritama, koji teže da postignu bolje performanse i kraće vrijeme izvršavanja.

Od velikog broja raznih pristupa koji rješavaju probleme kompresivnog odabiranja, pristup naizmjenične metode množitelja rješava probleme konveksne optimizacije tako što zadati problem razbija na niz manjih djelova koje je pojedinačno lakše riješiti. Osnovni princip se zasniva na dekompoziciji problema, nakon čega se rješenja podproblema koordinišu da bi se našlo globalno rješenje problema. Ovaj pristup je svoju široku primjenu našao i kod mašinskog učenja, statistike, pametnih električnih mreža, optimizacionih problema, aplikacijama sa velikim brojem podataka.

Biomedicinske slike su od enormnog značaja u medicini jer daju uvid u unutrašnjost tijela,

te predstavljaju bitnu dijagnostičku tehniku koja je u stanju da otkrije brojne abnormalnosti kao što su prelomi kostiju i promjene u tkivima i organima. Najčešće korišćene metode za generisanje biomedicinskih slika su magnetna rezonantna tomografija, kompjuterizovana tomografija i tehnika x-zraka. Kako je neophodno da kvalitet biomedicinskih slika bude na zadovoljavajućem nivou, snimanja su često dugotrajna, pa pacijenti mogu osjetiti nelagodu ili se od njih može zahtijevati da duže vremena miruju u određenom položaju, što može biti zahtjevno za neke pacijente i može dovesti do neuspješnog rezultata snimanja. Sam proces snimanja raznim biomedicinskim uređajima, pored toga što je neprijatan za pacijente, može biti i štetan zbog same prirode postupka (npr. kompjuterizovana tomografija) koja uključuje zračenje koje je jonizujućeg tipa, pa izlaganje takvom tipu zračenja povećava vjerovatnoću pojave raka, te je poželjno da se minimizuje doza radijacije kojom je pacijent izložen.

U ovom radu će biti istraživana mogućnost primjene pristupa kompresivnog odabiranja u procesu analize i obrade biomedicinskih slika. Posebna pažnja će biti posvećena metodu naizmjeničnih množitelja (*alternating direction method of multipliers*), kao jednom od pristupa koji se koriste za rekonstrukciju oštećenih signala u uslovima kompresivnog odabiranja. Slike će imati različite stepene oštećenja, kao i različitu rezoluciju, od niske do visoke rezolucije. Pristup naizmjenične metode množitelja će biti prilagođen da radi sa oštećenim slikama, tako što će se testirati različite minimizacione norme u cilju traženja najoptimalnije za datu aplikaciju. Takođe, testiraće se i različiti transformacioni domeni sa ciljem traženja domena koji će omogućiti najkoncizniju predstavu za određeni tip biomedicinske slike. Biće detaljno analizirane sve varijante radi nalaženja najboljeg rješenja za svaki tip slika.

Svrha rada je da se pokaže da tehnikom kompresivnog očitavanja, kroz naizmjeničnu metodu množitelja, može skratiti proces kojim se stvara biomedicinska slika, a da to skraćenje ne utiče značajno na kvalitet slike jer je kvalitet biomedicinske slike od esencijalne važnosti radi dijagnostifikacije raznih stanja kod pacijenata (prelomi, tumori, krvarenja itd.). Uz skraćenje procesa, pacijent je manje izložen jonizujućem zračenju, što je značajan benefit.

Rad je organizovan na sljedeći način. Drugo poglavlje opisuje proceduru kompresivnog odabiranja, potrebnih uslova za njegovu realizaciju, kao i pregled najčešće korišćenih matematičkih transformacija i minimizacionih normi, sa njihovim primjenama u realnim aplikacijama. Treće poglavlje opisuje vrste biomedicinskih slika, metode njihove akvizicije i značaj biomedicinskih slika u dijagnostici. Četvrto poglavlje daje uvid u najčešće korišćene rekon-

strukcione algoritme, sa neophodnim matematičkim formalizmom i načinom njihovog funkcionisanja. U njemu će poseban osvrt biti na opisu i definisanju rada pristupa naizmjenične metode množitelja. U petom poglavlju će biti izloženi eksperimentalni rezultati dobijeni primjenom metoda naizmjeničnih množitelja, koji je prilagođen radu sa pojedinim tipovima biomedicinskih slika. Detaljno će biti analizirane sve varijante minimizacionih normi i transformacionih domena, da bi se za svaki tip slike utvrdio najpogodniji pristup. U posljednjem, šestom poglavlju, će biti iznesen zaključak na osnovu teorijskih očekivanja i eksperimentalnih rezultata, i utvrditi praktičnost primjene kompresivnog odabiranja kroz naizmjeničnu metodu množitelja nad oštećenim biomedicinskim slikama.

2 Kompresivno odabiranje

U komunikacijama, sam proces prikupljanja podataka (odbiraka) nekog signala je definisan pionirskim radovima Koteljnika (*Vladimir Kotelnikov*), Šenona (*Claude Shannon*), Nikvista (*Harry Nyquist*) i Vitakera (*Edmund Whittaker*)[1]. Na osnovu ovih radova je definisana fundamentalna teorema u komunikacijama, Šenon-Nikvistova teorema o odabiranju. Ona definiše potrebne uslove za tačnu rekonstrukciju uzorkovanog signala. Prema ovoj teoremi, signal od interesa se može tačno rekonstruisati ukoliko je frekvencija odabiranja bar dva puta veća od maksimalne frekvencije signala, tj. $f_s \geq 2f_{max}$. Ukoliko je ovaj uslov ispunjen, signal se može rekonstruisati na osnovu prikupljenih odbiraka. Ovakav način odabiranja signala rezultira postojanjem velikog broja odbiraka, pogotovo ako je u pitanju visoko frekventni signal.

Tradicionalno odabiranje signala je dugo vremena bilo standard kada je uzorkovanje i mjerjenje u pitanju, pa da bi se uštedjelo na transmisionim i smještajnim resursima, nad prikupljenim odbircima bi se izvršila kompresija do zadovoljavajućeg nivoa putem raznih matematičkih algoritama za kompresiju podataka. Ovi algoritmi su dominantno bili bazirani na pretpostavci da većina signala u sebi sadrži veliku količinu nepotrebnih informacija čije bi skladištenje značilo rasipanje sa memorijskim resursima, a bez kojih bi se zadržao željeni kvalitet signala, jer su ljudska čula ograničene rezolucije i neke degradacije na signalu bi prošle nezapaženo. Takođe, kompleksnost samih kompresionih algoritama je uslovljena i poznavanjem određenih specifičnosti odabiranih signala, kao na primjer da neki signal u određenom transformacionom domenu ima mnogo kompaktniju predstavu u odnosu na vremenski domen, pa se samim veliki broj odbiraka može zanemariti.

Prethodno opisani proces se može sumirati na sljedeći način. Posmatrani signal se odabira, pa nakon odabiranja se kompresuje kompresionim algoritmima i onda šalje transmisionim medijumom ili se čuva u memoriji. Dakle, kompresija dolazi nakon odabiranja, kada se većina prikupljenih informacija odbaci. Odbacivanje velikom broj odbiraka nakon kompresije upućuje na pitanje da li je potreban toliki broj mjerjenja (tj. senzora koji u tu svrhu služe), kao i da li je moguće smanjiti vrijeme akvizicije signala ukoliko je moguće smanjiti broj odbiraka potrebnih za uspješnu rekonstrukciju.

Odgovor na prethodno postavljeno pitanje se, ne tako davno, pojavio u obliku kompresiv-

nog odabiranja (za kompresivno odabiranje će biti korišćena skraćenica CS), novog pristupa u akviziciji i obradi signala, koji može promijeniti nači dizajniranja senzora i koji drastično smanjuje potrebu za brojem odbiraka koju definiše Šenon-Nikvistova teorema. Samim tim se i smanjuju potrebe za memorijskim, transmisionim i računskim resursima. Kompresivno odabiranje može prevazići nedostatke tradicionalnog načina odabiranja, zasnovanog na teoremi o odabiranju, jer se procedura kompresije podataka obavlja pri samoj proceduri odabiranja, a ne nakon procesa odabiranja kako se obavljalo u tradicionalnom pristupku. Takođe, CS otvara mogućnost za pojednostavljenje skupih sistema i aparata za prikupljanje/akviziciju podataka kao što su kamere sa visokom rezolucijom, MRI skeneri, PET skeneri... Vrijeme prikupljanja podataka se može drastično smanjiti u određenim aplikacijama, što je od velike koristi, pogotovo kod MRI skenera gdje se smanjuje vrijeme izlaganja pacijenata radijaciji.

Teorija komprimovanog očitavanja kaže da se neki signal koji želimo da rekonstrujišemo može rekonstruisati koristeći mali broj nasumice odabranih odbiraka onda kada taj signal ima kompaktnu (rijetku) reprezentaciju u nekom transformacionom domenu. Pojam kompaktnosti (*sparsity*) signala znači da se taj signal, najčešće u transformacionom domenu, može predstaviti sa malim brojem nenultih koeficijenata, što pogoduje kompresibilnosti signala i smanjenju memorijske upotrebe. Uz svojstvo rijetkosti, bitan uslov za uspješnu rekonstrukciju je i inkoherenca, tj. da mjerenja budu linearno nezavisna. Što je veći stepen inkoherenca, to je potrebno manje mjerenja da bi se uspješno rekonstruisao signal [2].

Ukoliko je proces prikupljanja odbiraka linearan, onda se problem rekonstrukcije na osnovu prikupljenih podataka svodi na rješavanje sistema linearnih jednačina. Posmatrajmo neki signal \mathbf{f} sa N odbiraka i pretpostavimo da se mjeri proces modeluje matricom mjerena Φ . Proces mjerena nad signalom \mathbf{f} se predstavlja kao problem rekonstrukcije koristeći M mjerena:

$$\Phi\mathbf{f} = \mathbf{y}, \quad (2.1)$$

gdje je \mathbf{y} vektor mjerena signala \mathbf{f} .

Gledajući tradicionalan pristup odabiranja, broj mjerena i dužina signala bi morali biti jednaki ($M = N$). Ono što nam teorija komprimovanog odabiranja omogućava za uspješnu rekonstrukciju jeste da uzmemos M nasumice odabranih mjerena pri čemu je taj broj nasumice odabranih mjerena mnogo manji od dužine signala ($M \ll N$). Samim tim, rekonstrukcija signala je moguća koristeći samo mali broj odbiraka [3].

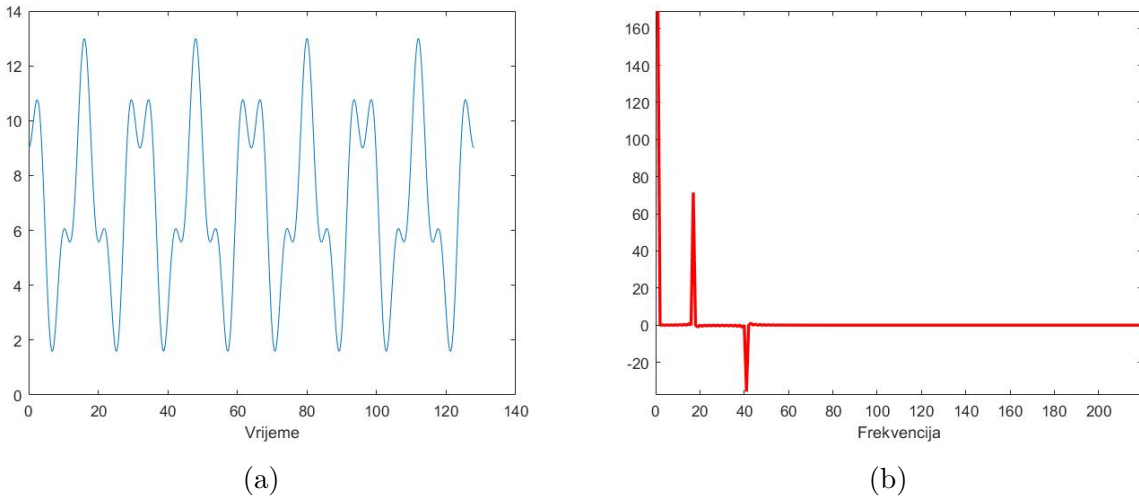
Postoji nekoliko standardnih algoritma za minimizaciju greške koji se koriste kod komprimovanog odabiranja, među kojima su algoritmi zasnovani na ℓ_1 minimizaciji, *greedy* algoritmi...

2.1 Osobina rijetkosti

Za većinu realnih signala možemo reći da imaju svojstvo rijetkosti (kompaktnosti) ukoliko su predstavljeni u pogodnom transformacionom domenu.

Signal ima osobinu rijetkosti ako se u određenom transformacionom domenu može predstaviti sa malim brojem nenultih odbiraka, dok su vrijednosti svih ostalih odbiraka jednake nuli. Taj mali broj nenultih koeficijenata je mnogo manji od dužine signala. Ukoliko signal ima veći broj nenultih koeficijenata u transformacionom domenu, a većina tih koeficijenata ima vrijednost blisku nuli, onda taj signal takođe ima osobinu rijetkosti jer se vrijednosti tih koeficijenata mogu aproksimirati nulom ili zanemariti [2],[4]. Signali sa osobinom rijetkosti su kompresibilni signali.

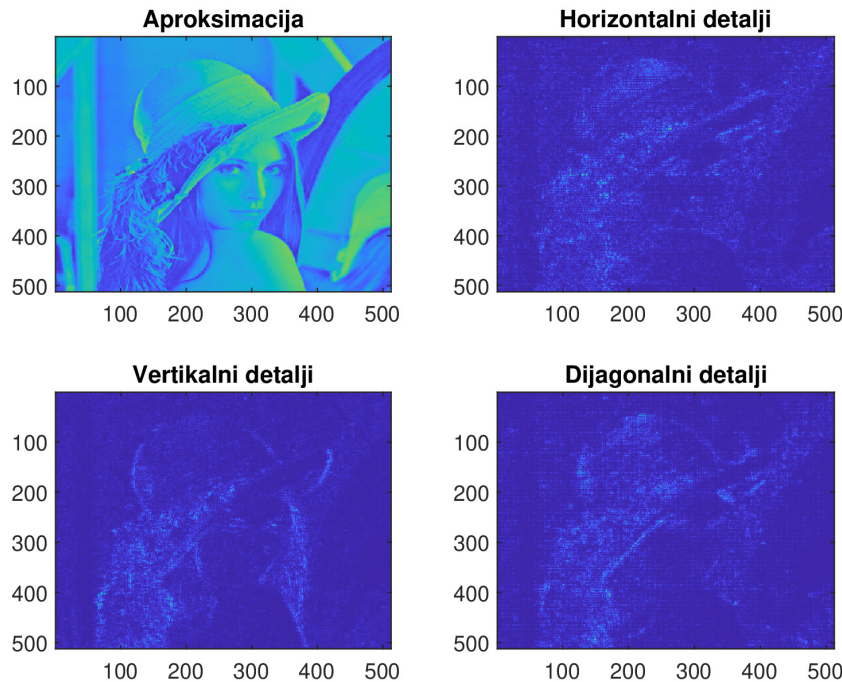
Da su za signal bitne informacije sadržane u malom broju koeficijenata ilustruje primjer signala $y = 7 + 4\cos(2\pi t f_1) - 2\cos(2\pi t f_2)$, gdje su $f_1 = \frac{8}{N}$, $f_2 = \frac{20}{N}$, $t = 0 : 0.1 : N$ i $N = 128$. Na slici 2.1 je dat prikaz navedenog signala u vremenskom domenu i tog istog signala nakon primjene diskretnog kosinusnog transformatora (kod dat u prilogu rada). Jasno je da je signal rijedak u navedenom transformacionom domenu zbog malog broja nenultih odbiraka u tom



Slika 2.1: Na slici (a) je predstavljen signal u vremenskom domenu, a na slici (b) u transformacionom domenu (DCT)

domenu.

Još jedan ilustrativan primjer osobine rijetkosti kod signala se može vidjeti na slici 2.2 gdje je uzeta slika Lena (u prostornom domenu), nad kojom je izvršena Wavelet transformacija (kod je dat u prilogu rada), gdje su dati horizontalni, vertikalni i dijagonalni detalji. Primjetno je da je jako veliki broj koeficijenata taman, tj. ili su nula ili ih aproksimiramo nulom. Slike u opštem slučaju nemaju rijetku reprezentaciju niti u jednom domenu, ali se često može naći domen u kom većina koeficijenata slike imaju jako malu vrijednost, koja se može aproksimirati nulom.



Slika 2.2: Wavelet transformacija Lena slike, sa detaljima

Kada se nađe pogodan transformacioni domen i kada se dobije rijetka reprezentacija signala, tada se odbirci mogu nazvati mjerjenjima (obzervacijama). Realne signale konačne dužine predstavljamo vektorima u n -dimenzionom Euklidskom prostoru, oznake R^n . Posmatrajmo signal $f(n)$ koji ima N odbiraka. Ovaj signal možemo predstaviti kao linearu kombinaciju ortonormalnih funkcija koje u transformacionom domenu čine bazu:

$$f(n) = \sum_{j=1}^N x_j \psi_j(n) \text{ ili : } \mathbf{f} = \Psi \mathbf{x}. \quad (2.2)$$

U vektoru \mathbf{x} se nalazi niz pozicija koje imaju nenulte vrijednosti:

$$\text{supp}(\mathbf{x}) := \{n \in (1, \dots, N) : x_n \neq 0\}. \quad (2.3)$$

Neka je K broj nenultih koeficijenata vektora \mathbf{x} i neka je $K \ll N$. Tada možemo reći da je signal rijedak sa stepenom rijetkosti K (K -rijedak).

Prednosti predstavljanja signala u odgovarajućem transformacionom domenu (Wavelet, DCT, DFT...) se najbolje ogledaju u njihovoј rijetkoј reprezentaciji. Ovu osobinu koriste kompresioni algoritmi. Naime, kodiranje se obavlja za K najbitnijih koeficijenata, dok se preostalih $N - K$ mogu zanemariti i njihove vrijednosti se postavljaju na nulu [2],[5]. Kako su kompresioni algoritmi zasnovani na perceptualnim karakteristikama ljudskog čulnog aparata, to odabir K najznačajnijih koeficijenata (tj. koeficijenata koji imaju najveće amplitude u određenom transformacionom domenu) neće dovesti do primjetnih narušavanja kvaliteta signala. Vektor \mathbf{x} je K -rijedak ukoliko u njemu ima K nenultih koeficijenata:

$$\|\mathbf{x}\|_0 := \text{card}\{\text{supp}(\mathbf{x})\} \leq K, \quad (2.4)$$

gdje je

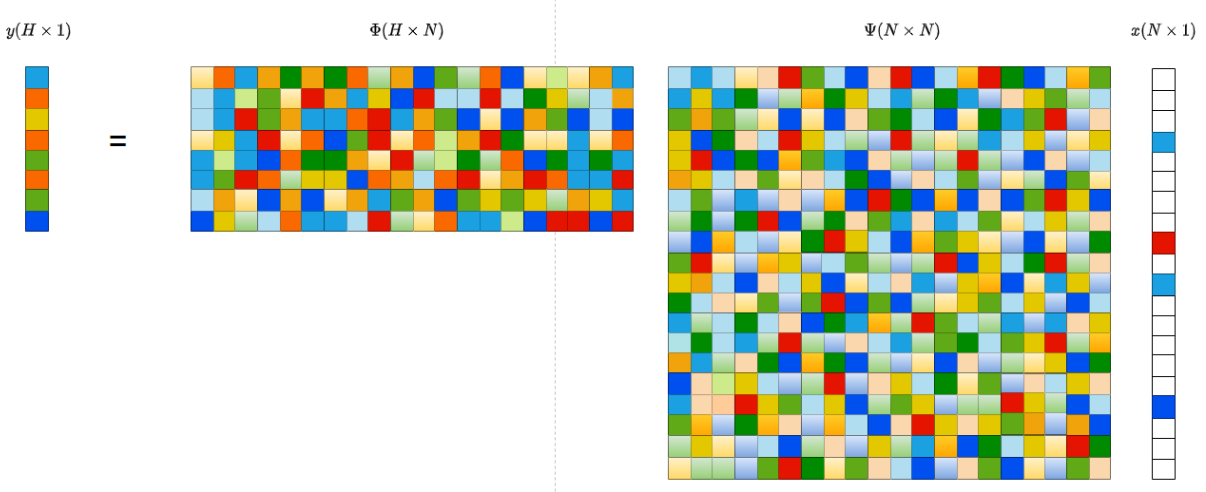
$$\|\mathbf{x}\|_0 := \lim_{p \rightarrow 0} \sum_{j=1}^N |x_j|^p = \sum_{j=1; x_j \neq 0}^N 1 = K. \quad (2.5)$$

Kombinujući jednakosti (2.1) i (2.2) dobijamo da je:

$$\mathbf{y} = \Phi \Psi \mathbf{x} = \mathbf{F} \mathbf{x}. \quad (2.6)$$

Može se vidjeti da je vektor mjerena \mathbf{x} dužine H odbiraka a da je matrica \mathbf{F} dimenzija $(H \times N)$. Gledajući jednakost (2.6), zaključuje se da imamo H lineranih jednačina sa N nepoznatih u vektoru \mathbf{x} . Samim tim ovaj sistem može imati beskonačno mnogo rješenja. Grafička predstava formulacije (2.6) se može vidjeti na slici 2.3.

U pomoć pristiže činjenica da većina koeficijenata u vektoru \mathbf{x} imaju vrijednost nula, pa je neophodno odrediti samo nenulte komponente. U realnim situacijama, pozicije ovih nenultih koeficijenata nijesu poznate, pa se za rješavanje neodređenog sistema definisanog sa relacijom

Slika 2.3: Grafička reprezentacija formule $\mathbf{y} = \Phi\Psi\mathbf{x}$

(2.6) može koristiti metodu:

$$\min \|\mathbf{x}\|_0 \text{ pod uslovom } \mathbf{y} = \mathbf{F}\mathbf{x}, \quad (2.7)$$

gdje $\|\mathbf{x}\|_0$ predstavlja ℓ_0 -normu definisanu kao broj nenultih koeficijenata u vektoru \mathbf{x} . Pošto je ℓ_0 -norma nekonveksna, a nekonveksni optimizacioni problemi su računski teško tačno rješivi, efikasniji pristup bi bio koristiti konveksnu ℓ_1 -normu definisanu kao:

$$\|\mathbf{x}\|_1 = \sum_{j=1}^N |x_j|, \quad (2.8)$$

u kojoj je minimizacija bazirana na ℓ_1 -normi definisana na sljedeći način:

$$\min \|\mathbf{x}\|_1 \text{ pod uslovom } \mathbf{y} = \mathbf{F}\mathbf{x}. \quad (2.9)$$

Navedeni optimizacioni problem se može riješiti linearnim programiranjem zbog već navedene konveksne osobine ℓ_1 -norme [6]. Linearno programiranje predstavlja metodu za postizanje najboljeg ishoda u nekom matematičkom modelu čiji su zahtjevi predstavljeni linearnim odnosima.

Relacija (2.9) je izvedena pod pretpostavkom da kod signala nije prisutan šum, što nije slučaj u većini realnih aplikacija, pa je neophodno uzeti u obzir uticaj šuma. Tada jednačina

(2.6) poprima sljedeći oblik:

$$\mathbf{y} = \Phi\Psi\mathbf{x} + \mathbf{e} = \mathbf{F}\mathbf{x} + \mathbf{e}, \quad (2.10)$$

gdje \mathbf{e} predstavlja grešku čija je energija ograničena nivoom šuma $\|\mathbf{e}\|_2 = \varepsilon$. Sada upotpunjena formulacija (2.9) izgleda:

$$\min \|\mathbf{x}\|_1 \text{ pod uslovom } \|\mathbf{y} - \mathbf{F}\mathbf{x}\|_2 \leq \varepsilon. \quad (2.11)$$

Ukoliko $\mathbf{y} - \mathbf{F}\mathbf{x}$ ostane ispod nivoa šuma, rekonstrukcija će biti uspješna, tj. rekonstruisani signal će biti konzistentan sa originalnim signalom.

2.1.1 Normirani vektorski prostori

U slučaju konačnog prostora, signale možemo predstaviti kao vektore u n -dimenzionom Euklidskom prostoru (R^n) [1]. Kada imamo posla sa vektorima u R^n prostoru, najčešće se koriste ℓ_p -norme, koje su definisane za $p \in [1, \infty]$ kao:

$$\|\mathbf{x}\|_p = \begin{cases} \left(\sum_{j=1}^n |x_j|^p \right)^{\frac{1}{p}}, & p \in [1, \infty) \\ \max_{j=1,2,\dots,n} |x_j|, & p = \infty \end{cases} \quad (2.12)$$

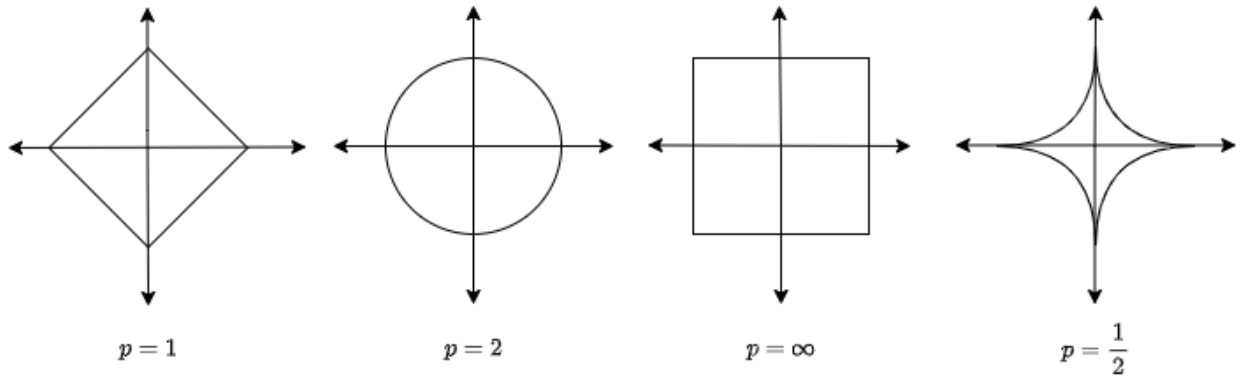
U Euklidskom prostoru uzimamo u obzir i standardni unutrašnji proizvod koji definišemo na sljedeći način:

$$\langle x, z \rangle = \sum_{j=1}^n x_j z_j. \quad (2.13)$$

Unutrašnji proizvod vodi do ℓ_2 -norme kao $\|x\|_2 = \sqrt{\langle x, x \rangle}$. Geometrijski prikaz ℓ_p -normi je dat na slici 2.4.

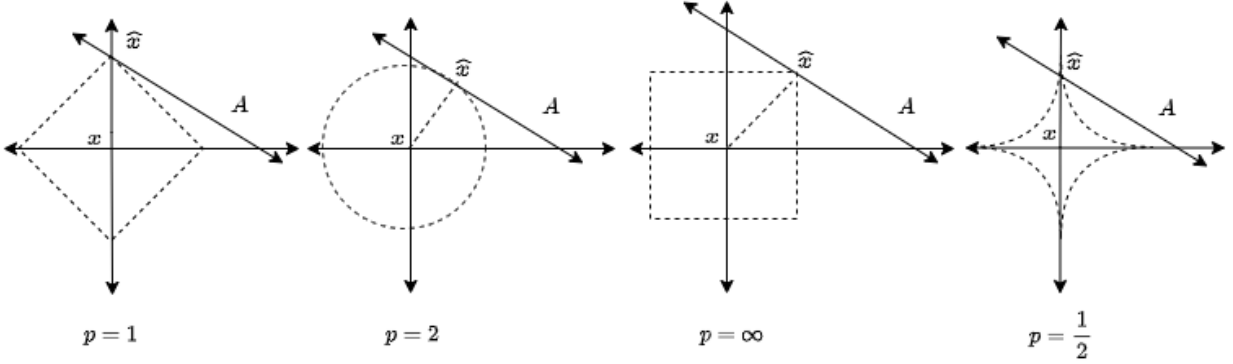
U nekim situacijama je korisno proširiti ℓ_p -normu na slučaj kad je $p < 1$. U ovom slučaju norma definisana formulacijom (2.12) ne ispunjava nejednakost trougla, pa se naziva kvazinormom.

Norme se tipično koriste kao mjera jačine signala ili kao veličina greške. Kao primjer uzmimo signal $x \in R^2$ koji želimo da aproksimiramo koristeći tačku u jednodimenzionalnom prostoru A . Ako mjerimo grešku aproksimacije koristeći ℓ_p -normu, onda se problem svodi na nalaženje $\hat{x} \in A$ koje minimizuje $\|x - \hat{x}\|_p$. Odabir broja norme p će imati značajan uticaj na



Slika 2.4: Geometrijska predstava ℓ_p -normi u \mathbb{R}^2 prostoru sa $p = 1, 2, \infty$ i sa kvazinormom $p = \frac{1}{2}$

aproksimaciju greške, što je i ilustrovano na slici 2.5. Može se primijetiti da veća vrijednost broja norme p ravnomjernije raširuje grešku između dva koeficijenta, dok manje p daje grešku koja je neravnomjernije distribuirana i teži biti rijetka [1]. Ovakav zaključak se generalizuje na više dimenzija i ima bitnu ulogu u teoriji komprimovanog odabiranja.



Slika 2.5: Aproksimacija koristeći ℓ_p -normu sa $p = 1, 2, \infty$ i sa kvazinormom $p = \frac{1}{2}$

Istorijski gledano, korišćenje ℓ_1 minimizacije na nekim većim problemima je postalo praktično sa porastom moći računara krajem sedamdesetih godina prošlog vijeka. U jednoj od prvih aplikacija, gdje je ustanovljeno da se geofizički signali mogu rekonstruisati samo na osnovu komponenti na visokim frekvencijama, ℓ_1 minimizacija se pokazala jako korisnom [7]. U toku devedesetih godina se ℓ_1 minimizacija počinje sve više koristiti kod obrade signala radi nalaženja rijetkih aproksimacija kod signala i slika.

Na osnovu prethodno rečenoga, postoji dovoljan broj razloga koji idu u prilog tvrđenju da će ℓ_1 minimizacija obezbijediti tačan metod za rekonstrukciju rijetkog signala, što je od velikog značaja za CS.

Postoji varijanta kombinovanja dvije norme u jednoj. Najtipičniji predstavnici ove varijante su $\ell_{1,2}$ i $\ell_{2,1}$ minimizacije, gdje se prvo izvršava norma definisana sa prvim navedenim indeksom, a nakon toga se izvršava norma navedena sa drugim indeksom.

Uzmimo za primjer $\ell_{2,1}$ minimizaciju. Za neku proizvoljnu matricu $\mathbf{A} \in R^{g \times h}$, $\ell_{2,1}$ -norma se definiše kao:

$$\|\mathbf{A}\|_{2,1} = \sum_{i=1}^g \sqrt{\sum_{j=1}^h \mathbf{A}_{ij}^2}. \quad (2.14)$$

Prvo se primjeni ℓ_2 -norma duž kolona matrice \mathbf{A} da bi se dobio g -dimenzioni vektor, nakon čega se primjeni ℓ_1 -norma nad dobijenim vektorom radi dobijanja realnog broja [8].

2.1.2 TV minimizacija

Total Variation (TV) metoda je često korišćena minimizaciona tehnika u obradi signala, posebno kod obrade slike. U najvećem broju slučajeva se koristi kod odstaranjanja šuma sa slike, gdje se pokazala kao jako korisna zbog svojstva očuvanja ivica zašumljene slike, što bitno dopinosa očuvanju informacija sadržanih u slici. Pored navedenog, TV se koristi kod komprimovanog očitavanja podataka, rekonstrukcije i restauracije slike [2],[9],[10].

TV metoda se matematički može definisati na više načina, pa će u nastavku biti definisana preko formulacija komprimovanog očitavanja podataka, specifično pomoću formulacije (2.6). Dakle, TV minimizacioni problem za već pomenuti vektor mjerenja \mathbf{y} i vektor transformacionog domena \mathbf{x} se formuliše kao:

$$\min_{\mathbf{y}} TV(\mathbf{y}) \text{ pod uslovom } \mathbf{y} = \mathbf{F}\mathbf{x}. \quad (2.15)$$

U realnim aplikacijama je često potrebno koristiti diskretni oblik TV minimizacije, pa je diskretni oblik TV metode definisan sljedećom relacijom:

$$TV(\mathbf{x}) = \sum_{i,j} \sqrt{(\mathbf{x}_{i+1,j} - \mathbf{x}_{i,j})^2 + (\mathbf{x}_{i,j+1} - \mathbf{x}_{i,j})^2}. \quad (2.16)$$

Primjena TV minimizacije pri odstranjanju šuma sa slike se može ilustrovati narednim primjerom. Nad slikom je izvršeno oštećenje tako što je dodat bijeli Gausov šum, nakon čega je iskorišćena TV minimizaciona metoda radi odstranjanja šuma [11].



Slika 2.6: Prije i nakon primjene TV minimizacije

Sa slike se može primijetiti da odstranjivanje šuma bazirano na TV minimizaciji zadržava detalje slike, kao i ivice.

2.2 Koherencija

Sa slike 2.3 se može vidjeti da je originalni signal prvo predstavljen u određenom transformacionom domenu (matrica Ψ), putem kojega se obezbjeđuje svojstvo rijetkosti signala, kao i vektor \mathbf{x} kod kojega je većina koeficijenata bijele boje (imaju vrijednost nula), dok su ostali u boji (imaju vrijednost različitu od nule, K -rijedak). Matricu Ψ nazivamo baznom matricom transformacionog domena.

Na istoj slici se nalazi i matrica mjerjenja Φ koja, pomnožena sa baznom transformacionom matricom i K -rijetkim vektorom, daje vektor mjerjenja \mathbf{y} koji ima znatno manje dimenzije od originalnog signala. Matrica mjerjenja se bira tako da izdvoji mjerjenja nasumičnim postupkom, pa se uzima samo mali broj slučajno odabralih koeficijenata na osnovu kojih se obavlja rekonstrukcija. Odabir matrice mjerjenja je ključan za navedeni proces jer ona mora biti konstruisana na takav način da se očuvaju za signal značajne informacije.

Relacija između broja mjerjenja u matrici Φ i broja nenultih koeficijenata u transformacionoj matrici Ψ zavisi od koherencije navedenih matrica. Ukoliko su navedene matrice maksimalno koherentne, onda će svi koeficijenti biti potrebni za rekonstrukciju, što je loše. U opštem slučaju, što je manja koherencija između matrice mjerjenja i transformacione matrice, to je potreban manji broj koeficijenata za rekonstrukciju [12],[13]. Međusobna koherencija

matrica Φ i Ψ mjeri maksimalnu absolutnu vrijednost korelacije dva elementa iz navedenih matrica, što matematički definišemo kao:

$$\mu(\Phi, \Psi) = \max_{i \neq j} \left| \frac{\langle \phi_i, \psi_j \rangle}{\|\phi_i\|^2 \|\psi_j\|^2} \right| \quad (2.17)$$

gdje su ϕ_i i ψ_j redovi u matrici Φ i kolone u matrici Ψ , respektivno.

U relaciji (2.6) je definisano da je $\mathbf{F} = \Phi\Psi$. Sada koherenciju možemo definisati i kao maksimalnu absolutnu vrijednost normalizovanog unutrašnjeg proizvoda svih kolona u matrici \mathbf{F} :

$$\mu(F) = \max_{i \neq j, 1 \leq i, j \leq H} \left| \frac{\langle F_i, F_j \rangle}{\|F_i\|^2 \|F_j\|^2} \right| \quad (2.18)$$

gdje su F_i i F_j kolone matrice \mathbf{F} . Maksimalna vrijednost međusobne koherencije je 1 onda kada se određeni par kolona poklapa.

Koherencija matrice \mathbf{F} dimenzija $H \times N$ sa kolonama koje su normalizovane putem ℓ_2 -norme zadovoljava sljedeću nejednakost:

$$\mu \geq \sqrt{\frac{N - H}{H(N - 1)}} \quad (2.19)$$

Nejednakost definisana u (2.21) predstavlja donju granicu, poznatu pod nazivom Velčova (*Welch*) granica. Valja primijetiti da ukoliko imamo veliko N , donju granicu aproksimiramo sa:

$$\mu \geq \sqrt{\frac{1}{H}} \quad (2.20)$$

Na osnovu prethodne analize, možemo definisati donju i gornju granicu za koherenciju matrice \mathbf{F} :

$$\mu \in \left[\sqrt{\frac{N - H}{H(N - 1)}}, 1 \right] \quad (2.21)$$

Kao što je već rečeno, što je manja koherencija između matrice mjerena i transformacione matrice, to je potreban manji broj nasumičnih mjerena za rekonstrukciju originalnog signala, što je u skladu sa CS paradigmom.

2.3 Restricted isometry property (RIP)

Koherencija je korisna i jednostavna mjera kvaliteta matrice mjerena Φ , ali Velčova granica definisana nejednakosću (2.21) limitira njenu upotrebu na manje nivoje rijetkosti (*sparsity levels*). Bolja mjera kvaliteta matrice mjerena je potrebna da bi se prevazišla ova limitacija. Ta bolja mjera je omogućena pomoću RIP-a, u matematici takođe poznatog pod imenom *uniformni princip neodređenosti*.

Za podesno izabranu izometrijsku konstantu, RIP omogućava da bilo koji subset kolona u matrici \mathbf{F} sa kardinalnošću manjom od nivoa rijetkosti K , bude skoro ortogonalan [2]. Ovime raste vjerovatnoća da će za uspješnu rekonstrukciju signala biti potreban mali broj mjerena. Po definiciji, matrica \mathbf{F} zadovoljava RIP reda K ukoliko postoji izometrijska konstanta $\delta_K \in (0, 1)$ tako da:

$$(1 - \delta_K) \|\mathbf{x}\|_2^2 \leq \|\mathbf{F}\mathbf{x}\|_2^2 \leq (1 + \delta_K) \|\mathbf{x}\|_2^2 \quad (2.22)$$

važi za sve K -rijetke vektore, gdje je $\mathbf{F} = \Phi\Psi$.

Za izometrijsku konstantu važi da je:

$$\delta_1 \leq \delta_2 \leq \dots \leq \delta_K \leq \dots \leq \delta_N \quad (2.23)$$

Formulacija (2.24) se može zapisati i kao:

$$\left| \frac{\|\mathbf{F}\mathbf{x}\|_2^2 - \|\mathbf{x}\|_2^2}{\|\mathbf{x}\|_2^2} \right| \leq \delta_K \quad (2.24)$$

Ako matrica \mathbf{F} zadovoljava RIP reda K sa izometrijskom konstantom δ_K , tada za bilo koje $K' < K$ mi imamo matricu \mathbf{F}' koja zadovoljava RIP reda K' sa izometrijskom konstantom $\delta_{K'} < \delta_K$. Dodefinišimo prethodno tvrđenje uvođenjem pozitivnog cijelog broja γ . Tada matrica \mathbf{F}' zadovoljava RIP reda $K' = \gamma[\frac{K}{2}]$ sa izometrijskom konstantom $\delta_{K'} < \gamma\delta_K$.

Ukoliko matrica \mathbf{F} zadovoljava RIP onda ona približno zadržava Euklidsku dužinu rijetkih vektora. Dakle, za matricu \mathbf{F} koja zadovoljava RIP reda $2K$ i kod koje je izometrijska konstanta manja od 1, možemo reći da su svi subsetovi od $2K$ kolona linearne nezavisne ili:

$$\text{spark}(\mathbf{F}) > 2K \quad (2.25)$$

gdje spark predstavlja najmanji broj zavisnih kolona i za njega važi sljedeća nejednakost:

$$\text{spark}(\mathbf{F}) \leq \text{rank}(\mathbf{F}) + 1 \quad (2.26)$$

Naša matrica \mathbf{F} je dimenzija $H \times N$ pa možemo napisati da je:

$$2 \leq \text{spark}(\mathbf{F}) \leq H + 1 \quad (2.27)$$

Ako nema zavisnih kolona u matrici \mathbf{F} , tada je $\text{spark}(\mathbf{F}) = H + 1$, a ako jedna od kolona ima sve nulte koeficijente, tada je $\text{spark}(\mathbf{F}) = 1$. Tada iz (2.27) dobijamo:

$$K < \frac{1}{2}\text{spark}(\mathbf{F}) \leq \frac{1}{2}(H + 1) \quad (2.28)$$

Najčešće korištene matrice mjerena koje zadovoljavaju RIP su slučajna Bernulijeva matrica, slučajna Gausova matrica, parcijalna slučajna Furijeova matrica...

Postavlja se pitanje koliko je neophodno mjerena da bi se postiglo RIP? Ako bismo ignorisali uticaj izometrijske konstante δ_{2K} i fokusirali se samo na dimenzije problema, onda se može postaviti jednostavna donja granica.

Neka matrica mjernja \mathbf{F} , dimenzija $H \times N$, zadovoljava RIP reda $2K$ sa izometrijskom konstantom $\delta_{2K} \in (0, \frac{1}{2})$. Tada je:

$$H \geq CK \log\left(\frac{N}{K}\right) \quad (2.29)$$

gdje je C pozitivna konstanta i iznosi $C = \frac{1}{2}\log(\sqrt{24} + 1) \approx 0.28$.

2.4 Matematičke transformacije

Razne matematičke transformacije se koriste u obradi multimedijalnih signala zbog raznovrsne prirode ovih signala. Multimedijalni signali mogu biti vremenski zavisni (govor, video) i nezavisni (slika, tekst). Samim tim su neke transformacije pogodnije u odnosu na druge, sve u zavisnosti od same prirode signala.

2.4.1 Diskretna Furijeova transformacija

Furijeova transformacija je jedna od osnovnih matematičkih transformacija koja se često koristi u obradi multimedijalnih signala. Ona signal iz vremenskog ili prostornog domena preslikava u frekvencijski domen. Reprezentacija u vremenskom domenu može biti teška za interpretaciju kod signala koji su korumpirani šumom, pa je frekvencijski domen pogodniji [14]-[17].

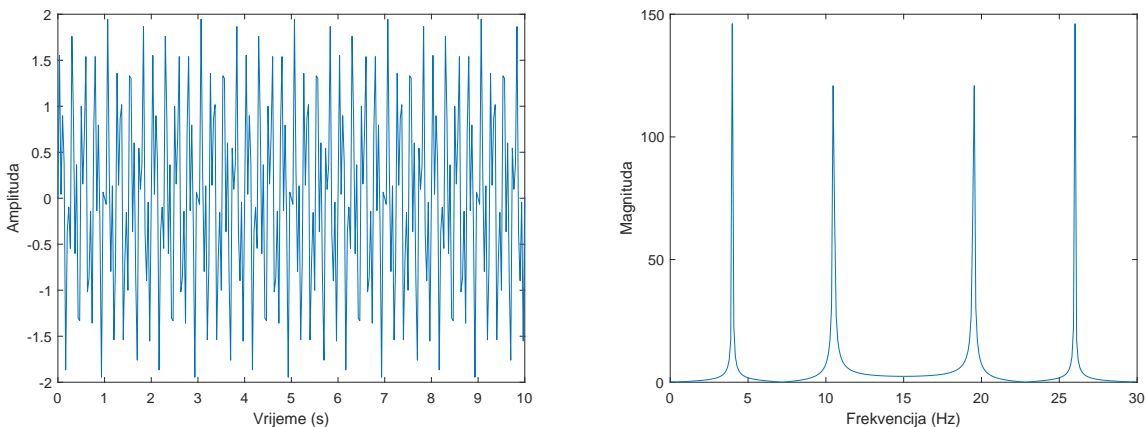
Neka imamo signal $f(t)$. Furijeova transformacija se matematički definiše kao:

$$F(\omega) = \int_{-\infty}^{+\infty} f(t)e^{-j\omega t} dt. \quad (2.30)$$

Inverzna Furijeova transformacija je definisana:

$$f(t) = \frac{1}{2\pi} \int_{-\infty}^{+\infty} F(\omega)e^{j\omega t} d\omega. \quad (2.31)$$

Kod obrade signala, Furijeova transformacija može otkriti bitne karakteristike signala, kao što su njegove frekvencijske komponente. Jedan takav primjer je dat na slici 2.7, gdje je uzet signal iz vremenskog domena i nad njime je izvršena Furijeova transformacija, čime dobijamo frekvencijske komponente u Furijeovom transformacionom domenu. Dobijena su četiri pika, s time što su dva pika sa lijeve strane replikacija (lik u ogledalu) od dva pika sa desne strane i predstavljaju negativnu frekvenciju signala. Matlab kod ovog primjera je dat u prilogu rada.



Slika 2.7: Lijevo je signal u vremenskom domenu, dok je na desno signal u Furijeovom transformacionom domenu

Neke od osnovnih osobina Furijeove transformacije su osobina linearnosti (Furijeova transformacija linearne kombinacije signala je jednaka linearnoj kombinaciji njihovih Furijeovih transformacija), vremenskog pomjeraja (pomijeranje signala u vremenskom domenu rezultira množenjem Furijeove transformacije signala sa faznim faktorom), frekvencijskog pomjeraja (modulisanje signala sa kompleksnom eksponencijalnom funkcijom pomijera Furijeovu transformaciju signala duž frekvencijske ose), konvolucije (Furijeova transformacija konvolucije dva signala jednaka je proizvodu Furijeovih transformacija individualnih signala)...

Pošto se diskretni signali najčešće koriste u praktičnim primjenama, neophodno je uvesti diskretni oblik Furijeove transformacije. Diskretna Furijeova transformacija (DFT) je primarno oruđe za digitalnu obradu signala i jedna od najčešće korišćenih transformacija. Uzmimo signal konačnog trajanja, sa N odbiraka [2]. Njegovu DFT nalazimo kao:

$$DFT(k) = \sum_{n=0}^{N-1} f(n)e^{-j\frac{2\pi}{N}nk} = \sum_{n=0}^{N-1} f(n)[\cos(\frac{2\pi}{N}nk) - j\sin(\frac{2\pi}{N}nk)], \quad (2.32)$$

gdje je $k \in [0, N - 1]$ trenutna frekvencija. Inverzna DFT je:

$$f(n) = \frac{1}{N} \sum_{k=0}^{N-1} DFT(k)e^{j\frac{2\pi}{N}nk}. \quad (2.33)$$

Treba primijetiti da je $DFT(k)$ kompleksan broj koji enkodira amplitudu i fazu sinusoidalne komponente $e^{j\frac{2\pi}{N}nk}$.

Komputaciono i vremenski efikasniji algoritmi su razvijeni da bi se vršila direktna i inverzna DFT i oni se nazivaju brza Furijeova transformacija (*Fast Fourier Transform*).

2.4.1.1 Primjena DFT-a

DFT ima svoju primjenu u velikom broju različitih polja ljudske djelatnosti, sve u zavisnosti od prirode problema. Neke od primjena su date u nastavku [14],[18],[19].

Kompresija podataka. Samom činjenicom da se neki signal iz vremenskog domena sa velikim brojem odbiraka može predstaviti u frekvencijskom domenu sa mnogo manjim brojem odbiraka čini DFT idealnom za kompresiju podataka. Tako nekoliko kompresionih postupaka sa gubitkom (*Lossy compression*) nad zvukom i slikom u sebi koriste DFT. Tu je procedura sljedeća: signal se segmentiše u kratke segmente, nad svakim segmentom se izvrši DTF, onda se Furijeovi koeficijenti sa viših frekvencija odbace i

nakon toga se izvrši inverzna DFT nad koeficijentima koji su ostali. Ovi kompresioni algoritmi u posljednje vrijeme više koriste diskretnu kosinusnu transformaciju ili wavelet transformaciju jer daju relativno bolje performanse kompresije.

Spektralna analiza signala i frekvencijski odziv sistema. DFT se najčešće koristi da bismo dobili informacije o amplitudi, frekvenciji i fazi signala, a sama spektralna analiza je karakterisana sa "frekvencijskim sadržajem" signala. Analiza nekog sistema se može obaviti u vremenskom domenu putem konvolucije, a slična analiza se može obaviti i u frekvencijskom domenu. Svaki ulazni signal u neki sistem se može posredstvom Furijeove transformacije predstaviti kao grupa talasa, svaki sa svojom fazom i amplitudom. Isto tako se mogu predstaviti i izlazni signali tog sistema. Ovo znači da se bilo koji linearни sistem može opisati sa promjenom amplitude i faze talasa koji prolaze kroz njega, pa se ova informacija naziva frekvencijskim odzivom sistema. Veza između frekvencijskog i impulsnog odziva sistema se ostvaruje putem Furijeove transformacije na način što je frekvencijski odziv nekog sistema jednak Furijeovoj transformaciji impulsnog odziva tog istog sistema.

Optika i medicina. DFT se često koristi pri modelovanju načina an koji elektroni ili svjetlost putuju kroz neki optički sistem. Takođe, koristi se pri rekonstrukciji trodimenzionalnih objekata što je našlo svoju široku primjenu u medicini (posebno tomografiji).

Matematika. Pri rješavanju parcijalnih diferencijalnih jednačina je često koristišćena DFT. Razlog njenog korišćenja leži u činjenici da se DFT može koristiti i kao aproksimacija za Furijeove redove, što neki problem prevodi u kompleksni domen, gdje se mnogi matematički proračuni pojednostavljaju. Pored parcijalnih diferencijalnih jednačina, DFT se može primijeniti i kod množenja polinoma i množenja velikih brojeva.

2.4.2 Diskretna kosinusna transformacija

Diskretna kosinusna transformacija (DCT) se koristi u mnogim situacijama koje uključuju realne signale. Slična je diskretnoj Furijeovoj transformaciji (DFT), jer obje transformišu signal ili sliku u frekvencijski domen [2],[20],[21]. Diskretna kosinusna transformacija nekog

jednodimenzionalnog, realnog signala $f(j)$ dužine N se formuliše kao:

$$DCT(k) = h(k) \sum_{j=0}^{N-1} f(j) \cos \frac{k\pi(2j+1)}{2N}, \quad k = 0, \dots, N-1 \quad (2.34)$$

dok se inverzna diskretna kosinusna transformacija definiše na sličan način:

$$f(j) = \sum_{k=0}^{N-1} h(k) DCT(k) \cos \frac{k\pi(2j+1)}{2N}, \quad j = 0, \dots, N-1 \quad (2.35)$$

Za obje relacije (2.34) i (2.35) važi isti normalizacioni koeficijent $h(k)$:

$$h(k) = \begin{cases} \sqrt{\frac{1}{N}}, & k = 0 \\ \sqrt{\frac{2}{N}}, & k = 1, \dots, N-1 \end{cases} \quad (2.36)$$

Za dvodimenzionalni signal $f(x,y)$ diskretna kosinusna transformacija je:

$$DCT(k, m) = h(k)h(m) \sum_{x=0}^{N-1} \sum_{y=0}^{N-1} f(x, y) \cos \frac{k\pi(2x+1)}{2N} \cos \frac{m\pi(2y+1)}{2N} \quad (2.37)$$

dok je inverzna DCT:

$$f(x, y) = \sum_{k=0}^{N-1} \sum_{m=0}^{N-1} h(k)h(m) DCT(k, m) \cos \frac{k\pi(2x+1)}{2N} \cos \frac{m\pi(2y+1)}{2N} \quad (2.38)$$

DCT je realna, ortogonalna i rekursivna transformacija sa razvijenim brzim algoritmima za njeno računanje.

DCT sliku predstavlja kao sumu sinusoida različitih magnituda i frekvencija. Za neku tipičnu sliku, većina informacija bitnih za njenu rekonstrukciju se nalazi u samo nekolika DCT koeficijenta, što objašnjava široku upotrebu DCT-a kod kompresionih postupaka (primjer na slici 2.8).

2.4.2.1 Primjena DCT-a

Jako je široka primjena DCT-a u raznim oblastima inženjerstva i medicine, najviše zbog svojstva DCT-a da bitne informacije sačuva u nekoliko koeficijenata [20],[22].

Kompresija podataka. DCT se primjenjuje u mnogim kompresionim postupcima, kao što su

MPEG, JPEG... Bazična ideja iza ovih kompresionih postupaka je dekorelacija podataka među pikselima, jer jedan piksel može pružiti informacije o svom susjedu (npr. boju susjednih piksela). Postupak primjene diskretne kosinusne transformacije kod kompresionih algoritama se može ilustrovati na primjeru JPEG kompresije. Ulagana slika se dijeli na 8×8 (ili 16×16) blokove piksela, nakon čega se primjenjuje dvodimenzionalna DCT nad svakim blokom. Dobijeni DCT koeficijenti se onda kvantizuju, kodiraju i transmitemu. JPEG risiver dekodira prispjele koeficijente, obavlja dvodimenzionalnu inverznu diskretnu kosinusnu transformaciju nad blokovima, nakon čega dobijene blokove spaja u cjelinu. Većina DCT koeficijenata ima vrijednost blisku nuli, pa se mogu zanemariti bez ozbiljne štete po kvalitet rekonstruisanog signala (što je i sama bit kompresije) [6].

Prethodno opisani postupak prikažimo primjerom. Neka imamo sliku dimenzija 256×256 nad kojom se vrši DCT po 8×8 blokovima. U svakom bloku se odbacuju (postavljaju na nulu) svi osim 13 koeficijenata, što znači da imamo po bloku ugrubo 80% nultih koeficijenata. Nakon toga se nad blokovima vrši inverzna DCT radi rekonstrukcije slike. Ulagana i izlagana slika je data na slici 2.8. Matlab kod navedenog primjera je dat u prilogu rada.



Slika 2.8: Lijevo je originalna slika, dok je na desno data rekonstruisana slika

Posmatrajući slike, možemo vidjeti da je rekonstruisana slika jasno prepoznatljiva, iako došlo do pojave blage degradacije kvaliteta zbog 80% odbačenih DCT koeficijenata.

Biometrika. Zbog već pomenutog svojstva kompresije, DCT se primjenjuje kod umetanja vodenog žiga u biometrička dokumenta, identifikacije i registracije otiska dlana i prstiju,

prepoznavanja lica...

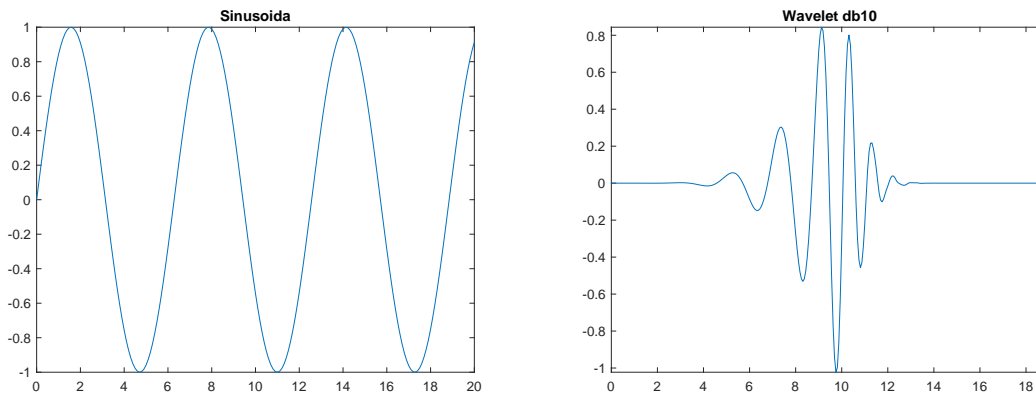
Obrada multimedijalnih signala. Upotrebu ima kod audio kompresije, audio kodiranja, procesuiranja govora u mobilnim komunikacijama, prepoznavanja fonema u govoru, detekcije krivotvorenih slika, rekonstrukcije slika, formatiranja boja na slikama, procjene kvaliteta slika, unapređenja rada nadzornih kamera, video editovanja i kodiranja, analize pokreta...

Medicina. Primjenjuje se kod kompresione klasifikacije tumora, fuzije medicinskih slika, skraćenju rada medicinskih senzora...

Bežične komunikacije. Zbog svojih korisnih svojstava, svoje mjesto ima u bežičnim akustičnim senzorskim mrežama, radio mrežama, filtriranju dolazećih signala na senzorima koji su posrednici u *point-to-point* komunikacijama...

2.4.3 Wavelet transformacija

U doslovnom prevodu sa engleskog jezika, naziv wavelet bi značio "mali talas". Wavelet-i su talasi ograničenog trajanja čija je srednja vrijednost jednaka nuli [23],[24]. Za razliku od sinusoida, koje se teorijski prostiru do u beskonačnost, koje su glatke i pogodne za opisivanje stacionarnih signala, wavelet-i imaju početak i kraj, često su nesimetrični i podesni su za opisivanje određenih anomalija ili pulseva. Poređenje ovih karakteristika je dano na slici 2.9.



Slika 2.9: Poređenje sinusoida i wavelet-a

Posmatrajmo realnu funkciju $\psi(t)$ koja je definisana na realnoj osi $(-\infty, +\infty)$. Ona mora da zadovolji sljedeća dva uslova:

1. Cijela površina ispod krive $\psi(t)$ je jednaka nuli:

$$\int_{-\infty}^{+\infty} \psi(t) dt = 0. \quad (2.39)$$

2. Funkcija $\psi(t)$ ima konačnu energiju:

$$\int_{-\infty}^{+\infty} |\psi(t)|^2 dt < \infty. \quad (2.40)$$

Funkcija $\psi(t)$, koja zadovoljava ova dva uslova se često naziva majka wavelet (*mother wavelet*). Kontinualni wavelet je formiran skaliranjem i translacijom $\psi(t)$ u vremenskom do-menu, pa se matematički definiše kao:

$$\psi_{a,b}(t) = \frac{1}{\sqrt{|a|}} \psi\left(\frac{t-b}{a}\right), \quad (2.41)$$

gdje je a realan broj koji je skalirajući parametar dok je b takođe realan broj koji je translacioni parametar. Imenilac, $\sqrt{|a|}$, je normalizacioni faktor u izrazu, koji omogućava nezavisnost energije signala od parametra a [25].

Ako je $0 < a < 1$, funkcija se skraćuje, dok za vrijednosti $a > 1$ funkcija se prolongira u vremenu. Transliranje waveleta se odvija duž x -ose, u zavisnosti od vrijednosti parametra b .

Wavelet transformacija nekog signala $f(t)$ se definiše kao suma proizvoda tog signala sa skaliranom i transliranom wavelet funkcijom $\psi_{a,b}(t)$, što se matematički zapisuje kao:

$$W(a, b) = \int_{-\infty}^{+\infty} f(t) \psi_{a,b}(t) dt, \quad (2.42)$$

gdje je $W(a, b)$ kontinualna wavelet transformacija (CWT) sa koeficijentima koji su funkcija skaliranja i pozicije.

Dobijanje originalnog signala na osnovu wavelet koeficijenata se postiže inverznom wavelet transformacijom:

$$f(t) = C^{-1} \int_{-\infty}^{+\infty} \int_{-\infty}^{+\infty} \psi_{a,b}(t) W(a, b) da db. \quad (2.43)$$

C je konačan i pozitivan parametar, zvan konstanta prihvatljivosti (*admissible constant*), definisan kao:

$$C = \int_{-\infty}^{+\infty} \frac{|\Psi(\omega)|^2}{\omega} d\omega, \quad (2.44)$$

gdje je $\Psi(\omega)$ Furijeova transformacija od $\psi(t)$. Ukoliko je vrijednost parametra $0 < C < \infty$, onda je dati wavelet prihvatljiv, što znači da postoji inverzna wavelet transformacija.

Wavelet analiza predstavlja dekompoziciju funkcije na transliranu i skaliranu verziju baznog (majka) wavelet-a. CWT je vremensko-frekventna transformacija koja je idealna za analizu nestacionarnih signala (kod kojih se frekvencijska reprezentacija mijenja u vremenu) i slična je kratkotrajnoj Furijeovoj transformaciji (Short-Time Fourier Transform), s time što dozvoljava promjenljivu vremensko-frekventnu rezoluciju. Za niže frekvencije koriste se duži wavelet-i radi unapređenja frekvencijske lokalizacije, ali na štetu vremenske lokalizacije, dok se za više frekvencije koriste kraći wavelet-i radi unapređenja vremenske lokalizacije, ali na štetu frekvencijske lokalizacije [26].

U mnogim praktičnim aplikacijama se umjesto CWT koristi diskretna wavelet transformacija (DWT). Kod DWT se translacija i skaliranje obavljaju u diskretnim koracima, pa su parametri a i b diskretizovani. Diskretizacija parametra a se obavlja pomoću stepena dilatacionog parametra a_0 kao:

$$a = a_0^{-j}, \quad (2.45)$$

gdje je a_0 fiksno i veće od jedan, a $j \in \mathbf{Z}$. Diskretizacija parametra b se vrši putem:

$$b = k b_0 a_0^{-j}, \quad (2.46)$$

gdje je $k \in \mathbf{Z}$, a b_0 veće od nule. Putem ovako diskretizovanih parametara a i b možemo dobiti diskretizovanu familiju wavelet-a čija se matematička formulacija definiše kao:

$$\psi_{j,k}(t) = a_0^{\frac{j}{2}} \psi(a_0^j t - kb_0). \quad (2.47)$$

DWT se dobija množenjem originalnog signala $f(t)$ sa ovako definisanim diskretnim wavelet-om $\psi_{j,k}(t)$:

$$W_{j,k}^d = \int_{-\infty}^{+\infty} f(t) \psi_{j,k}(t) dt = a_0^{\frac{j}{2}} \int_{-\infty}^{+\infty} f(t) \psi(a_0^j t - kb_0) dt. \quad (2.48)$$

Ako stavimo da je $a_0 = 2$ i $b_0 = 1$, onda postižemo dijadijsko odabiranje (*dyadic sampling*), pa se i sama dekompozicija navedenog signala naziva dijadijska dekompozicija, te jednačina (2.41) poprima sljedeći oblik:

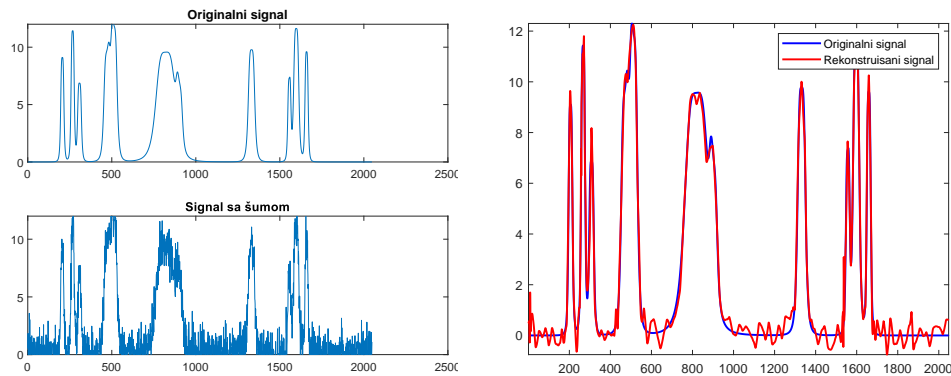
$$W_{j,k}^d = 2^{\frac{j}{2}} \int_{-\infty}^{+\infty} f(t) \psi(2^j t - k) dt. \quad (2.49)$$

2.4.3.1 Primjena wavelet-a

Wavelet-i se zadnjih nekoliko decenija nezavisno razvijaju u oblastima matematike, fizike, obrade signala, seizmologije, geologije... Tako svoju primjenu imaju kod rješavanja diferencijalnih jednačina, modelovanju turbulencija, uklanjanju šuma kod detektovanih signala u molekularnoj spektroskopiji, predviđanju zemljotresa, istraživanju udaljenih galaksija. Pošto je wavelet teorija sa primjenama relativno mlada oblast, nekoliko uspješnih primjena je dano u nastavku [27].

Obrada signala i slika. Procesuiranje signala podrazumijeva analizu i interpretaciju kompleksnih vremenskih serija. Signali trebaju da budu precizno analizirani, efikasno kodirani, brzo prenešeni i tačno i pažljivo rekonstruisani. Bilo da su u pitanju jednodimenzionalni (najčešće u funkciji od vremena) ili dvodimenzionalni (slike) signali i njihov prenos, kompresija tih podataka je posljedica ograničenih kapaciteta transmisijskog kanala, kao i memorijskih kapaciteta. Samim tim, oni na drugoj strani moraju biti dekodirani, sintetizovani i rekonstruisani. Neke nepotrebne informacije ili degradacija signala posredstvom šuma se javljaju, pa se i oni moraju odstraniti radi kvalitetne rekonstrukcije. Wavelet-i zauzimaju značajno mjesto u obradi signala.

- *Odstranjivanje šuma.* Problem se sastoji u nalaženju originalnog signala na osnovu korumpiranog signala (nekompletni ili pošumljeni podaci). Čišćenje signala se sastoji u odstranjivanju detalja sa koeficijentima koji su ispod nekog praga, mijenjajući te koeficijente sa nultom vrijednošću, te primjenom inverzne wavelet transformacije dobijamo očišćen signal. Demonstracija jedne ovakve procedure je data na slici 2.10.
- *Seizmologija.* Jedna od glavnih odlika seizmičkih signala jeste njihov nestacionaran karakter. Lokacija i predikcija određene seizmičke aktivnosti se može obaviti



Slika 2.10: Vidljivo je da je *wavelet denoiser* odstranio veliku količinu šuma, dok je istovremeno sačuvao oštре odlike signala (što je unapređenje u odnosu na odstranjivanje šuma bazirano na Furijeu (*Fourier-based denoising*)). Za potrebe do-davanja i odstranjivanja šuma sa signala, korišćene su ugrađene Matlab funkcije *wnoise* i *wdenoise*, respektivno. Kod je dat u prilogu rada

putem wavelet koeficijenata seizmičkih signala. Ovi signali upozoravaju na moguće vibracije zemlje, zemljotrese i eksplozije. Ove vibracije su talasi kojima se longitudinalna i transverzalna komponenta mijenjaju u zavisnosti od faze nadolazećeg zemljotresa. Seizmograf bilježi obje komponente i procesира ih putem DWT-a, omogućujući pronalaženje lokacije seizmičke aktivnosti.

- *Medicina.* Svaka kontrakcija srčanog mišića se manifestuje talasom koji bilježi elektrokardiogram (EKG). Analiza EKG signala je produkovala veliki broj dijagnostičkih metoda za detekciju neregularnosti kod rada srca, među kojim je i QRS detekcija koja je bazirana na wavelet-ima. Tehnički aspekt primjene wavelet-a kod procesuiranja EKG signala je jako značajan. Kompresija EKG signala koristeći algoritam koji je baziran na wavelet-ima zadržava bitne osobine signala koje neka druga konvencionalna metoda ne bi zadržala. Tehnike bazirane na wavelet-ima su se pokazale kao korisne kod rada sa akustičnim podacima. Koristeći ehokardiograf možemo posmatrati strukturu srca na osnovu reflektovanih signala, a koristeći wavelet procesiranje mogu se izračunati frekvencija i ubrzanje rada srca.
- *Automatika i industrija.* Moderna akustična analiza i oprema za obardu signala se koriste radi kontrole kvaliteta proizvoda u automatizovanim fabrikama. Tako se wavelet transformacija koristi u analizi eksplozija unutar motora automobila. Ove eksplozije nastaju zbog grešaka u kontrolnom sagorijevanju kada se motor pokreće

i one mogu produkovati šok talase koji mogu uništiti motor. Wavelet transformacija signala dobijenog pri sagorijevanju može dati jako korisne informacije te se time i unapređuje sistem sagorijevanja.

- *Astronomija.* Proučavanje udaljenih galaksija se vrši teleskopima koji produkuju slike Kosmosa sa jako velikom količinom informacija. Wavelet analiza se koristi za procesuiranje ovih slika. Tako se čuvaju ivice slike i trodimenzionalna reprezentacija posmatrane galaksije se može na osnovu njih dobiti.
- *Katalogizacija otisaka prstiju.* Unutar FBI arhiva se nalazi nekoliko stotina miliona karata sa otiscima prstiju, i svaki od ovih otisaka se mora digitalizovati na rezoluciju od 500 piksela po inču, tako da neki otisak ima u prosjeku oko 700 000 piksela, što je memorijski konzumantno, jer se velika količina podataka mora arhivirati, a istovremeno mora biti obezbijeđena brza pretraga. To znači da se mora izvršiti kompresija podataka, a FBI je usvojio standard digitalne kompresije koji je baziran na wavelet-ima.

Numeričko modeliranje. Zadnjih decenija, wavelet-i su postali popularna metoda za numeričke aproksimacije i kalkulacije (sa određenim restrikcijama). Glavne prednosti wavelet-a u odnosu na neke druge metode su jednostavnost, stabilnost, ekonomičnost i mogućnost primjene različitih rezolucija za različite regije domena.

- *Diferencijalne jednačine.* Većina procesa u nauci i tehnologiji se mogu opisati diferencijalnim jednačinama, koje se mogu tretirati na razne načine koristeći wavelet-e. Wavelet-i se koriste kao bazne funkcije za razne metode kao što su varijacione metode, metoda najmanjih kvadrata... Svoju primjenu su našli i kod rješavanja parcijalnih jednačina, kao i kod modelovanja kontinualnih vrijednosti kod procesa koje karakteriše velika promjena u gradijent, kao kod šok talasa ili turbulencija.
- *Problemi turbulencije.* U dinamici fluida, turbulencija predstavlja jedan od težih problema. Turbulentni tok se modeluje Navijer-Stoksovom jednačinom (*Navier-Stokes*) i da bi se izbjegli problemi njenog rješavanja, koristi se dekompozicija bazirana na wavelet-ima.
- *Operatori.* Široka klasa operatora ima rijetku reprezentaciju u wavelet domenu, pa se time omogućuje njihova upotreba kod određenih brzih algoritama za rješa-

vanje integralnih jednačina. Neki od tih operatora su Calderon-Zigmud i pseudodiferencijalni operatori. Ovime se omogućuje kompresija operatora jer se brišu elementi sa malim vrijednostima.

2.4.3.2 Wavelet familije

Samim tim što imaju tako široku primjenu u raznim oblastima ljudske djelatnosti, wavelet-i su predmet brojnih istraživanja i naučnih radova iz oblasti matematike i obrade signala, te postoje razne vrste wavelet-a koji su razvijani u razne svrhe. Fokus ovoga rada će biti sljedeći wavelet-i : Daubechies, Coiflets, Symlets.

Daubechies Dizajnirani od strane Ingrid Daubechies, predstavljaju familiju ortogonalnih wavelet-a koji su učinjeli diskretnu wavelet analizu praktičnom. Glavna karakteristika Daubechies wavelet-a je maksimalan broj nestajućih momenata (*vanishing moments*) za datu podršku (*support*, podskup neke realne funkcije koji sadrži elemente tog domena koji se razlikuju od nule) [28]. Nestajući momenti ograničavaju mogućnost wavelet-a da predstavi polinomijalno ponašanje signala i nazivaju se stepenom wavelet-a.

Sve diskusije o wavelet-ima počinju sa Harr-ovim wavelet-om, koji je prva i najjednostavnija verzija wavelet-a. On je diskontinualan i podsjeća na step funkciju. Analitički, Harr wavelet se zapisuje kao:

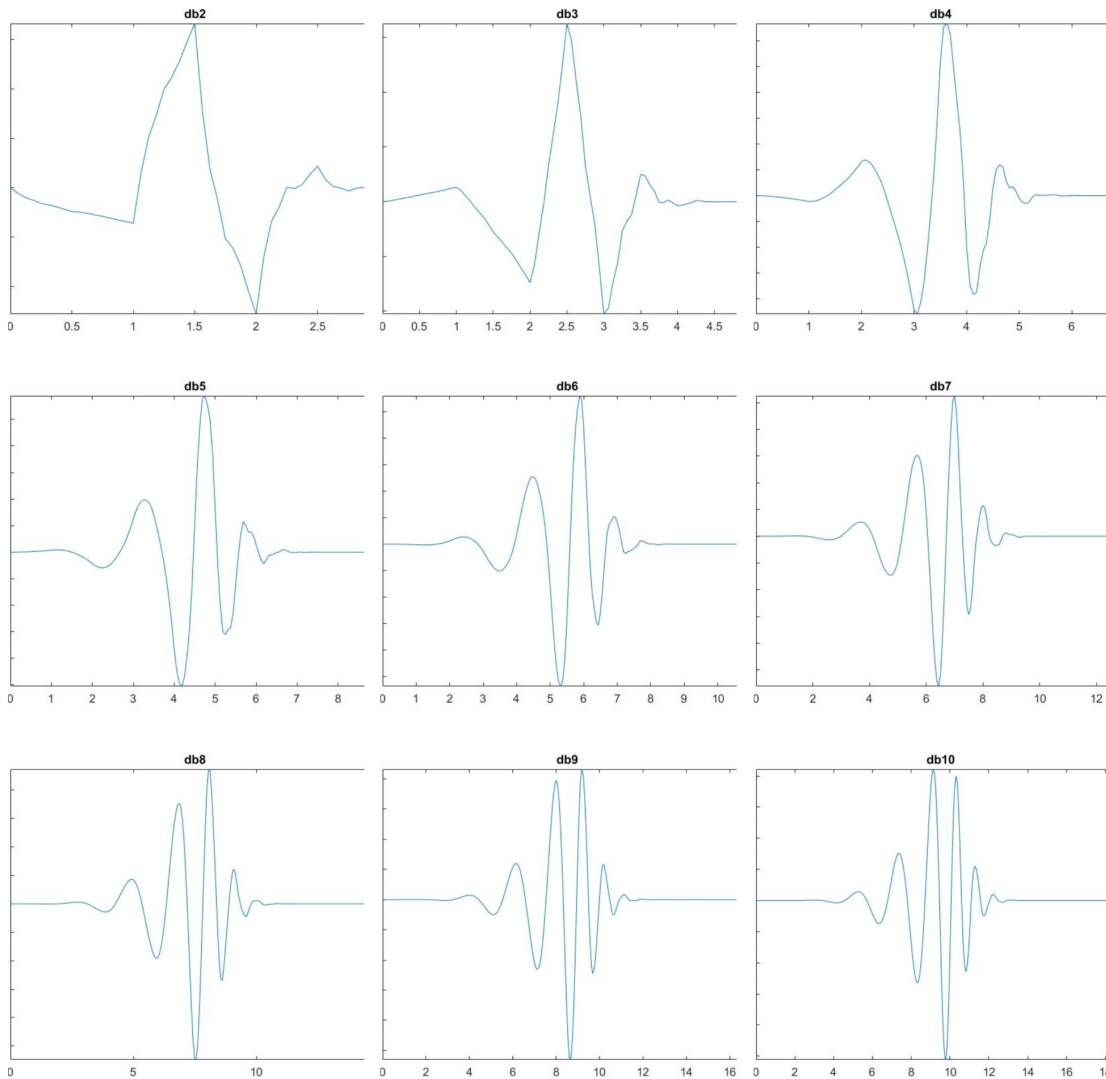
$$\psi(t) = \begin{cases} 1, & x \in [0, 0.5], \\ -1, & x \in [0.5, 1], \\ 0, & x \notin [0, 1]. \end{cases} \quad (2.50)$$

Veće stepene Daubechies wavelet-a nije tako lako analitički opisati kao u slučaju Harr-a.

Daubechies wavelet-i se obično obilježavaju sa 'dbN', gdje je N broj nestajućih momenata. Harr-ov wavelet je 'db1', dok je narednih devet Daubechies wavelet-a prikazano na slici 2.11.

Stepen wavelet-a je određen brojem nestajućih momenata ili brojem nultih momenata u wavelet funkciji što je slabo povezano sa brojem oscilacija same funkcije. Što je veći broj nestajućih momenata, to je bolja frekvencijska lokalizacija dekompozicije.

Daubechies wavelet-i imaju jako dobre performanse u mnogim aplikacijama koje zahtijevaju veliku preciznost. Jedna su od najpopularnijih opcija pri odabiru familije wavelet-a, s

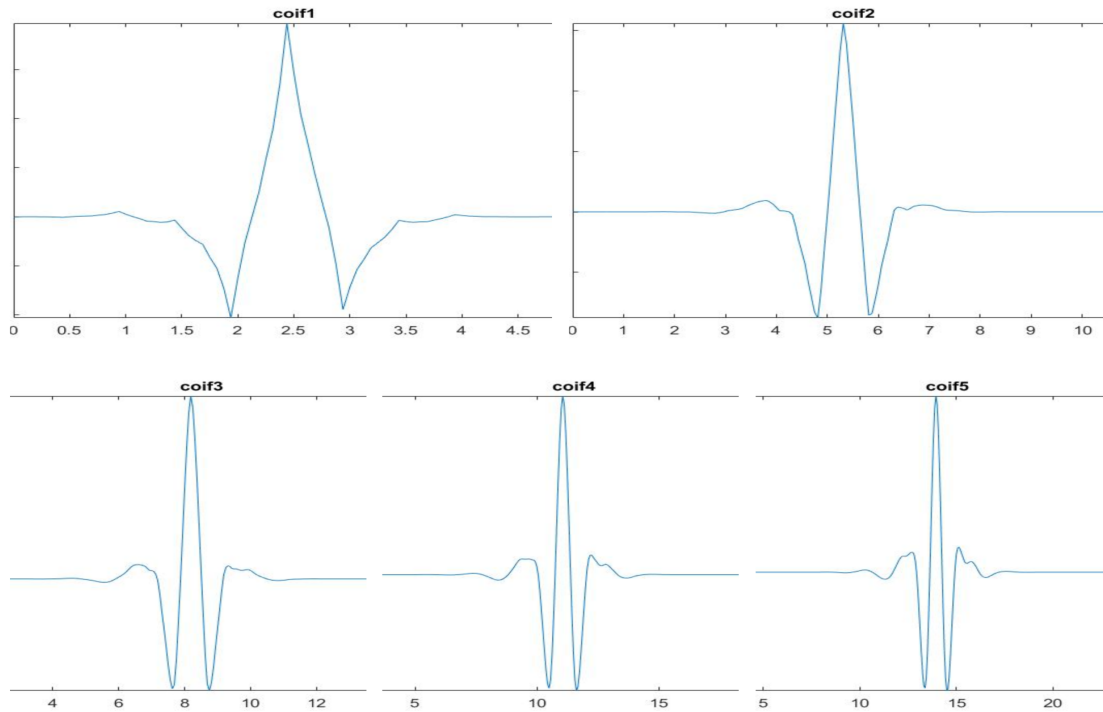


Slika 2.11: Prikaz Daubechies wavelet-a, od drugog do desetog

time da su prvih deset ('db1' - 'db10') najviše u upotrebi.

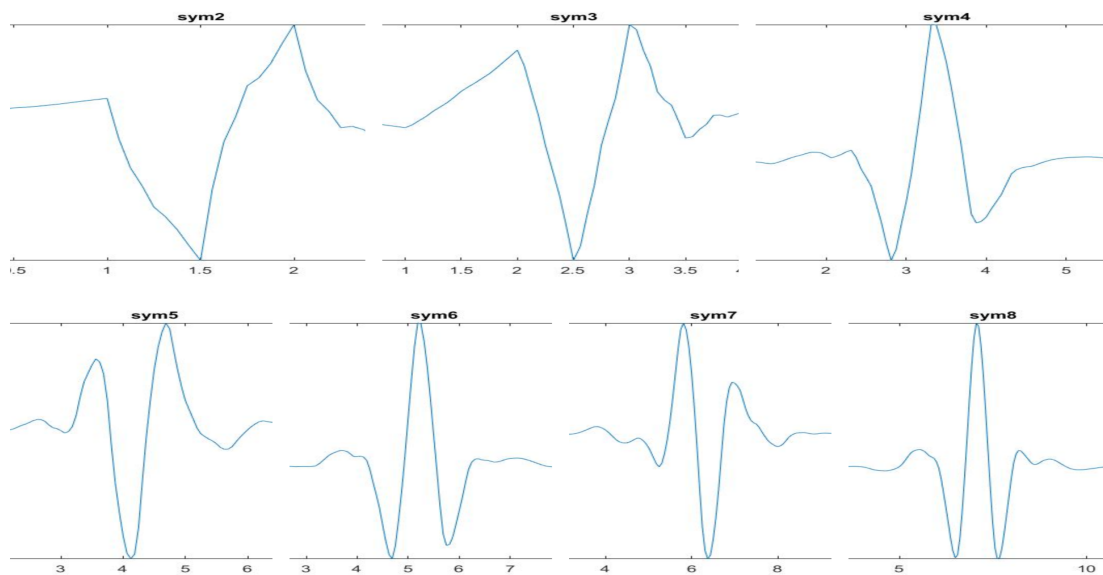
Coiflets Kreirani od strane Ingrid Daubechies na zahtjev Ronaldala Coifmana (po kome su i dobili ime) [29]. Njih, kao i Daubechies wavelet-e, karakterišu nestajući momenti i skalirajuće funkcije, u oznaci 'coifN', gdje je N broj nestajućih momenata za wavelet i skalirajuću funkciju.

Sa slike 2.12 se vidi da su skoro simetrični i da sa povećanjem broja N, coiflet postaje uži. Pokazali su se odlično kod odabirajućih aproksimacija glatkih funkcija.



Slika 2.12: Prikaz prvih pet coiflet-a

Symlets Predstavljaju familiju wavelet-a koji su modifikovana vezija Daubechies-a. Modifikacija se ogleda u većoj simetriji u odnosu na Daubechies [30],[31]. Za njih se može reći da su skoro pa simetrični (u literaturi se često nazivaju najmanje asimetrični Daubechies wavelet-i).



Slika 2.13: Prikaz symlet wavelet-a za različite nestajuće momente

Osobine ove dvije familije wavelet-a (Daubechies i Symlet) su jako slične. Na slici 2.13 je primjetan veći stepen simetrije u odnosu na Daubechies.

2.5 Primjena kompresivnog odabiranja

Pošto CS nudi mogućnost drastičnog smanjenja broja neophodnih informacija za rekonstrukciju i manju upotrebu resursa prilikom skladištenja i transmisije, svoju primjenu je našao u raznim domenima ljudske djelatnosti [32]-[35].

Neki primjeri primjene su:

Slike. Očigledna je primjena CS-a kod različitih tipova slika. Današnje kamere mogu imati rezoluciju od nekoliko desetina megapiksela, pa se postavlja pitanje da li je zaista neophodno sačuvati toliku količinu podataka. CS pristup omogućava senzorima u kameri redukciju potrebne energije slike. Ultrazvučno prikupljanje podataka gdje se koristi zvučni signal radi dobijanja slike organa u unutrašnjosti tijela. Samom primjenom CS-a nije potrebno odabirati reflektovani signal Nikvistovom brzinom, već mnogo manjom. Upotreba CS-a kod magnetne rezonantne tomografije (MRI) može drastično smanjiti period potreban za akviziciju informacija, jer je sam proces magnetne rezonanse poprično dug i psihološki neprijatan za pacijenta. CS svoje mjesto ima i kod holografije radi unapređenja reprodukcije trodimenzionalnih slika, kao i kod uređaja za prepoznavanje lica.

Radio talasi. Kod radio uređaja, dolazeći signal se kompresuje i vrši se AD konverzija radi daljeg očitavanja. Ovi uređaji su često skupi, a pored toga, u tradicionalnim radio sistemima pojavljuje se i pitanje rezolucije. Glavna prednost primjene CS-a u radio sistemima je predstavljanje vremensko-frekventne komponente u diskretnu komponentu, te projekcije toga u matricu koja ima rijetku reprezentaciju.

Navedeno važi i za radio-astronomске uređaje i satelite koji mijere i obrađuju radio talase.

Biologija. CS paradigma se može iskorititi radi povećanja efikasnosti i smanjenja troškova za biološka istraživanja. Tako se CS koristi kod tehnike komapracija niza DNK mikrostruktura, gdje se simultano mjeri i detektuje veliki broj različitih genomskeih struktura

posredstvom biosenzora. Još jedan od primjera primjene CS-a je kod istraživanja ekspresije gena (*gene expression*).

Računarske mreže. Procjena mrežnog kašnjenja se može modelovati neodređenim sistemom linearnih jednačina. Uz to, mrežne rutirajuće matrice generalno zadovoljavaju CS uslove.

Ispravljanje greški. CS pokazuje značajna unapređenja u obasti teorije informacija i kodova, pogotovo kod ispravljanja greški prilikom prenosa signala. Informacije koje se šalju od transmitema do risivera putuju raznim transmisionim medijumima i tom prilikom dolazi do degradacije kvaliteta signala posredstvom šuma ili se neke informacije izgube prilikom prenosa. Postavlja se pitanje kako na efikasan način izvršiti ispravljanje ovih greški i rekonstruisati poslati signal tako da što više nalikuje na poslati. CS nudi rješenje tako što predlaže rekonstrukciju preko rijetke reprezentacije, pošto se greške često javljaju na prepoznatljivim mjestima.

3 Biomedicinske slike

Značaj biomedicinskih slika je od esencijalne važnosti u medicinskoj dijagnostici. Pomoću njih se dobija jasna predstava o stanju unutrašnjih organa i kostiju kod pacijanata, što značajno olakšava proces utvrđivanja opšteg zdravlja pacijenta.

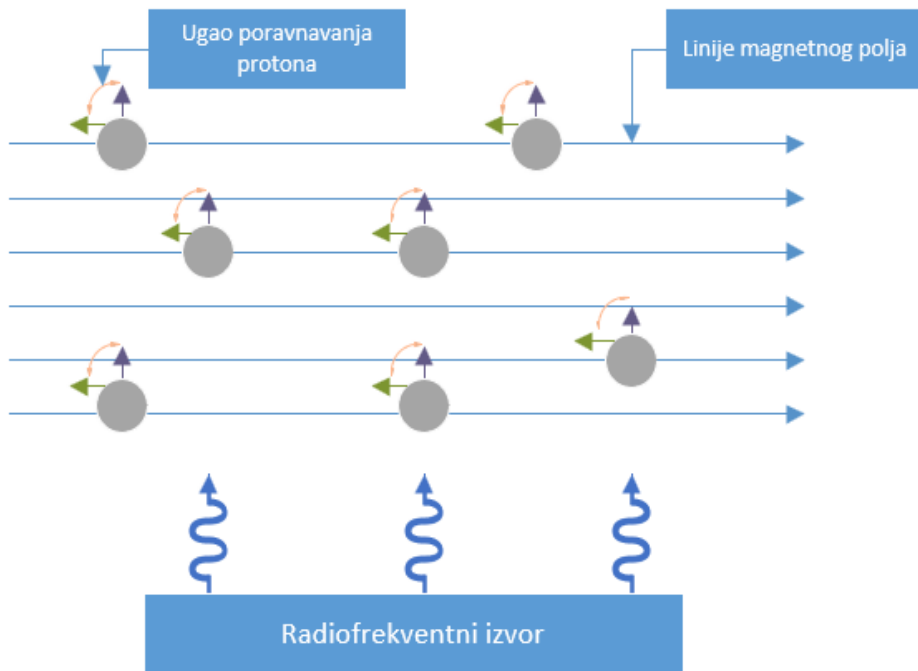
Obrada biomedicinskih slika je jako široko polje istraživanja jer pokriva međusobno zavisne cjeline, od prikupljanja biomedicinskih signala, inicijalnog formiranja slike, procesuiranja dobijene slike i prikaza iste posredstvom specijalizovanih uređaja. U svojoj osnovi većina tehnika koje se koriste prilikom obrade biomedicinskih slika uključuju otklanjanje šuma (*denoising*), otklanjanje zamućenja (*deblurring*), ocrtavanja (*outlining*), filtriranja...

Sistemi za procesuiranje biomedicinskih slika kombinuju hardver i softver i konstantno su u procesu unapređenja. Najčešće korišćeni sistemi i procesi u svrhu generisanja biomedicinskih slika su magnetna rezonatna tomografija, X-ray i kompjuterizovana tomografija. Svaki od njih ima svoje prednosti i mane, kao i rizike [36].

3.1 Magnetna rezonantna tomografija

Magnetna rezonantna tomografija (*Magnetic Resonance Imaging - MRI*) predstavlja radiološku metodu čije se funkcionisanje zasniva na upotrebi magnetnog polja i metoda za obradu slike sa ciljem sagledavanja unutrašnjosti tijela.

MRI koristi principe nuklearne magnetne rezonancije tehnike spektroskopije. Bazirana je na tehnici detektovanja promjene u smjeru rotacije protona u molekulu vode (ljudsko tijelo je sastavljeno od oko 60 % vode). Kada se pacijent izloži jakom magnetnom polju, protoni u molekulima vode se poravnaju sa linijama stranog magnetnog polja. Nakon poravnavanja, pacijent se izloži radiofrekventnim talasima koji stimulišu protone da iskoče iz svog ravnotežnog stanja i usprotive se linijama magnetnog polja (u ovom momentu je ugao poravnavanja protona u odnosu na linije magnetnog polja 90° ili 180°), što je ilustrovano na slici 3.1. Nakon isključenja radiofrekventnih talasa, protoni se vraćaju u prethodno stanje i poravnavaju se sa linijama magnetnog polja, pri čemu emituju određene količine energije koje registruju MRI senzori. Vrijeme koje je potrebno da se ovi protoni ponovo poravnaju sa linijama magnetnog polja, kao i količina energije koju oslobole, zavise najviše od hemijske strukture okoline, pa su ovi parametri jako bitni jer se na osnovu njih mogu razlikovati razni tipovi tkiva [37]-[39].



Slika 3.1: Uticaj radiofrekvencije na protone u molekulima vode

Savremeni MRI uređaji uglavnom sadrže cijev u kojoj se nalazi tijelo pacijenta. Tu se pacijent izlaže magnetnom polju uređaja. Po jačini magnetnog polja uređaje dijelimo na:

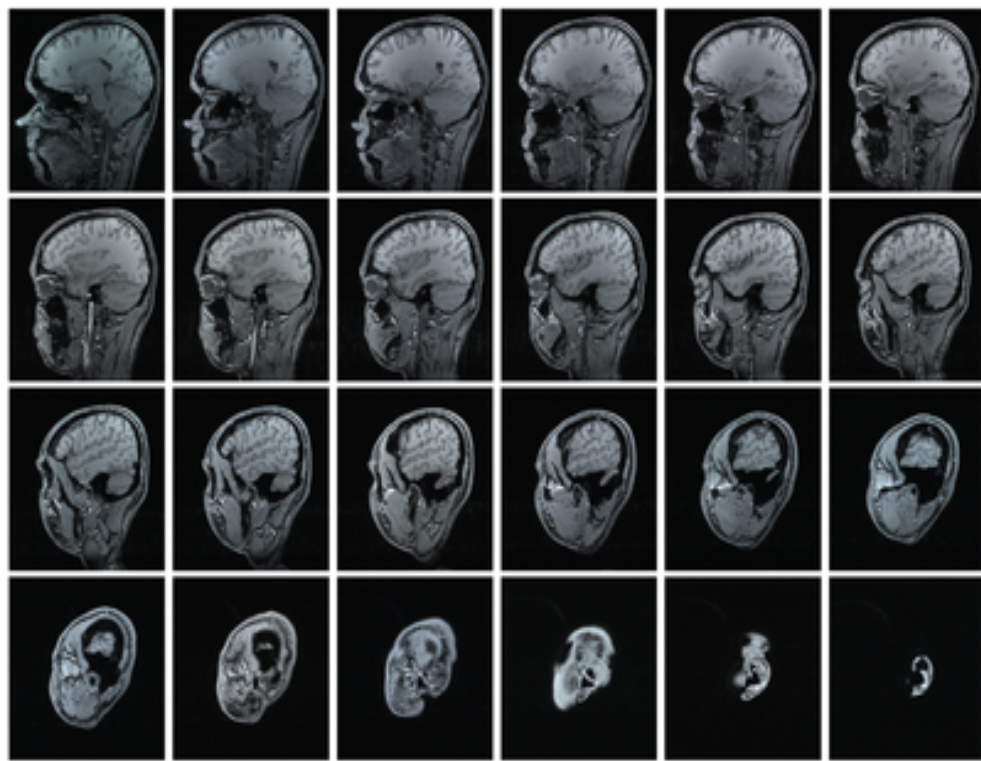
- MRI slabog polja jačine - 0,15 T do 0,5 T
- MRI srednjeg polja jačine - 0,5 T do 1 T
- MRI visokog polja jačine - 1 T do 3 T
- MRI eksperimentalnog tipa - više od 3 T.

Na slici 3.2 se nalazi serija snimaka glave napravljenih pomoću MRI uređaja.

MRI ima visoku osjetljivost u otkrivanju tumora, kao i kod identifikacije određenih vrsta preloma.

Pošto su slike magnetne rezonanse jako bitne sa aspekta detekcije bolesti kod pacijenata, njihov kvalitet mora biti zadovoljavajućeg stepena. Sam proces obavljanja MRI procedure je spor, što predstavlja ozbiljnu manu.

Ima par glavnih uzročnika lošije slike magnetene rezonanse. Prvi, moguća neispravnost samog MRI uređaja da načini dovoljno kvalitetnu sliku. Drugi, faktori okoline, kao temperatura

Slika 3.2: Snimci glave¹

ambijenta ili količina električnih uređaja u prostoriji. Treće, neposlušnost samog pacijenta. Od pacijenata se zahtijeva da miruju dok traje procedura, ukoliko se meškolje ili pokreću, slika može biti lošijeg kvaliteta. U ovim slučajevima, da se procedura ne bi ponavljala, CS pristiže u pomoć. Samim tim se može smanjiti vremenski period izlaganja pacijenata MRI uređaju, jer nije neophodno da se obavlja velik broj mjerjenja, već kao što je rečeno u teoriji o CS-u, dovoljan je mali broj mjerena da bi se obavila rekonstrukcija.

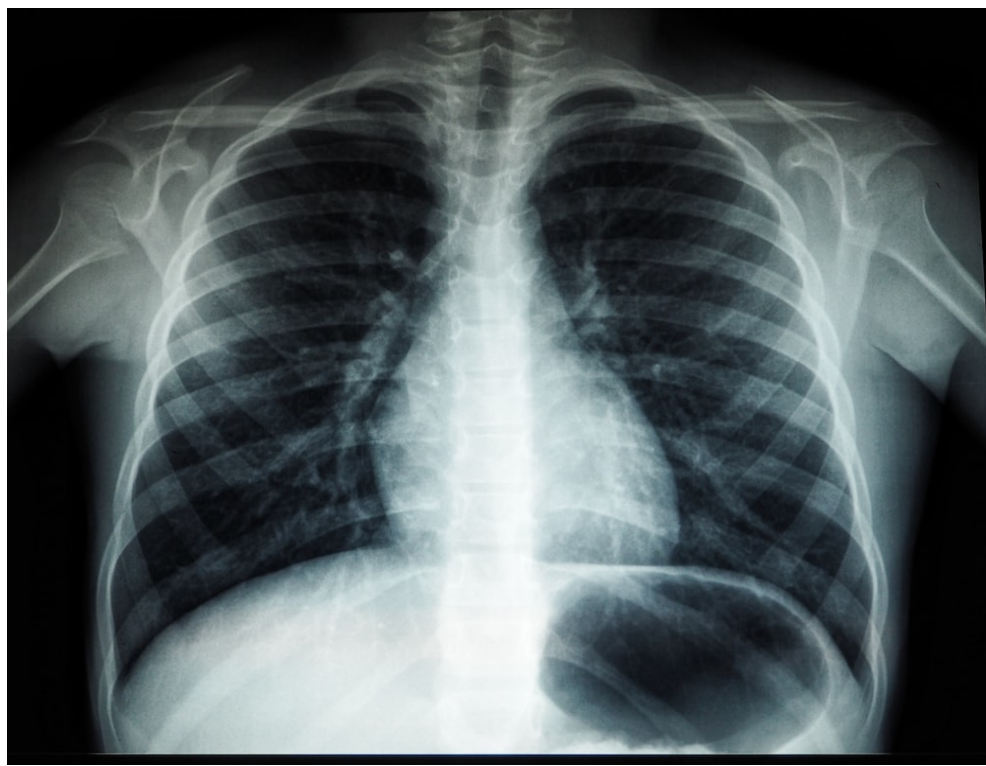
Dakle, primjena CS kod MRI može drastično smanjiti vrijeme trajanja procedure, što je od koristi i pacijentima i doktorima.

3.2 X-ray

X-zraci (*X-ray*) su elektromagnetni talasi sa talasnom dužinom u rasponu 10^{-8} - 10^{-12} m, frekvencijama od 10^{16} - 10^{20} Hz i prosječnim energijama od 100 eV - 100 keV. Kao takvi, prolaze kroz većinu obekata, uključujući i ljudsko tijelo. U medicini se koriste radi generisanja X-ray slika u procesu koji se zove radiografija.

¹Slika preuzeta sa stranice <https://nuscimagazine.com/how-ai-can-improve-mri-imaging-speed/> dana 24.01.2023. godine

Aparatura neophodna za proces stvaranja X-ray slika se sastoji od izvora i detektora zračenja. Ljudsko tijelo se pozicionira između navedena dva uređaja. X-zraci putuju od izvora i prolaze kroz ljudsko tijelo, gdje bivaju apsorbovani u različitim količinama u različitim tipovima tkiva, u zavisnosti od radiološke gustine samih tkiva, da bi detektor registrovao određenu količinu zračenja radi generisanja slike koja predstavlja sijenu tkiva i objekata u tijelu. Na primjer, kosti imaju visoku radiološku gustinu zbog koncentracije kalcijuma, pa bolje apsorbuju X-zrake, što rezultira da one na X-ray slikama budu svjetlijе u odnosu na ostala tkiva i objekte koja imaju manju radiološku gustinu (mišići, masti, pluća), te apsorbuju manje X-zračenja, pa su na X-ray slikama prikazani u nijansama sivo-crne boje [40]-[42].



Slika 3.3: Prikaz X-ray snimka ljudskih pluća. Kosti grudnog koša se prikazuju svijetlim bojama, dok su plućna tkiva prikazana tamnjijim bojama²

Zahvaljujući mogućnosti prikazivanja unutrašnjosti tijela, X-ray slike se u medicini koriste radi detektovanja polomljenih kostiju, tumora, izraslina, stranih tijela, kvarova na zubima, pneumonije...

Pored navedenoga, koristi se kod:

²Slika preuzeta sa stranice <https://unsplash.com/s/photos/x-ray> dana 25.01.2023. godine

- **Fluoroskopije**, gdje se uz pomoć X-zraka stvaraju slike pokreta unutar tijela (otkucaji srca, kretanje krvi kroz arterije).
- **Mamografije**, gdje se mogu detektovati abnormalne izrasline u dojkama.
- **Kompjuterizovane tomografije**, gdje se kombinuje X-ray proces sa računarskom obradom radi dobijanja niza slika koje se kombinuju i stvaraju 3D X-ray prikaz.

X-zraci produkuju ionizujuće zračenje koje može imati negativan uticaj na živa bića jer može izazvati pojavu malignih oboljenja. Sa većim brojem ponavljanja X-ray procedure u toku života, pacijentima raste vjerovatnoća razvijanja nekog oblika kancera, iako je ta vjerovatnoća relativno niska. Postavlja se pitanje da li je neophodno izlagati pacijenta duže vremena ovom obliku zračenja? Primjena CS-a bi mogla skratiti vremensko izlaganje pacijenta zračenju, bez degradacije kvaliteta generisanih slika.

3.3 Kompjuterizovana tomografija

Kompjuterizovana tomografija (*Computed Tomography - CT*) predstavlja kompjuterizovanu X-ray proceduru gdje se prikupljeni signali procesuiraju radi generisanja slika poprečnog presjeka tijela. Pacijent leži na krevetu koji se sporo kreće u tunelu u kojemu se izlaže pramenima X-zraka čiji izvor brzo rotira oko tijela pacijenta. CT skeneri imaju posebne X-ray digitalne detektore koji su pozicionirani suprotno od X-ray izvora. Kada X-zraci prođu kroz tijelo pacijenta, bivaju pokupljeni od strane digitalnog detektora odakle se prosljeđuju signali ka računaru. Svaki put kada izvor X-zraka napravi jednu punu rotaciju, računar na osnovu svoje softverske logike konstruiše dvodimenzionalnu sliku poprečnog presjeka tijela. Ova procedura se ponavlja sve do željenog broja slika.

Na osnovu prethodno navedenoga, osnovni problem u tomografiji se sastoji od nalaženja načina da se rekonstruiše 2D slika na osnovu niza 1D projekcija i uglova iz kojih su te projekcije uzete. Recimo da imamo objekat u prostoru koji je opisan funkcijom $f(x, y)$. Tada se projekcija funkcije $f(x, y)$ duž nasumičnog pravca koji je definisan uglom φ opisuje kao:

$$p_\varphi(t) = \int_{l(\varphi, t)} f(x, y) dl, \quad \text{gdje je } l(\varphi, t) = \{(x, y) \in \mathbb{R} \times \mathbb{R} : t = x \cos(\varphi) + y \sin(\varphi)\}. \quad (3.1)$$

Relacija (3.1) se može zapisati i kao:

$$p_\varphi(t) = \iint_{-\infty}^{+\infty} f(x, y) \delta(x \cos(\varphi) + y \sin(\varphi) - t) dx dy, \quad (3.2)$$

što predstavlja Radonovu transformaciju duž linije l . Skup svih $p_\varphi(t)$ za svako φ se naziva Radonovom transformacijom slike $f(x, y)$.



Slika 3.4: CT slika abdomena³

Dobijene slike se mogu prikazati pojedinačno ili se mogu računarski "posložiti" radi dobijanja 3D prikaza, što je korisno zbog mogućnosti rotiranja 3D prikaza, pa je unutrašnjost ljudskog tijela bolje prikazana, što pomaže doktorima prilikom dijagnostike [43],[44]. Samim tim mogu dati tačniju kliničku sliku pacijenta u odnosu na tradicionalni X-ray pristup.

Sam detaljniji prikaz omogućuje detektovanje sitnih povreda, krvnih ugrušaka, viška tečnosti, tumora, fraktura...

Određeni zdravstveni rizici postoje, iako su minorni, zbog izlaganja ionizujućem zračenju. Oni su pobrojani u poglavljju o X-ray slikama.

Analogno već diskutovnim primjenama CS-a kod MRI i X-ray slika, kod CT procedure se na isti način može primijenti CS postupak radi skraćenja procedure što bi rezultovalo kraćem izlaganju pacijenata ionizujućem zračenju.

³Slika preuzeta sa stranice <https://www.healthline.com/health/ct-scan> dana 26.01.2023. godine

4 Algoritmi za rekonstrukciju

Kao što je već pomenuto u prethodnim poglavljima, CS je jako popularna tehnika u obradi signala jer predstavlja alternativu tradicionalnom pristupu koja omogućuje uspješnu rekonstrukciju signala na osnovu značajno redukovanih broja odbiraka. Zbog svoje široke primjene i popularnosti, značajan broj različitih algoritama se pojavio da bi odgovorili raznim izazovima u mnogim oblastima koje zahtijevaju obradu signala, od jednodimenzionalnih signala, preko slika do video aplikacija. Postoje nekolike grupe algoritama kao što su algoritmi konveksne optimizacije, *greedy* algoritmi, *Sparse Bayesian learning* algoritmi... U nastavku će biti opisani karakteristični predstavnici nekih od navedenih grupa.

4.1 Basis Pursuit

Basis Pursuit (BP) pripada grupi konveksnih algoritama, zajedno sa LASSO(*Least Absolute Shrinkage and Selection Operator*), LARS(*Least Angle Regression*), adaptivnim građijentnim algoritmom... Pristupi koji rješavaju problem konveksne optimizacije su računski efikasniji u odnosu na nekonveksne. BP pristup je baziran na konveksnoj ℓ_1 minimizaciji koja je definisana formulacijom (2.9). On vrši dekompoziciju signala na superpoziciju onih elemenata čiji koeficijenti imaju najmanju ℓ_1 - normu [2],[3],[13]. Problem (2.9) se može drugačije zapisati kao:

$$\min_t \sum t, \quad \text{da je } -t \leq \mathbf{x} \leq t, \mathbf{y} = \mathbf{F}\mathbf{x}, \quad (4.1)$$

gdje je promjenjiva t uvedena da bi se izbjegla apsolutna vrijednost $\|\mathbf{x}\|_1 = \sum_{i=1}^N |\mathbf{x}_i|$. BP se može riješiti koristeći *primal-dual interior point* metodu (Algoritam 1).

Algoritam 1 Primal-dual interior point metoda

- 1: Polazeći od $\mathbf{y} = \mathbf{F}\mathbf{x}$, postaviti da je $\mathbf{x} = \mathbf{x}_0 = \mathbf{F}^T\mathbf{y}$.
 - 2: Postaviti $t_0 = \zeta|\mathbf{x}_0| + \chi \max\{|\mathbf{x}_0|\}$. \triangleright Parametre ζ i χ prethodno definiše korisnik.
 - 3: Formirati Lagranžovu funkciju:

$$L\left(\mathbf{x}, t, r, \frac{-1}{\mathbf{x}_0 - t_0}, \frac{1}{\mathbf{x}_0 + t_0}\right) = f(t) + r(\mathbf{F}\mathbf{x} - \mathbf{y}) - \frac{\mathbf{x} - t}{\mathbf{x}_0 - t_0} - \frac{\mathbf{x} + t}{\mathbf{x}_0 + t_0}, \quad r = -\mathbf{F}\left(\frac{-1}{\mathbf{x}_0 - t_0} + \frac{1}{-\mathbf{x}_0 - t_0}\right).$$
 - 4: Ažurirati svaki element funkcije (3) za dužinu stope (κ) koja se računa putem traženja linija unazad (*backtracking line search*), i pravac stope (Δ), koji se dobija nalaženjem prvog izvoda funkcije L po njenim argumentima.
-

4.2 Adaptivni gradijentni algoritam

Navedeni algoritam takođe pripada konveksnim optimizacionim metodama. Iako neki pristupi koriste ℓ_0 -normu, ona je računski zahtjevan optimizacioni problem, pa je ℓ_1 -norma daleko češće korišćen optimizacioni pristup [13],[45],[46]. Algoritam za jednodimenzionalni signal je dat u Algoritmu 2.

Algoritam 2 Adaptivni gradijentni algoritam

Uzorak: Posmatramo signal $y(n)$ dužine N kod kojega je broj dostupnih odbiraka N_A , a broj nedostajućih odbiraka N_Q .

```

1:  $y^{(0)}(n) \leftarrow y(n)$                                       $\triangleright n \notin N_Q$ 
2:  $y^{(0)}(n) \leftarrow 0$                                       $\triangleright n \in N_Q$ 
3:  $m \leftarrow 0$ 
4:  $\Delta \leftarrow \max|y^{(0)}(n)|$ 
5: repeat
6:    $y^{(p)}(n) = y^{(m)}(n)$                                       $\triangleright$  za svako n
7:   repeat
8:      $m \leftarrow m + 1$ 
9:     for  $n_i \leftarrow 0$  to  $N - 1$  do
10:      if  $n_i \in N_Q$  then
11:         $X^+(k) \leftarrow DFTy^{(m)}(n) + \Delta\delta(n - n_i)$ 
12:         $X^-(k) \leftarrow DFTy^{(m)}(n) - \Delta\delta(n - n_i)$ 
13:         $g^{(m)}(n_i) \leftarrow \frac{1}{N} \sum_{k=0}^{N-1} |X^+(k)| - |X^-(k)|$ 
14:      else
15:         $g^{(m)}(n_i) \leftarrow 0$ 
16:      end if
17:       $y^{(m+1)}(n_i) \leftarrow y^{(m)}(n_i) - g^{(m)}(n_i)$ 
18:    end for
19:     $\beta_m = \arccos \frac{\sum_{n=0}^{N-1} g^{(m-1)}(n)g^{(m)}(n)}{\sqrt{\sum_{n=0}^{N-1} (g^{(m-1)}(n))^2} \sqrt{\sum_{n=0}^{N-1} (g^{(m)}(n))^2}}$ 
20:  until  $\beta_m < 170^\circ$ 
21:   $\Delta \leftarrow \frac{\Delta}{\sqrt{10}}$ 
22:   $R = 10\log_{10} \frac{\sum_{n \in N_Q} |y^{(p)}(n) - y^{(m)}(n)|^2}{\sum_{n \in N_Q} |y^{(m)}(n)|^2}$ .
23: until  $R < R_{max}$ 
24: return  $y^{(m)}(n)$ 
```

Izlaz: Rekonstruisani signal $y_R(n) = y^{(m)}(n)$

Kod njega se vrši rekonstrukcija signala sa nasumice pozicioniranim nedostupnim odbircima, dok inicijalno počinje sa odabranim vrijednostima za dostupne odbirke. Ta inicijalna vrijednost dostupnih odbiraka se iterativno mijenja za $+\Delta$ i $-\Delta$, a sama koncentracija unapređenja se mjeri u domenu u kojemu signal ispoljava svojstvo rijetkosti. Vektor gradijenta se

dobija kao razliku između ℓ_1 - norme vektora promijenjenih za $+\Delta$ i vektora promijenjenih za $-\Delta$, pa se vrijednost ovog gradijenta koristi radi ažuriranja vrijednosti nedostajućih odbiraka signala.

4.3 Orthogonal Matching Pursuit

Orthogonal Matching Pursuit (OMP) pripada *greedy* algoritmima koji su računski manje kompleksni, pa samim tim i brži u izvršavanju ali i manje precizni, u odnosu na algoritme bazirane na ℓ_1 - normi. *Greedy* algoritmi nalaze elemente transformacione matrice koji kroz iteracije najbolje odgovaraju originalnom signalu. [13] OMP postupak je dat u Algoritmu 3.

Algoritam 3 Orthogonal Matching Pursuit

Ulas: Iz formulacije $\mathbf{y} = \mathbf{F}\mathbf{x}$ imamo transformacionu matricu $\mathbf{F} = \Phi\Psi$. *Početna inicijalizacija:* inicijalni ostatak $\mathbf{r}_0 = \mathbf{y}$, inicijalno rješenje $\mathbf{X}_0 = 0$, matrica odabranih atoma $\Gamma_0 = []$ i broj iteracija P.

- ```

1: repeat
2: $v_n = \arg \max_{i=1, \dots, M} |\langle \mathbf{r}_{n-1}, \mathbf{F}_i \rangle|$
3: $\mathbf{\Gamma}_n \leftarrow [\mathbf{\Gamma}_{n-1} \mathbf{F}_{v_n}]$
4: $\mathbf{X}_n = \arg \min_{\mathbf{X}} \|\mathbf{r}_{n-1} - \mathbf{\Gamma}_n \mathbf{X}_{n-1}\|_2^2$
5: $\mathbf{r}_n = \mathbf{r}_{n-1} - \mathbf{\Gamma}_n \mathbf{X}_{n-1}$
6: $n = n + 1$
7: until (kriterijum zaustavljanja)

```

▷ Nalaženje maksimalne korelacione kolone  
 ▷ Ažuriranje matrice odabralih atoma  
 ▷ Rješavanje problema najmanjih kvadrata  
 ▷ Ažuriranje ostatka

Izlaz:  $X_p$  i  $r_p$ .

#### 4.4 Iterativni algoritam sa tvrdim pragom

Algoritmi sa pragom (*Thresholding algorithms*) su bazirani na adaptivnom pragu koji se primjenjuje kroz nekoliko iteracija. Značajno su brži u odnosu na konveksne pristupe [3],[13],[47]. Jedna iteracija se može definisati preko funkcije praga kao:

$$x_i = V_{\varepsilon}(f(X_{i-1})), \quad (4.2)$$

gdje je  $V_\varepsilon$  funkcija praga,  $f$  je funkcija koja modificuje izlaz prethodne iteracije a  $\mathbf{X}$  je vektor koji zadovoljava osobinu rijetkosti u originalnom ili nekom transformacionom domenu.

Signal se na osnovu mjerena može rekonstruisati putem algoritma sa tvrdim (*hard*) ili algoritma sa mekim (*soft*) pragom.

Iterativni algoritam sa tvrdim pragom postavlja sve osim  $S$  najvećih komponenti (po opsegu veličina signala  $\mathbf{X}$ ) na nulu. Tada se tvrda funkcija praga  $H_S$  definiše kao:

$$H_S(\mathbf{X}) = \begin{cases} X_i, & |X_i| > \varepsilon \\ 0, & \text{ostalo} \end{cases}, \quad (4.3)$$

gdje je  $\varepsilon$   $S$ -ta najveća komponenta u  $\mathbf{X}$ . Procedura iterativnog algoritma sa tvrdim pragom je data Algoritmom 4.

---

**Algoritam 4** Iterativni algoritam sa tvrdim pragom

---

**Uzorak:**  $\mathbf{y}$  je vektor mjerjenja a  $\mathbf{F}$  je CS matrica. Neka je signal  $S$ -rijedak.

```

1: $\mathbf{X}_0 \leftarrow 0$
2: for $i = 1, \dots, (\text{kriterijum zaustavljanja})$ do
3: $\mathbf{X}_i \leftarrow H_S(\mathbf{X}_{i-1} + \mathbf{F}^T(\mathbf{y} - \mathbf{F}\mathbf{X}_{i-1}))$
4: end for
5: return $\hat{\mathbf{X}} \leftarrow \mathbf{X}_i$
```

**Izlaz:** Aproksimacija signala  $\hat{\mathbf{X}}$ .

---

## 4.5 Pristup naizmjenične metode množitelja

U posljednjoj deceniji, zbog porasta u veličini i kompleksnosti savremenih struktura podataka, mnogi problemi u mašinskom učenju, statistici i digitalnoj obradi signala se mogu predstaviti u okvirima konveksne optimizacije. Kao jedna od pristupa za distribuiranu konveksnu optimizaciju, metoda naizmjeničnih množitelja (*Alternating Direction Method of Multipliers*, u nastavku ADMM) se pokazuje kao podesna za razrješenje navedenih problema.

ADMM pristup je razvijen tokom sedamdesetih godina prošlog vijeka, s time što je matematička podloga definisana pedesetih godina i slična je ili ekvivalentna sa velikim brojem drugih pristupa kao što su dualna dekompozicija, cijepanje po Douglas-Rachfordu (*Douglas-Rachford splitting*), Djikstrine naizmjenične projekcije (*Dykstra's alternating projections*), Bergmanovi iterativni algoritmi za  $\ell_1$  probleme, proksimalne metode...

Prije samog matematičkog definisanja ADMM pristupa, neophodno je navesti određene optimizacione algoritme koji predstavljaju njegovu preteču [48]-[50]:

### Dualni uspon (Dual Ascent)

Posmatrajmo konveksnu funkciju  $f : \mathbf{R}^n \rightarrow \mathbf{R}$  sa promjenljivom  $x \in \mathbf{R}^n$ . Problem konveksne optimizacije možemo prikazati kao:

$$\text{minimize } f(x) \text{ pod uslovom } Ax = b, \quad (4.4)$$

gdje je  $A \in \mathbf{R}^{m \times n}$ . Lagranžijan za navedeni problem je:

$$L(x, y) = f(x) + y^T(Ax - b), \quad (4.5)$$

dok je dualna funkcija:

$$g(y) = \inf_x L(x, y) = -f^*(-A^T y) - b^T y, \quad (4.6)$$

gdje je  $y$  dualna varijabla (Lagranžov množitelj), a  $f^*$  je konveksni konjugat. Dualni problem se sastoji u maksimiziranju  $g(y)$ , s time da je  $y \in \mathbf{R}^m$ . Uz pretpostavku da su optimalne vrijednosti primarnog i dualnog problema jednake, možemo povratiti primarnu optimalnu tačku  $x^*$  od dualne optimalne tačke  $y^*$  kao:

$$x^* = \operatorname{argmin}_x L(x, y^*), \quad (4.7)$$

u slučaju kada postoji samo jedan minimizator za  $L(x, y^*)$ .

Kod metode dualnog uspona, dualni problem se rješava gradijentnim usponom (*gradient ascent*). Pod pretpostavkom da je  $g$  diferencijabilno, gradijent  $\nabla g(y)$  se nalazi tako što se prvo nađe  $x^+ = \operatorname{argmin}_x L(x, y)$ , pa se onda nađe  $\nabla g(y) = Ax^+ - b$ , što predstavlja ostatak za ograničenje jednakosti. Metoda dualnog uspona se sastoji od ažuriranja kroz iteracije:

$$x^{k+1} := \operatorname{argmin}_x L(x, y^k), \quad (4.8)$$

$$y^{k+1} := y^k + \alpha^k(Ax^{k+1} - b), \quad (4.9)$$

gdje je  $\alpha^k > 0$  veličina koraka. Prvi korak (4.8) predstavlja  $x$ -minimizacioni korak, dok drugi korak (4.9) predstavlja ažuriranje dualne promjenljive. Uz odgovarajući odabir  $\alpha^k$ , dualna funkcija se uvećava sa svakim korakom  $g(y^{k+1}) > g(y^k)$ .

Uz odgovarajuće odabrano  $\alpha^k$  i ostale prethodno navedene pretpostavke, tada  $x^k$  konvergira ka optimalnoj tački i  $y^k$  konvergira ka optimalnoj dualnoj tački. Međutim, u mnogim aplikacijama, navedene pretpostavke nijesu ispunjene, pa se dualni uspon ne može koristiti.

### Dualna dekompozicija (*Dual Decomposition*)

Uzmimo da je funkcija  $f$  separabilna. Tada je:

$$f(x) = \sum_{i=1}^N f_i(x_i), \quad (4.10)$$

gdje je  $x = (x_1, \dots, x_N)$ , dok su  $x_i \in \mathbf{R}^{n_i}$  subvektori  $x$ -a. Particionisanjem matrice  $A = [A_1, \dots, A_N]$ , tako da je  $Ax = \sum_{i=1}^N A_i x_i$ , Lagranžijan se zapisuje na sljedeći način:

$$L(x, y) = \sum_{i=1}^N L_i(x_i, y) = \sum_{i=1}^N (f_i x_i + y^T A_i x_i - \frac{1}{N} y^T b). \quad (4.11)$$

Dakle, algoritam dualne dekompozicije se definiše kao:

$$x_i^{k+1} := \underset{x_i}{\operatorname{argmin}} L_i(x_i, y^k), \quad (4.12)$$

$$y^{k+1} := y^k + \alpha^k (Ax^{k+1} - b). \quad (4.13)$$

Korak za  $x$ -minimizaciju (4.12) se odvija u paraleli, nezavisno, za svako  $i = 1, \dots, N$ . U koraku dualnog ažuriranja (4.13), rezidualni doprinosi  $Ax^{k+1}$  se prikupljaju da bi se izračunao ostatak  $Ax^{k+1} - b$ .

Kada je globalna dualna promjenljiva  $y^{k+1}$  izračunata, ona se prosljeđuje procesorima koji obavljaju  $N$  individualnih  $x_i$  minimizacionih koraka.

### Augmentovani Lagranžijani i metoda množitelja

Augmentovane Lagranžove metode su razvijene da bi doprinijele robusnosti metodi dualnog uspona, kao i da doprinesu konvergenciji bez prepostavki da funkcija  $f$  mora biti konveksna. Augmentovani Lagranžijan za (4.4) je:

$$L_\rho(x, y) = f(x) + y^T (Ax - b) + \frac{\rho}{2} \|Ax - b\|_2^2, \quad (4.14)$$

gdje je  $\rho > 0$  kazneni parametar (*penalty parameter*). Prednost uključivanja kaznenog parametra se ogleda u tome što se  $g_\rho$  može predstaviti kao diferencijabilna pod slabim uslovima. Gradijent augmentovane dualne funkcije se nalazi na isti način kao kod običnog Lagranžijana. Ukoliko na ovaj modifikovani problem primijenimo metodu dualnog uspona, dobijamo algoritam:

$$x_i^{k+1} := \underset{x}{\operatorname{argmin}} L_\rho(x, y^k), \quad (4.15)$$

$$y^{k+1} := y^k + \rho(Ax^{k+1} - b). \quad (4.16)$$

Navedeni algoritam predstavlja metodu množitelja za rješavanje (4.4). Navedeno jeisto kao i standardni dualni uspon, osim što korak za  $x$ -minimizaciju koristi augmentovani Lagranžijan, i što je kazneni parametar  $\rho$  korišćen umjesto veličine koraka  $\alpha^k$ . Metoda množitelja konvergira pod mnogo generalnijim uslovima u odnosu na dualni uspon, što uključuje slučajevе kada  $f$  nije striktnо konveksna.

Međutim, unaprijeđena svojstva konvergencije dolaze pod cijenom, jer ukoliko je  $f$  separabilna funkcija, onda augmentovani Lagranžijan  $L_\rho$  nije separabilan pa korak za  $x$ -minimizaciju definisan sa (4.15) ne može biti izvršen odvojeno za svako  $x_i$ , što za posljedicu ima da se osnovna metoda množitelja ne može iskoristiti za dekompoziciju.

Nakon što su definisana prethodna tri optimizaciona algoritma, može se definisati matematička podloga za ADMM pristup. ADMM kombinuje dualni uspon sa odličnim osobinama konvergencije metode množitelja. On rješava problem definisan sljedećom formom:

$$\underset{z}{\operatorname{minimize}} \quad f(x) + g(z) \quad \text{pod uslovom} \quad Dx + Ez = c, \quad (4.17)$$

gdje je  $x \in \mathbf{R}^n$ ,  $z \in \mathbf{R}^m$ ,  $D \in \mathbf{R}^{p \times n}$ ,  $E \in \mathbf{R}^{p \times m}$  i  $c \in \mathbf{R}^p$ . Prepostavimo da su funkcije  $f$  i  $g$  konveksne. Jedina razlika u odnosu na generalni problem definisan sa (4.4) je taj što je promjenljiva  $x$  sada razbijena na dva dijela (*splitting*),  $x$  i  $z$ . Optimalna vrijednost problema (4.17) se opisuje kao:

$$p^* = \inf \{f(x) + g(z) \mid Dx + Ez = c\}. \quad (4.18)$$

Augmentovani Lagranžijan je sada:

$$L_\rho(x, z, y) = f(x) + g(z) + y^T(Dx + Ez - c) + \frac{\rho}{2} \|Dx + Ez - c\|_2^2. \quad (4.19)$$

Nakon prethodno definisanog formalizma, mogu se definisati iteracije za ADMM:

$$x^{k+1} := \underset{x}{\operatorname{argmin}} L_\rho(x, z^k, y^k), \quad (4.20)$$

$$z^{k+1} := \underset{z}{\operatorname{argmin}} L_\rho(x^{k+1}, z, y^k), \quad (4.21)$$

$$y^{k+1} := y^k + \rho(Dx^{k+1} + Ez^{k+1} - c), \quad (4.22)$$

gdje je  $\rho > 0$ . Evidente su sličnosti sa dualnim usponom i metodom množitelja: korak za  $x$ -minimizaciju (4.20), korak za  $z$ -minimizaciju (4.21) i ažuriranje dualne promjenljive (4.22). Kod ADMM-a, varijable  $x$  i  $z$  se ažuriraju naizmjenično, odakle je ovaj pristup i dobio ime. Razdvajanje minimizacije preko  $x$ -a i  $z$ -a u dva koraka je upravo ono što dozvoljava dekompoziciju onda kada su funkcije  $f$  i  $g$  separabilne. Stanje ADMM-a se čuva u  $z^k$  i  $y^k$ , što znači da je  $(z^{k+1}, y^{k+1})$  funkcija od  $(z^k, y^k)$ . Promjenljiva  $x^k$  nije dio stanja, već predstavlja posredni rezultat izračunat u prethodnom stanju  $(z^{k-1}, y^{k-1})$ .

ADMM se može zapisati u drugačijoj i često pogodnijoj skaliranoj formi. Neka je ostatak  $r$  definisan kao  $r = Dx + Ez - c$ . Tada je:

$$y^T r + \frac{\rho}{2} \|r\|_2^2 = \frac{\rho}{2} \|r + \frac{1}{\rho} y\|_2^2 - \frac{1}{2\rho} \|y\|_2^2 = \frac{\rho}{2} \|r + u\|_2^2 - \frac{\rho}{2} \|u\|_2^2, \quad (4.23)$$

gdje je  $u = \frac{1}{\rho} y$  skalirana dualna promjenljiva. Sada pomoću nje možemo zapisati iteracije ADMM-a na sljedeći način:

$$x^{k+1} := \underset{x}{\operatorname{argmin}} \left( f(x) + \frac{\rho}{2} \|Dx + Ez^k - c + u^k\|_2^2 \right), \quad (4.24)$$

$$z^{k+1} := \underset{z}{\operatorname{argmin}} \left( g(z) + \frac{\rho}{2} \|Dx^{k+1} + Ez - c + u^k\|_2^2 \right), \quad (4.25)$$

$$u^{k+1} := u^k + Dx^{k+1} + Ez^{k+1} - c. \quad (4.26)$$

Prva forma ADMM-a (4.20 - 4.22) se naziva neskaliranom, dok se forma (4.24 - 4.26) naziva skaliranom. Obje forme su ekvivalentne, s time što je skalirana forma obično kraća u odnosu na neskaliranu, pa je češće korišćena.

ADMM postiže korektnu preciznost za par desetina iteracija, dok relativno spora konvergencija ograničava njegovu upotrebu u nekim situacijama gdje je neophodno postići veliku preciznost za kratko vrijeme.

ADMM pristup je primjenjivan u velikom broju oblasti, od kojih najviše u oblastima mašinskog učenja, jer ono zavisi od optimizacionih algoritama, statistike, pametnih električnih mreža, optimizacionih problema, aplikacijama sa velikim brojem podataka [51]-[55]...

## 5 Eksperimentalni rezultati

U ovom poglavlju će biti izloženi i analizirani rezultati primjene kompresivnog odabiranja nad oštećenim biomedicinskim slikama. ADMM pristup je prilagođen da bi obrađivao biomedicinske slike. Posmatrane su tri klase slika (MRI, X-ray i CT), sa po dvije slike u svakoj klasi. U te svrhe je korišćeno Matlab okruženje, na uređaju sa sljedećim specifikacijama: AMD Ryzen 5 4600H 3.00 GHz procesor, Nvidia GeForce GTX 1650 Ti grafička kartica i 16 GB RAM-a.

Slike će imati različite stepene oštećenja (40%, 55%, 70%, 85% nedostajućih piksela), kao i različite rezolucije (500x500, 1000x1000, 1500x1500). Oštećenje slika se obavlja na nasumičan način, koristeći ugrađenu Matlab funkciju koja zadati procenat piksela postavlja na nulu (oni su obojani crnom bojom).

Pored promjenljivog stepena oštećenja i promjenljive rezolucije, slike će biti tretirane u različitim transformacionim domenima. Biće testirane DCT i DWT. Unutar DWT-a će biti obrađene tri familije wavelet filtera, Daubechies, Coiflet i Symlet, sa po tri predstavnika za svaki tip wavelet-a (različiti nestajući momenti).

Takođe, uz dva transformaciona domena, oštećene slike će biti rekonstruisane uz pomoć dvije različite norme, TV minimizacije i  $\ell_{21}$ -norme.

Sve kombinacije oštećenja, rezolucija, transformacionih domena i optimizacionih normi će biti testirane radi nalaženja one varijante koja daje najbolje rezultate.

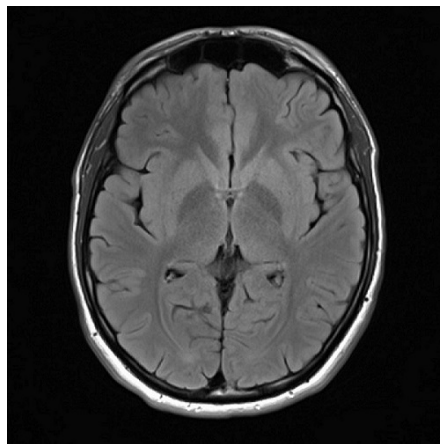
Rezultati se ogledaju u vremenu izvršavanja rekonstrukcije i kvalitetu rekonstrukcije slike. Kvalitet rekonstrukcije se računa odnosom signal-šum, tj. PSNR-om (*Peak Signal-To-Noise Ratio*), koji se računa po formuli:

$$PSNR = 20 \log_{10} \frac{O_{max}}{\sqrt{\frac{1}{MN} \sum_{i=0}^{M-1} \sum_{j=0}^{N-1} [I_o(i, j) - I_r(i, j)]^2}}, \quad (5.1)$$

gdje je  $O_{max}$  maksimalna vrijednost osvjetljaja slike,  $M$  i  $N$  dimenzije slike, a  $I_o$  i  $I_r$  originalna, odnosno rekonstruisana slika.

### 5.1 MRI

Slike koje će biti korišćene u svrhe testiranja su prikazane slikama 5.1 i 5.2.

Slika 5.1: MRI mozga<sup>4</sup>Slika 5.2: MRI koljena<sup>5</sup>

U kodu koji predstavlja implementaciju ADMM pristupa je postavljen broj iteracija na 25. U nastavku će biti predstavljeni i diskutovani rezultati testiranja u tabelarnom i grafičkom prikazu.

#### Transformacioni domen - DCT

U tabeli 1 su dati rezultati primjene ADMM pristupa u rekonstrukciji slika magenetne rezonanse koje su imale različite stepene oštećenja i promjenljive rezolucije. Transformacioni domen je DCT, dok je primijenjena optimizaciona norma TV minimizacija.

| 25 iteracija, TV minimizacija |       |            |                         |             |           |
|-------------------------------|-------|------------|-------------------------|-------------|-----------|
| Slika                         | Domen | Rezolucija | Nedostajući pikseli (%) | Vrijeme (s) | PSNR (dB) |
| Mozak                         | DCT   | 500x500    | 40                      | 16.7964     | 30.7544   |
|                               |       | 1000x1000  |                         | 63.2234     | 35.9575   |
|                               |       | 1500x1500  |                         | 151.6918    | 38.4495   |
|                               |       | 500x500    | 55                      | 15.36       | 28.6422   |
|                               |       | 1000x1000  |                         | 63.9027     | 33.5161   |
|                               |       | 1500x1500  |                         | 146.6582    | 35.9931   |
|                               |       | 500x500    | 70                      | 16.0769     | 26.0868   |
|                               |       | 1000x1000  |                         | 64.0709     | 30.6306   |
|                               |       | 1500x1500  |                         | 146.6812    | 32.9314   |
|                               |       | 500x500    | 85                      | 17.2737     | 21.8605   |
|                               |       | 1000x1000  |                         | 64.2803     | 25.1929   |
|                               |       | 1500x1500  |                         | 159.102     | 26.5863   |
| Koljeno                       | DCT   | 500x500    | 40                      | 18.7453     | 27.8341   |
|                               |       | 1000x1000  |                         | 75.0927     | 31.6803   |
|                               |       | 1500x1500  |                         | 171.0069    | 34.3641   |
|                               |       | 500x500    | 55                      | 19.0246     | 26.2363   |
|                               |       | 1000x1000  |                         | 78.1382     | 29.4794   |
|                               |       | 1500x1500  |                         | 194.1227    | 31.7761   |
|                               |       | 500x500    | 70                      | 20.0213     | 24.6333   |
|                               |       | 1000x1000  |                         | 80.5094     | 27.2003   |
|                               |       | 1500x1500  |                         | 185.511     | 28.9017   |
|                               |       | 500x500    | 85                      | 21.8302     | 21.7071   |
|                               |       | 1000x1000  |                         | 83.1183     | 23.3515   |
|                               |       | 1500x1500  |                         | 193.2279    | 24.1146   |

Tabela 1: Rezultati MRI rekonstrukcije, sa korišćenim DCT domenom i TV minimizacijom

<sup>4</sup>Slika preuzeta sa stranice <https://radiopaedia.org/cases/acoustic-schwannoma-15> dana 01.02.2023. godine

<sup>5</sup>Slika preuzeta sa stranice <https://radiopaedia.org/cases/complete-acl-tear-with-important-associated-injuries> dana 01.02.2023. godine

Vidljivo je da sa porastom rezolucije slike, vrijeme potrebno za izvršavanje zadatih 25 iteracija raste. Uočljiva je velika razlika u vremenu izvršavanja za najnižu i najvišu rezoluciju. Kvalitet rekonstrukcije je u većini slučajeva bio na zadovoljavajućem nivou, od oko ili više od 30 dB. Sa porastom rezolucije raste i PSNR za isti procenat oštećenja. Sa porastom stepena oštećenja slike, PSNR opada, i za najveće oštećenje od 85% je u potpunosti ispod 30 dB, pa je vidljiva degardacija slike nakon rekonstrukcije. Opšti zaključak na osnovu rezultata je da ADMM pristup, u kombinaciji DCT domena i TV minimizacije, ima dobre performanse za stepen oštećenja do oko 70%, odakle je sa porastom oštećenja prisutna blaga zamućenost slike, iako su i dalje uočljivi detalji.

U tabeli 2 je data sličan prikaz, samo što je umjesto TV minimizacije korišćena  $\ell_{21}$ -norma.

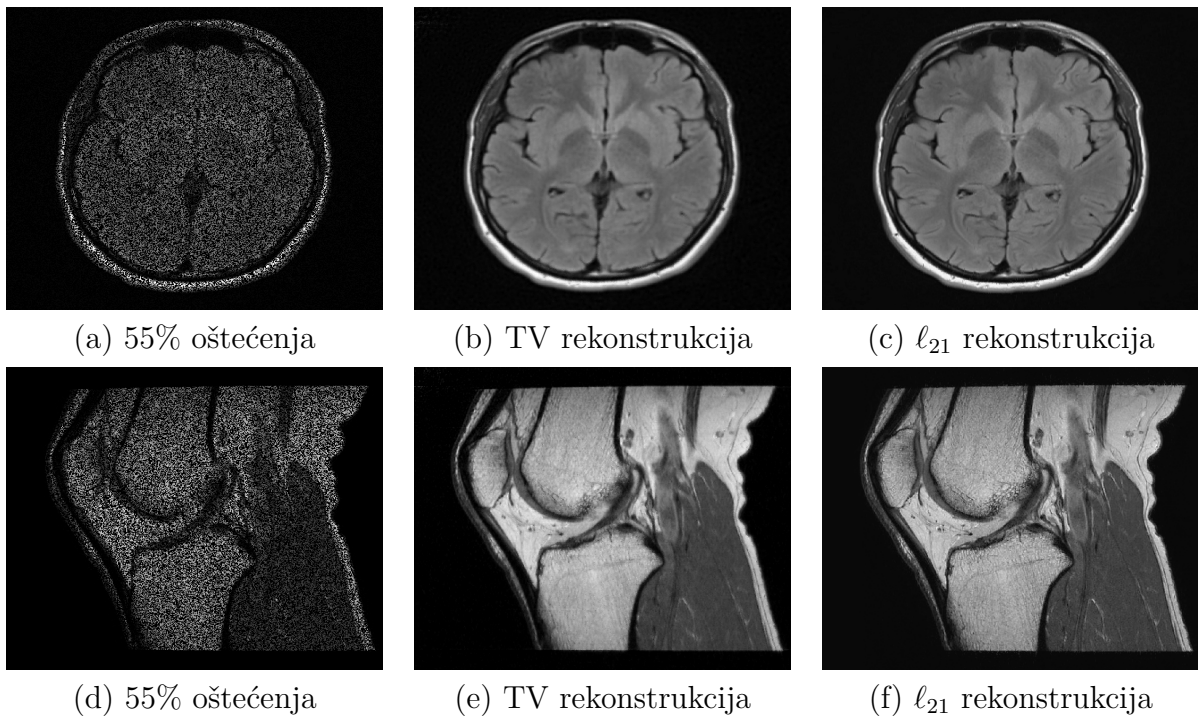
| 25 iteracija, $\ell_{21}$ -norma |       |            |                         |             |           |
|----------------------------------|-------|------------|-------------------------|-------------|-----------|
| Slika                            | Domen | Rezolucija | Nedostajući pikseli (%) | Vrijeme (s) | PSNR (dB) |
| <b>Mozak</b>                     | DCT   | 500x500    | 40                      | 3.8945      | 34.6942   |
|                                  |       | 1000x1000  |                         | 13.153      | 45.8925   |
|                                  |       | 1500x1500  |                         | 33.4854     | 49.9259   |
|                                  |       | 500x500    | 55                      | 3.6182      | 30.6396   |
|                                  |       | 1000x1000  |                         | 11.6033     | 40.4365   |
|                                  |       | 1500x1500  |                         | 33.3996     | 45.096    |
|                                  |       | 500x500    | 70                      | 4.3862      | 26.3931   |
|                                  |       | 1000x1000  |                         | 12.2143     | 32.1689   |
|                                  |       | 1500x1500  |                         | 33.4931     | 32.3204   |
|                                  |       | 500x500    | 85                      | 5.2778      | 20.3202   |
|                                  |       | 1000x1000  |                         | 11.5753     | 20.316    |
|                                  |       | 1500x1500  |                         | 33.3952     | 19.238    |
| <b>Koljeno</b>                   | DCT   | 500x500    | 40                      | 4.4398      | 30.1783   |
|                                  |       | 1000x1000  |                         | 12.0894     | 37.7001   |
|                                  |       | 1500x1500  |                         | 39.6576     | 43.1349   |
|                                  |       | 500x500    | 55                      | 3.2697      | 27.502    |
|                                  |       | 1000x1000  |                         | 12.2381     | 33.3773   |
|                                  |       | 1500x1500  |                         | 39.5191     | 36.8455   |
|                                  |       | 500x500    | 70                      | 3.9481      | 24.7015   |
|                                  |       | 1000x1000  |                         | 11.7937     | 27.1923   |
|                                  |       | 1500x1500  |                         | 38.3535     | 25.6899   |
|                                  |       | 500x500    | 85                      | 4.3577      | 18.9587   |
|                                  |       | 1000x1000  |                         | 12.144      | 17.8279   |
|                                  |       | 1500x1500  |                         | 37.8999     | 16.5659   |

Tabela 2: Rezultati MRI rekonstrukcije, sa korišćenim DCT domenom i  $\ell_{21}$ -normom

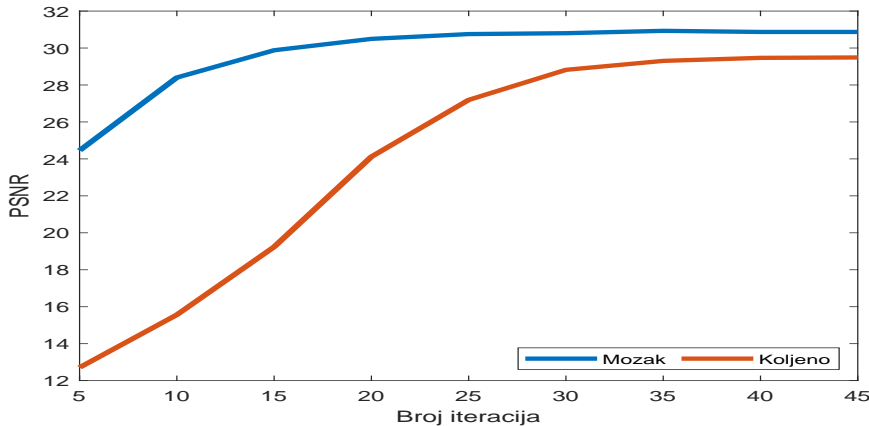
Slični zaključci se mogu izvesti i za slučaj kada TV minimizaciju zamjenimo sa  $\ell_{21}$ -normom. Evidnata razlika je u vremenu izvršavanja, gdje je izvršavanje koristeći  $\ell_{21}$ -normu u prosjeku skoro pet puta brže u odnosu na izvršavanje koristeći TV minimizaciju. PSNR je za niža oštećenja slike (do 55%) veći u odnosu na vrijednosti u tabeli 1, dok za veća oštećenja (preko 85%) daje lošije rezultate, i za razliku od trenda rasta sa porastom rezolucije sa TV minimizacijom, kod  $\ell_{21}$ -norme se bilježi trend pada kvaliteta rekonstrukcije.

Na slici 5.3 je data vizuelna reprezentacija rekonstrukcije nad slikama rezolucije 1000x1000. Grafički prikaz promjene PSNR-a sa porastom broja iteracija je dat grafikom prikazanim na slici 5.4. Za sliku mozga je korišćena 500x500 rezolucija sa TV minimizacijom i oštećenjem

od 40%, dok je za sliku koljena korišćena 1000x1000 rezolucija, sa  $\ell_{21}$ -normom i oštećenjem od 70%. Zasićenje se postiže između 25 i 30 iteracija, odakle gotovo da nema rasta.



Slika 5.3: Oštećene i rekonstruisane MRI slike



Slika 5.4: Rast vrijednosti PSNR-a u zavisnosti od porasta broja iteracija

### Transformacioni domen - DWT

Kao u slučaju DCT domena, slična analiza će biti sprovedena nad MRI koristeći DWT domen. Pošto wavelet-i predstavljaju široku oblast istraživanja, u ovom radu će fokus biti stavljen na tri familije wavelet-a: Daubechies, Coiflets i Symlets. U svakoj od ove tri familije su odabrana po tri predstavnika za analizu. Predstavnici se unutar svake familije razlikuju

po broju nestajućih momenata, tako da će za Daubechies biti korišćeni 'db2', 'db5' i 'db8', za Coiflets 'coif1', 'coif2' i 'coif3', a za Symlets 'sym1', 'sym3' i 'sym6'. U nastavku će biti dati rezultati rada ADMM pristupa koristeći navedene wavelet-e sa dvije optimizacione norme.

| 25 iteracija, TV minimizacija |             |            |                         | Mozak       |           | Koljeno     |           |
|-------------------------------|-------------|------------|-------------------------|-------------|-----------|-------------|-----------|
| Wavelet familija              | Wavelet tip | Rezolucija | Nedostajući pikseli (%) | Vrijeme (s) | PSNR (dB) | Vrijeme (s) | PSNR (dB) |
| Daubechies                    | db2         | 500x500    | 40                      | 22.3847     | 31.2298   | 21.9469     | 28.0729   |
|                               | db5         | 500x500    |                         | 20.1025     | 32.1308   | 21.5066     | 28.0776   |
|                               | db8         | 500x500    |                         | 20.6851     | 32.1893   | 22.8        | 28.0854   |
|                               | db2         | 1000x1000  |                         | 73.0972     | 37.0828   | 99.421      | 31.7414   |
|                               | db5         | 1000x1000  |                         | 73.7117     | 37.8252   | 99.6908     | 32.2767   |
|                               | db8         | 1000x1000  |                         | 73.2687     | 37.9747   | 102.3686    | 32.2999   |
|                               | db2         | 1500x1500  |                         | 167.0061    | 39.3383   | 213.2973    | 33.8751   |
|                               | db5         | 1500x1500  |                         | 201.2268    | 40.1186   | 224.5716    | 34.5639   |
|                               | db8         | 1500x1500  |                         | 200.5073    | 40.1198   | 227.495     | 34.7341   |
|                               | db2         | 500x500    |                         | 22.2692     | 28.7561   | 23.4979     | 26.0475   |
|                               | db5         | 500x500    |                         | 22.8704     | 29.3449   | 23.7349     | 26.0483   |
|                               | db8         | 500x500    |                         | 21.8713     | 29.4352   | 23.9333     | 26.1655   |
|                               | db2         | 1000x1000  |                         | 78.5736     | 34.6591   | 105.3918    | 29.5265   |
|                               | db5         | 1000x1000  |                         | 78.5492     | 35.4457   | 105.1184    | 29.9474   |
|                               | db8         | 1000x1000  |                         | 78.4589     | 35.5862   | 106.3455    | 29.9832   |
|                               | db2         | 1500x1500  |                         | 213.5516    | 37.1418   | 203.5841    | 31.6183   |
|                               | db5         | 1500x1500  |                         | 205.6093    | 37.8159   | 205.0229    | 32.283    |
|                               | db8         | 1500x1500  |                         | 210.3246    | 37.8397   | 214.626     | 32.412    |
|                               | db2         | 500x500    | 55                      | 23.6921     | 25.6096   | 24.6023     | 24.3005   |
|                               | db5         | 500x500    |                         | 23.4126     | 26.4054   | 25.6124     | 24.3335   |
|                               | db8         | 500x500    |                         | 24.4985     | 26.4205   | 24.9486     | 24.3349   |
|                               | db2         | 1000x1000  |                         | 83.5475     | 31.6759   | 114.7618    | 27.3028   |
|                               | db5         | 1000x1000  |                         | 83.394      | 32.2954   | 114.432     | 27.5209   |
|                               | db8         | 1000x1000  |                         | 84.8699     | 32.3298   | 104.9781    | 27.5305   |
|                               | db2         | 1500x1500  |                         | 220.6352    | 34.1341   | 227.7232    | 29.1273   |
|                               | db5         | 1500x1500  |                         | 224.3916    | 34.8202   | 229.4873    | 29.5924   |
|                               | db8         | 1500x1500  |                         | 231.9548    | 34.8759   | 221.3172    | 29.5953   |
|                               | db2         | 500x500    | 70                      | 25.2564     | 21.0169   | 26.1079     | 21.0909   |
|                               | db5         | 500x500    |                         | 24.7401     | 21.0199   | 27.5144     | 21.2856   |
|                               | db8         | 500x500    |                         | 25.3222     | 21.1073   | 27.026      | 21.2954   |
|                               | db2         | 1000x1000  |                         | 87.4743     | 25.4752   | 103.1297    | 23.4503   |
|                               | db5         | 1000x1000  |                         | 88.817      | 25.9658   | 105.4368    | 23.4948   |
|                               | db8         | 1000x1000  |                         | 89.663      | 26.1022   | 105.779     | 23.4991   |
|                               | db2         | 1500x1500  |                         | 241.975     | 27.3416   | 248.8211    | 24.4235   |
|                               | db5         | 1500x1500  |                         | 237.664     | 27.5985   | 250.5884    | 24.5373   |
|                               | db8         | 1500x1500  |                         | 246.5987    | 27.5989   | 247.8075    | 24.5391   |

Tabela 3: MRI rekonstrukcija sa Daubechies familijom, TV minimizacija

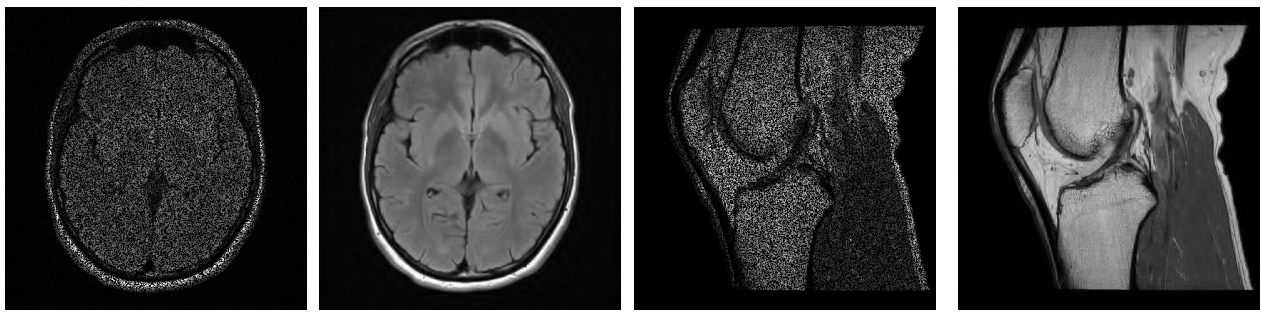
| 25 iteracija, TV minimizacija |             |            |                         | Mozak       |           | Koljeno     |           |
|-------------------------------|-------------|------------|-------------------------|-------------|-----------|-------------|-----------|
| Wavelet familija              | Wavelet tip | Rezolucija | Nedostajući pikseli (%) | Vrijeme (s) | PSNR (dB) | Vrijeme (s) | PSNR (dB) |
| Coiflets                      | coif1       | 500x500    | 40                      | 22.6487     | 31.2858   | 22.1646     | 27.8586   |
|                               | coif2       | 500x500    |                         | 22.2132     | 32.0173   | 21.9547     | 28.2219   |
|                               | coif3       | 500x500    |                         | 22.5054     | 32.2696   | 21.7541     | 28.2336   |
|                               | coif1       | 1000x1000  |                         | 88.9109     | 37.0785   | 81.0646     | 31.7968   |
|                               | coif2       | 1000x1000  |                         | 87.8459     | 37.9079   | 84.9576     | 32.2302   |
|                               | coif3       | 1000x1000  |                         | 87.6377     | 38.0726   | 85.8666     | 32.3334   |
|                               | coif1       | 1500x1500  |                         | 199.9815    | 39.3728   | 192.9669    | 33.9192   |
|                               | coif2       | 1500x1500  |                         | 205.7565    | 40.0758   | 205.5463    | 34.55     |
|                               | coif3       | 1500x1500  |                         | 205.5536    | 40.1594   | 205.3207    | 34.7942   |
|                               | coif1       | 500x500    | 55                      | 23.2095     | 28.8077   | 20.7755     | 26.1772   |
|                               | coif2       | 500x500    |                         | 25.8559     | 29.4387   | 20.4312     | 26.2352   |
|                               | coif3       | 500x500    |                         | 24.9701     | 29.7126   | 20.5895     | 26.3353   |
|                               | coif1       | 1000x1000  |                         | 95.1024     | 34.732    | 93.6595     | 29.6589   |
|                               | coif2       | 1000x1000  |                         | 94.3926     | 35.4738   | 92.4911     | 29.9532   |
|                               | coif3       | 1000x1000  |                         | 97.7433     | 35.7395   | 87.6051     | 30.1378   |
|                               | coif1       | 1500x1500  |                         | 220.0982    | 37.1105   | 209.6408    | 31.6492   |
|                               | coif2       | 1500x1500  |                         | 218.5059    | 37.7501   | 209.7272    | 32.2482   |
|                               | coif3       | 1500x1500  |                         | 221.378     | 37.9109   | 210.5116    | 32.4812   |
|                               | coif1       | 500x500    | 70                      | 26.2402     | 25.7387   | 22.0946     | 24.2953   |
|                               | coif2       | 500x500    |                         | 28.7767     | 26.4343   | 22.0643     | 24.4714   |
|                               | coif3       | 500x500    |                         | 27.1919     | 26.7204   | 22.3289     | 24.5358   |
|                               | coif1       | 1000x1000  |                         | 101.8877    | 31.7612   | 93.2731     | 27.4082   |
|                               | coif2       | 1000x1000  |                         | 102.3041    | 32.3738   | 94.561      | 27.5663   |
|                               | coif3       | 1000x1000  |                         | 100.8172    | 32.5167   | 97.4958     | 27.6289   |
|                               | coif1       | 1500x1500  |                         | 234.1268    | 34.1918   | 224.2228    | 29.1631   |
|                               | coif2       | 1500x1500  |                         | 232.8295    | 34.7929   | 225.1199    | 29.5935   |
|                               | coif3       | 1500x1500  |                         | 247.5867    | 34.9865   | 221.5395    | 29.7932   |
|                               | coif1       | 500x500    | 85                      | 28.9118     | 20.9825   | 23.8731     | 21.0358   |
|                               | coif2       | 500x500    |                         | 30.2377     | 21.4282   | 23.4412     | 21.3744   |
|                               | coif3       | 500x500    |                         | 27.3064     | 21.4649   | 24.3715     | 21.4402   |
|                               | coif1       | 1000x1000  |                         | 107.7914    | 25.4981   | 101.4734    | 23.4692   |
|                               | coif2       | 1000x1000  |                         | 108.8008    | 26.043    | 102.9791    | 23.5521   |
|                               | coif3       | 1000x1000  |                         | 112.4013    | 26.2477   | 101.773     | 23.6323   |
|                               | coif1       | 1500x1500  |                         | 257.9144    | 27.2994   | 240.4779    | 24.4783   |
|                               | coif2       | 1500x1500  |                         | 260.0123    | 27.6735   | 245.4393    | 24.547    |
|                               | coif3       | 1500x1500  |                         | 261.2121    | 27.6868   | 245.5352    | 24.5958   |

Tabela 4: MRI rekonstrukcija sa Coiflet familijom, TV minimizacija

| 25 iteracija, TV minimizacija |             |            |                         | Mozak       |           | Koljeno     |           |
|-------------------------------|-------------|------------|-------------------------|-------------|-----------|-------------|-----------|
| Wavelet familija              | Wavelet tip | Rezolucija | Nedostajući pikseli (%) | Vrijeme (s) | PSNR (dB) | Vrijeme (s) | PSNR (dB) |
| Symlets                       | sym1        | 500x500    | 40                      | 23.2415     | 29.8382   | 20.2077     | 27.3185   |
|                               | sym3        | 500x500    |                         | 24.549      | 31.8751   | 19.9059     | 27.9538   |
|                               | sym6        | 500x500    |                         | 23.1609     | 32.2855   | 19.8267     | 28.1381   |
|                               | sym1        | 1000x1000  |                         | 96.1492     | 35.4756   | 72.1929     | 30.805    |
|                               | sym3        | 1000x1000  |                         | 87.8723     | 37.6612   | 69.3645     | 32.085    |
|                               | sym6        | 1000x1000  |                         | 87.2855     | 38.0399   | 69.8733     | 32.3828   |
|                               | sym1        | 1500x1500  |                         | 219.7054    | 37.702    | 165.2928    | 32.5606   |
|                               | sym3        | 1500x1500  |                         | 205.8269    | 39.8416   | 160.4568    | 34.2844   |
|                               | sym6        | 1500x1500  |                         | 205.8326    | 40.1858   | 160.0357    | 34.7306   |
|                               | sym1        | 500x500    |                         | 24.0101     | 27.4418   | 22.3857     | 25.4585   |
|                               | sym3        | 500x500    |                         | 23.4547     | 29.1345   | 20.3737     | 26.0898   |
|                               | sym6        | 500x500    |                         | 23.894      | 29.6423   | 21.3069     | 26.3619   |
|                               | sym1        | 1000x1000  |                         | 98.649      | 33.0216   | 75.6545     | 28.7342   |
|                               | sym3        | 1000x1000  |                         | 93.2988     | 35.2751   | 74.009      | 29.817    |
| 70                            | sym6        | 1000x1000  |                         | 94.2854     | 35.612    | 75.2678     | 30.0508   |
|                               | sym1        | 1500x1500  |                         | 238.3966    | 35.7851   | 213.7528    | 30.4776   |
|                               | sym3        | 1500x1500  |                         | 225.9488    | 37.5278   | 197.5451    | 31.9972   |
|                               | sym6        | 1500x1500  |                         | 221.4068    | 37.92     | 180.9722    | 32.4692   |
|                               | sym1        | 500x500    |                         | 25.729      | 24.2997   | 22.5145     | 23.5033   |
|                               | sym3        | 500x500    |                         | 25.4206     | 26.0665   | 22.0994     | 24.3438   |
|                               | sym6        | 500x500    |                         | 25.4666     | 26.5489   | 23.1475     | 24.5635   |
|                               | sym1        | 1000x1000  |                         | 101.3874    | 29.9535   | 80.5264     | 26.5437   |
|                               | sym3        | 1000x1000  |                         | 98.4999     | 32.1352   | 80.0459     | 27.4416   |
|                               | sym6        | 1000x1000  |                         | 100.8223    | 32.6052   | 80.2794     | 27.7138   |
|                               | sym1        | 1500x1500  |                         | 235.257     | 32.6056   | 216.653     | 28.1954   |
|                               | sym3        | 1500x1500  |                         | 229.5093    | 34.5272   | 216.6975    | 29.3621   |
|                               | sym6        | 1500x1500  |                         | 244.1863    | 34.8613   | 220.8604    | 29.6717   |
|                               | sym1        | 500x500    |                         | 27.7044     | 20.0836   | 24.9876     | 20.5178   |
|                               | sym3        | 500x500    |                         | 28.8883     | 21.2291   | 24.783      | 21.2583   |
|                               | sym6        | 500x500    |                         | 27.5154     | 21.3183   | 24.3802     | 21.4801   |
| 85                            | sym1        | 1000x1000  |                         | 104.4091    | 24.307    | 84.5481     | 22.8513   |
|                               | sym3        | 1000x1000  |                         | 105.8009    | 25.7627   | 86.5574     | 23.5328   |
|                               | sym6        | 1000x1000  |                         | 105.7253    | 26.0355   | 87.3365     | 23.6246   |
|                               | sym1        | 1500x1500  |                         | 253.6208    | 26.387    | 232.9158    | 24.0198   |
|                               | sym3        | 1500x1500  |                         | 254.473     | 27.5235   | 222.0971    | 24.4801   |
|                               | sym6        | 1500x1500  |                         | 249.9025    | 27.672    | 235.1688    | 24.6424   |

Tabela 5: MRI rekonstrukcija sa Symlet familijom, TV minimizacija

Posmatrajući tabele 3-5, možemo doći do opštег zaključka da PSNR ima tendenciju slabog rasta sa povećanjem broja nestajućih momenata. Taj rast je minoran i dominantno je međusobna razlika oko 1 dB. Sve tri familije su dale približno iste rezultate, sa relativno zanemarljivim razlikama. U poređenju sa rezultatima kada se koristila DCT, rezultati sa wavelet-ima su dali nešto bolji PSNR (u prosjeku bolji za par decibela), dok je korišćenje wavelet-a bilo blago vremenski zahtjevnije nego korišćenje DCT domena. Kada je u pitanju jako veliko oštećenje od 85%, PSNR je stalno veći od 20 dB, dok je za najveću testiranu rezoluciju čak i blizu 30 dB, što su jako dobri rezultati, uzevši u obzir koliko je oštećenje u pitanju. Primjetno je da kod najvećeg oštećenja od 85%, rekonstruisana slika gubi detalje koje je imao original, i da je primjetno zamućenje slike.



(a) 55% oštećenja (b) Rekonstrukcija (c) 55% oštećenja (d) Rekonstrukcija

Slika 5.5: Primjeri MRI rekonstrukcije koristeći TV minimizaciju

Vizuelni prikaz rekonstrukcije je dat na slici 5.5, gdje je korišćena rezolucija 1000x1000 i 'db8' wavelet. Isto kao za prethodne tri tabele, sada će biti izloženi i diskutovani rezultati rekonstrukcije koristeći  $\ell_{21}$ -normu na mjestu TV minimizacije.

| 25 iteracija, $\ell_{21}$ -norma |             |            |                         | Mozak       |           | Koljeno     |           |
|----------------------------------|-------------|------------|-------------------------|-------------|-----------|-------------|-----------|
| Wavelet familija                 | Wavelet tip | Rezolucija | Nedostajući pikseli (%) | Vrijeme (s) | PSNR (dB) | Vrijeme (s) | PSNR (dB) |
| Daubechies                       | db2         | 500x500    | 40                      | 8.0752      | 31.5747   | 7.5009      | 28.8958   |
|                                  | db5         | 500x500    |                         | 6.8402      | 32.6477   | 5.8024      | 29.1129   |
|                                  | db8         | 500x500    |                         | 7.5106      | 32.6516   | 7.5488      | 29.187    |
|                                  | db2         | 1000x1000  |                         | 14.8896     | 38.5394   | 13.9332     | 33.9359   |
|                                  | db5         | 1000x1000  |                         | 15.3978     | 40.635    | 14.9335     | 35.3705   |
|                                  | db8         | 1000x1000  | 55                      | 15.7314     | 41.7835   | 15.1067     | 35.3864   |
|                                  | db2         | 1500x1500  |                         | 40.1917     | 42.1024   | 37.0128     | 37.4883   |
|                                  | db5         | 1500x1500  |                         | 39.9107     | 45.0076   | 37.86       | 39.1691   |
|                                  | db8         | 1500x1500  |                         | 41.1661     | 45.039    | 37.8837     | 39.8531   |
|                                  | db2         | 500x500    | 70                      | 6.3833      | 27.5244   | 7.4446      | 26.3952   |
|                                  | db5         | 500x500    |                         | 6.5762      | 28.4365   | 6.1404      | 26.5955   |
|                                  | db8         | 500x500    |                         | 6.0919      | 28.8058   | 6.2276      | 26.599    |
|                                  | db2         | 1000x1000  |                         | 14.5458     | 33.3217   | 15.2614     | 30.1859   |
|                                  | db5         | 1000x1000  |                         | 15.6858     | 34.7192   | 14.475      | 31.1063   |
|                                  | db8         | 1000x1000  | 85                      | 15.1791     | 34.7537   | 15.5776     | 31.1278   |
|                                  | db2         | 1500x1500  |                         | 40.2883     | 35.7816   | 38.4518     | 31.2942   |
|                                  | db5         | 1500x1500  |                         | 40.5817     | 37.3221   | 38.0384     | 32.0478   |
|                                  | db8         | 1500x1500  |                         | 41.2144     | 37.3556   | 38.2124     | 32.3712   |
|                                  | db2         | 500x500    |                         | 5.7531      | 23.6698   | 5.6933      | 23.3895   |
|                                  | db5         | 500x500    | 70                      | 7.1684      | 24.4824   | 5.6196      | 23.6821   |
|                                  | db8         | 500x500    |                         | 6.9469      | 24.494    | 5.6949      | 23.6982   |
|                                  | db2         | 1000x1000  |                         | 15.2885     | 26.4564   | 14.5129     | 23.7883   |
|                                  | db5         | 1000x1000  |                         | 15.5839     | 27.4126   | 14.2573     | 24.1505   |
|                                  | db8         | 1000x1000  |                         | 15.3751     | 27.6229   | 14.6695     | 24.1895   |
|                                  | db2         | 1500x1500  | 85                      | 38.1003     | 25.989    | 37.2926     | 21.7542   |
|                                  | db5         | 1500x1500  |                         | 37.0948     | 26.9163   | 36.9634     | 21.9032   |
|                                  | db8         | 1500x1500  |                         | 37.2159     | 26.9185   | 37.7206     | 21.9843   |
|                                  | db2         | 500x500    |                         | 7.4617      | 18.0892   | 6.127       | 16.9584   |
|                                  | db5         | 500x500    |                         | 6.987       | 18.2775   | 5.9011      | 17.0573   |
|                                  | db8         | 500x500    | 85                      | 6.4868      | 18.4112   | 5.9779      | 17.2625   |
|                                  | db2         | 1000x1000  |                         | 15.4698     | 17.6552   | 15.1643     | 15.5564   |
|                                  | db5         | 1000x1000  |                         | 15.6214     | 17.7644   | 13.896      | 15.5616   |
|                                  | db8         | 1000x1000  |                         | 15.7487     | 17.7677   | 14.7129     | 15.5621   |
|                                  | db2         | 1500x1500  |                         | 37.4974     | 16.839    | 39.9998     | 14.5216   |
|                                  | db5         | 1500x1500  | 85                      | 36.9337     | 16.9454   | 38.5348     | 14.6094   |
|                                  | db8         | 1500x1500  |                         | 37.207      | 16.9712   | 38.7412     | 14.6115   |

Tabela 6: MRI rekonstrukcija sa Daubechies familijom,  $\ell_{21}$ -norma

| 25 iteracija, $\ell_{21}$ – norma |             |            |                         | Mozak       |           | Koljeno     |           |
|-----------------------------------|-------------|------------|-------------------------|-------------|-----------|-------------|-----------|
| Wavelet familija                  | Wavelet tip | Rezolucija | Nedostajući pikseli (%) | Vrijeme (s) | PSNR (dB) | Vrijeme (s) | PSNR (dB) |
| Coiflets                          | coif1       | 500x500    | 40                      | 6.347       | 31.3183   | 6.7171      | 28.716    |
|                                   | coif2       | 500x500    |                         | 6.2376      | 32.456    | 6.9141      | 29.1055   |
|                                   | coif3       | 500x500    |                         | 6.1949      | 32.527    | 6.7316      | 29.2161   |
|                                   | coif1       | 1000x1000  |                         | 13.8344     | 38.7774   | 16.4308     | 33.9503   |
|                                   | coif2       | 1000x1000  |                         | 15.4584     | 41.4543   | 15.937      | 35.1544   |
|                                   | coif3       | 1000x1000  | 55                      | 14.5846     | 41.529    | 15.729      | 35.3918   |
|                                   | coif1       | 1500x1500  |                         | 39.6651     | 42.3723   | 41.7922     | 37.738    |
|                                   | coif2       | 1500x1500  |                         | 37.2636     | 44.7438   | 37.4756     | 39.4068   |
|                                   | coif3       | 1500x1500  |                         | 38.4139     | 45.1199   | 38.1781     | 39.9669   |
|                                   | coif1       | 500x500    | 85                      | 5.9033      | 27.5916   | 7.7253      | 26.163    |
|                                   | coif2       | 500x500    |                         | 5.6233      | 28.5233   | 7.5351      | 26.624    |
|                                   | coif3       | 500x500    |                         | 6.1256      | 28.5561   | 6.7878      | 26.7407   |
|                                   | coif1       | 1000x1000  |                         | 14.6811     | 33.2233   | 15.7035     | 29.9441   |
|                                   | coif2       | 1000x1000  |                         | 15.3881     | 34.7922   | 16.1706     | 30.6561   |
|                                   | coif3       | 1000x1000  | 70                      | 15.0702     | 35.1112   | 16.7059     | 30.9714   |
|                                   | coif1       | 1500x1500  |                         | 39.7886     | 35.7416   | 38.7506     | 31.3858   |
|                                   | coif2       | 1500x1500  |                         | 39.149      | 36.8653   | 37.7816     | 32.4025   |
|                                   | coif3       | 1500x1500  |                         | 38.0946     | 37.1507   | 37.4906     | 32.6249   |
|                                   | coif1       | 500x500    | 85                      | 6.1591      | 23.6937   | 6.4006      | 23.362    |
|                                   | coif2       | 500x500    |                         | 6.1674      | 24.1741   | 7.5744      | 23.6753   |
|                                   | coif3       | 500x500    |                         | 6.2518      | 24.3484   | 6.5051      | 23.7971   |
|                                   | coif1       | 1000x1000  |                         | 14.2572     | 26.7968   | 15.7921     | 23.5982   |
|                                   | coif2       | 1000x1000  |                         | 15.2391     | 27.4663   | 17.8419     | 23.9827   |
|                                   | coif3       | 1000x1000  | 70                      | 14.8912     | 27.8304   | 16.2431     | 24.0416   |
|                                   | coif1       | 1500x1500  |                         | 36.937      | 26.0662   | 37.6918     | 21.8025   |
|                                   | coif2       | 1500x1500  |                         | 38.0114     | 26.6869   | 38.1815     | 22.0168   |
|                                   | coif3       | 1500x1500  |                         | 38.1794     | 26.8514   | 38.1779     | 22.0199   |
|                                   | coif1       | 500x500    |                         | 6.3843      | 18.2398   | 7.4047      | 17.2491   |
|                                   | coif2       | 500x500    | 85                      | 5.5713      | 18.2912   | 7.9778      | 17.3446   |
|                                   | coif3       | 500x500    |                         | 6.1104      | 18.4731   | 7.0003      | 17.3929   |
|                                   | coif1       | 1000x1000  |                         | 14.8135     | 17.6621   | 15.8914     | 15.5394   |
|                                   | coif2       | 1000x1000  |                         | 14.8671     | 17.7888   | 15.9274     | 15.664    |
|                                   | coif3       | 1000x1000  |                         | 14.4943     | 17.8263   | 17.1345     | 15.6861   |
|                                   | coif1       | 1500x1500  | 85                      | 36.9604     | 16.8307   | 36.9201     | 14.456    |
|                                   | coif2       | 1500x1500  |                         | 37.4302     | 16.9286   | 37.6743     | 14.6005   |
|                                   | coif3       | 1500x1500  |                         | 37.653      | 16.9584   | 37.797      | 14.6165   |

Tabela 7: MRI rekonstrukcija sa Coiflet familijom,  $\ell_{21}$ -norma

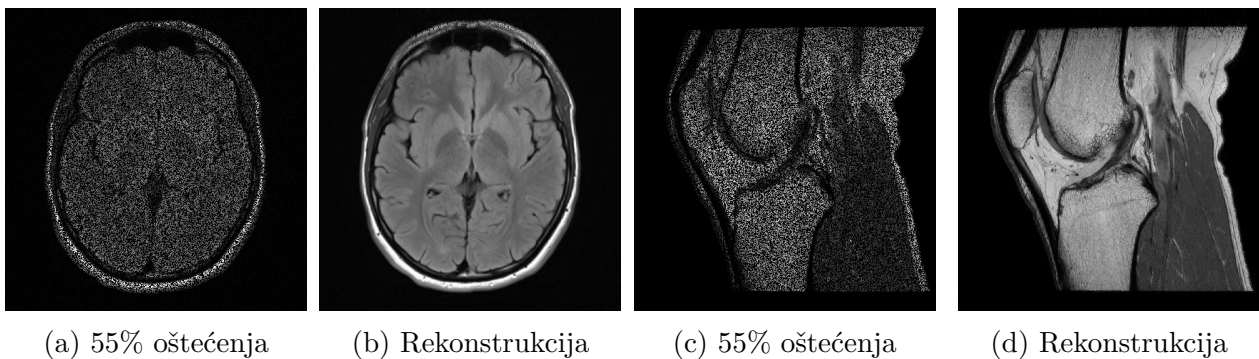
| 25 iteracija, $\ell_{21}$ -norma |             |            |                         | Mozak       |           | Koljeno     |           |
|----------------------------------|-------------|------------|-------------------------|-------------|-----------|-------------|-----------|
| Wavelet familija                 | Wavelet tip | Rezolucija | Nedostajući pikseli (%) | Vrijeme (s) | PSNR (dB) | Vrijeme (s) | PSNR (dB) |
| Symlets                          | sym1        | 500x500    | 40                      | 6.0178      | 28.7076   | 6.4966      | 27.5383   |
|                                  | sym3        | 500x500    |                         | 6.3429      | 31.707    | 6.1238      | 28.9225   |
|                                  | sym6        | 500x500    |                         | 5.9709      | 32.89     | 6.7925      | 29.2292   |
|                                  | sym1        | 1000x1000  |                         | 14.7554     | 33.6854   | 15.2469     | 31.5425   |
|                                  | sym3        | 1000x1000  |                         | 15.461      | 40.1877   | 17.5489     | 34.6044   |
|                                  | sym6        | 1000x1000  |                         | 15.4771     | 42.3042   | 15.7904     | 35.4854   |
|                                  | sym1        | 1500x1500  |                         | 38.9246     | 36.2853   | 38.5933     | 33.7898   |
|                                  | sym3        | 1500x1500  |                         | 37.7051     | 43.8604   | 38.7677     | 38.751    |
|                                  | sym6        | 1500x1500  |                         | 37.9279     | 45.1699   | 40.2772     | 39.7686   |
|                                  | sym1        | 500x500    |                         | 5.6123      | 25.4342   | 6.8716      | 25.0899   |
|                                  | sym3        | 500x500    |                         | 5.8256      | 27.9927   | 6.8453      | 26.4651   |
|                                  | sym6        | 500x500    |                         | 7.3196      | 28.732    | 7.5833      | 26.7121   |
|                                  | sym1        | 1000x1000  |                         | 13.8487     | 29.8758   | 14.5705     | 28.3414   |
|                                  | sym3        | 1000x1000  |                         | 14.364      | 33.9095   | 15.0309     | 30.4046   |
| 70                               | sym6        | 1000x1000  |                         | 14.9561     | 34.9403   | 15.4373     | 31.0345   |
|                                  | sym1        | 1500x1500  |                         | 38.3279     | 31.9222   | 38.8269     | 28.9363   |
|                                  | sym3        | 1500x1500  |                         | 37.2606     | 36.2295   | 39.8541     | 31.9478   |
|                                  | sym6        | 1500x1500  |                         | 37.9422     | 37.13     | 39.4225     | 32.4661   |
|                                  | sym1        | 500x500    |                         | 5.9172      | 22.1485   | 6.7381      | 22.0674   |
|                                  | sym3        | 500x500    |                         | 5.7422      | 24.081    | 7.1618      | 23.4757   |
|                                  | sym6        | 500x500    |                         | 6.4339      | 24.823    | 6.5127      | 23.9059   |
|                                  | sym1        | 1000x1000  |                         | 15.162      | 24.4453   | 14.4215     | 22.6287   |
|                                  | sym3        | 1000x1000  |                         | 14.6968     | 27.2269   | 14.9587     | 23.6783   |
|                                  | sym6        | 1000x1000  |                         | 15.0357     | 27.7289   | 15.4082     | 24.1121   |
|                                  | sym1        | 1500x1500  |                         | 37.175      | 24.1747   | 39.193      | 21.0214   |
|                                  | sym3        | 1500x1500  |                         | 37.0549     | 26.4603   | 40.0121     | 21.9007   |
|                                  | sym6        | 1500x1500  |                         | 37.1424     | 26.9925   | 38.9087     | 22.0338   |
| 85                               | sym1        | 500x500    |                         | 5.8359      | 17.5272   | 6.2946      | 16.1994   |
|                                  | sym3        | 500x500    |                         | 5.7064      | 18.1348   | 6.7365      | 17.3118   |
|                                  | sym6        | 500x500    |                         | 6.0608      | 18.362    | 6.8019      | 17.3477   |
|                                  | sym1        | 1000x1000  |                         | 14.7287     | 17.1674   | 18.2056     | 15.2969   |
|                                  | sym3        | 1000x1000  |                         | 14.352      | 17.755    | 16.2413     | 15.5687   |
|                                  | sym6        | 1000x1000  |                         | 14.0732     | 17.7715   | 15.9152     | 15.6828   |
|                                  | sym1        | 1500x1500  |                         | 37.4594     | 16.4772   | 39.1128     | 14.3753   |
|                                  | sym3        | 1500x1500  |                         | 37.6981     | 16.9106   | 38.893      | 14.5943   |
|                                  | sym6        | 1500x1500  |                         | 37.2528     | 16.9693   | 40.3615     | 14.6194   |

Tabela 8: MRI rekonstrukcija sa Symlet familijom,  $\ell_{21}$ -norma

Ako bismo poredili tablele 6-8 sa tabelama 3-5, došli bismo do par zaključaka. Kada je u pitanju manje oštećenje slike od 40%, korišćenje  $\ell_{21}$ -norme daje bolji kvalitet rekonstrukcije, jer je PSNR u prosjeku veći za 4-5 dB u osnosu na slučaj kada se koristi TV minimizacija, što nije slučaj za veća oštećenja od 70% i 85%. U tim slučajevima, PSNR je manji u odnosu na slučaj kada se koristila TV minimizacija, sa razlikom od skoro 10 dB. Kod velikog oštećenja, pri korišćenju  $\ell_{21}$ -norme je primjetna značajna degradacija slike, gdje je PSNR dominantno manji od 20 dB, pa je zamućenje slike izraženije. Uočljiva je drastična razlika u vremenskim perfomansama, gdje je izvršavanje ADMM-a koristeći  $\ell_{21}$ -normu mnogo brže u odnosu na TV minimizaciju, čak i 4-5 puta.

Analogno slikama predstavljenim slikom 5.5, isti detalji važe i za slike predstavljene slikom 5.6. Vizuelno poređenje slika na 5.5 i 5.6 dovodi do zaključka da su ivice slika bolje očuvane kada se koristi TV minimizacija.

Sveopšti zaključak bi bio da korišćenje TV minimizacije daje bolji kvalitet rekonstrukcije, po štetu vremena, jer je korišćenje  $\ell_{21}$ -norme vremenski efikasnije.

Slika 5.6: Primjeri MRI rekonstrukcije koristeći  $\ell_{21}$ -normu

## 5.2 X-ray

Slike koje će biti korišćene u narednoj analizi date su na slikama 5.7 i 5.8.

Slika 5.7: X-ray pluća<sup>6</sup>Slika 5.8: X-ray kuka<sup>7</sup>

Broj iteracija ADMM pristupa je postavljen na 25, kao i u slučaju analize MRI.

### Transformacioni domen - DCT

Rezultati primjene ADMM pristupa nad oštećenim X-ray slikama, posredstvom TV minimizacije, dati su u tabeli 9.

Analogno zaključcima kod analize MRI rekonstrukcije, i ovdje je vidljivo da sa porstom rezolucije slike, raste i PSNR i vrijeme izvršavanja ADMM-a. Kvalitet rekonstrukcije je za oštećenja do 70% dominantno veći od 30 dB, ili u neposrednoj blizini te vrijednosti, što znači da je rekonstrukcija produkovala slike zadovoljavajućeg kvaliteta. Kod znatnog oštećenja od

<sup>6</sup>Slika preuzeta sa stranice <https://radiopaedia.org/cases/dense-hilum-sign-lung-cancer?lang=us> dana 01.02.2023. godine

<sup>7</sup>Slika preuzeta sa stranice <https://radiopaedia.org/articles/synovial-herniation-pit-1> dana 01.02.2023. godine

| 25 iteracija, TV minimizacija |       |            |                         |             |           |
|-------------------------------|-------|------------|-------------------------|-------------|-----------|
| Slike                         | Domen | Rezolucija | Nedostajući pikseli (%) | Vrijeme (s) | PSNR (dB) |
| Pluća                         | DCT   | 500x500    | 40                      | 20.7097     | 34.2567   |
|                               |       | 1000x1000  |                         | 91.0502     | 37.4494   |
|                               |       | 1500x1500  |                         | 219.8582    | 39.5207   |
|                               |       | 500x500    | 55                      | 22.1895     | 32.4257   |
|                               |       | 1000x1000  |                         | 94.6457     | 35.4334   |
|                               |       | 1500x1500  |                         | 226.712     | 37.4494   |
|                               |       | 500x500    | 70                      | 23.0016     | 30.5077   |
|                               |       | 1000x1000  |                         | 98.5077     | 33.6537   |
|                               |       | 1500x1500  |                         | 241.9482    | 35.3675   |
|                               |       | 500x500    | 85                      | 23.072      | 22.8244   |
|                               |       | 1000x1000  |                         | 99.8214     | 23.4682   |
|                               |       | 1500x1500  |                         | 267.4658    | 23.5718   |
| Kuk                           | DCT   | 500x500    | 40                      | 18.9343     | 31.3991   |
|                               |       | 1000x1000  |                         | 77.4072     | 33.9155   |
|                               |       | 1500x1500  |                         | 181.2924    | 35.2719   |
|                               |       | 500x500    | 55                      | 18.7999     | 29.9615   |
|                               |       | 1000x1000  |                         | 79.0358     | 32.3432   |
|                               |       | 1500x1500  |                         | 190.141     | 33.4948   |
|                               |       | 500x500    | 70                      | 20.3423     | 28.4022   |
|                               |       | 1000x1000  |                         | 80.5192     | 30.6457   |
|                               |       | 1500x1500  |                         | 189.6434    | 31.7085   |
|                               |       | 500x500    | 85                      | 18.6354     | 23.5278   |
|                               |       | 1000x1000  |                         | 82.6023     | 24.3413   |
|                               |       | 1500x1500  |                         | 190.9827    | 24.8979   |

Tabela 9: Rezultati X-ray rekonstrukcije, sa korišćenim DCT domenom i TV minimizacijom

85%, primjetan je drastičan pad kvaliteta rekonstrukcije, reda do 10 dB. Kod ovih rekonstruisanih slika je primjetno zamagljenje i gubitak detalja. U prosjeku je vrijeme izvršavanja nešto duže u odnosu na vrijeme izvršavanja ADMM-a kod MRI rekonstrukcije.

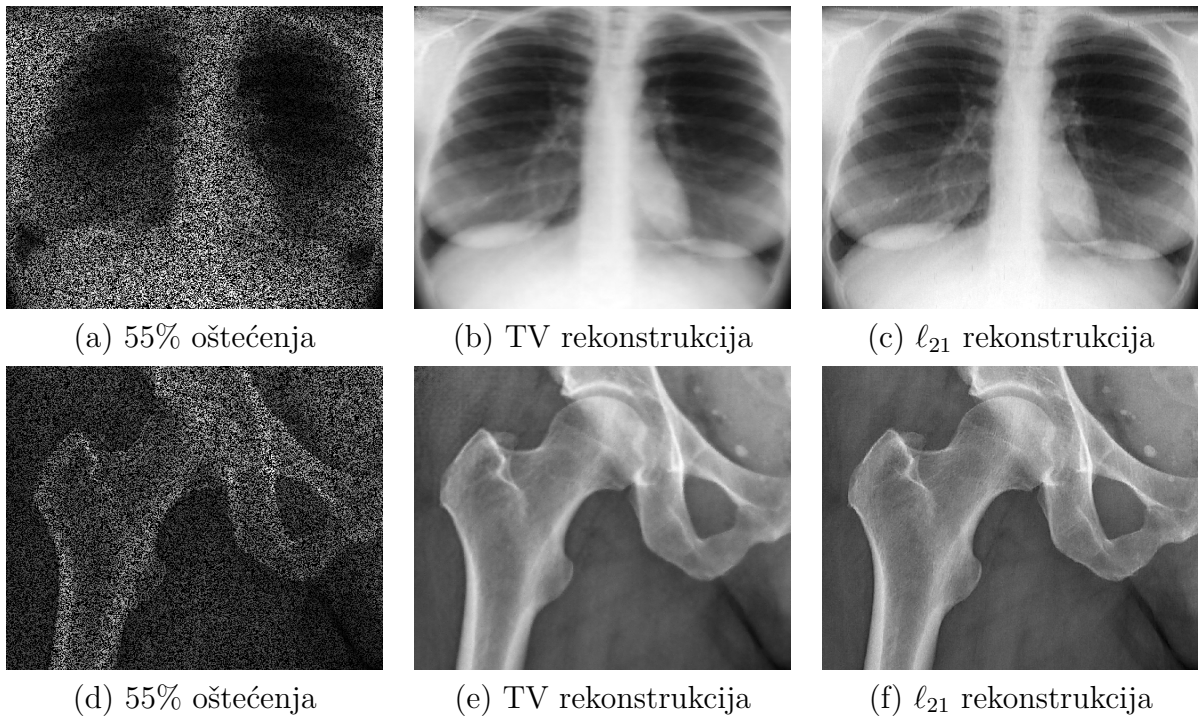
U tabeli 10 su prezentovani rezultati testiranja ADMM pristupa nad oštećenim X-ray slikama koristeći  $\ell_{21}$ -normu, umjesto TV minimizacije.

| 25 iteracija, $\ell_{21}$ -norma |       |            |                         |             |           |
|----------------------------------|-------|------------|-------------------------|-------------|-----------|
| Slike                            | Domen | Rezolucija | Nedostajući pikseli (%) | Vrijeme (s) | PSNR (dB) |
| Pluća                            | DCT   | 500x500    | 40                      | 3.6665      | 43.4748   |
|                                  |       | 1000x1000  |                         | 10.3892     | 47.8988   |
|                                  |       | 1500x1500  |                         | 29.5278     | 47.9113   |
|                                  |       | 500x500    | 55                      | 4.9613      | 39.4549   |
|                                  |       | 1000x1000  |                         | 10.1556     | 39.6407   |
|                                  |       | 1500x1500  |                         | 30.7132     | 40.1419   |
|                                  |       | 500x500    | 70                      | 4.698       | 28.8873   |
|                                  |       | 1000x1000  |                         | 10.9074     | 17.9361   |
|                                  |       | 1500x1500  |                         | 30.1975     | 14.6371   |
|                                  |       | 500x500    | 85                      | 3.5042      | 13.2129   |
|                                  |       | 1000x1000  |                         | 11.8906     | 10.5572   |
|                                  |       | 1500x1500  |                         | 30.5708     | 9.4455    |
| Kuk                              | DCT   | 500x500    | 40                      | 4.3906      | 32.7393   |
|                                  |       | 1000x1000  |                         | 9.9869      | 38.7268   |
|                                  |       | 1500x1500  |                         | 28.8359     | 43.797    |
|                                  |       | 500x500    | 55                      | 3.888       | 30.7456   |
|                                  |       | 1000x1000  |                         | 10.6936     | 35.956    |
|                                  |       | 1500x1500  |                         | 29.905      | 37.5386   |
|                                  |       | 500x500    | 70                      | 3.9046      | 29.0405   |
|                                  |       | 1000x1000  |                         | 10.485      | 28.0659   |
|                                  |       | 1500x1500  |                         | 30.3262     | 22.4011   |
|                                  |       | 500x500    | 85                      | 3.3784      | 19.3874   |
|                                  |       | 1000x1000  |                         | 11.7641     | 15.5066   |
|                                  |       | 1500x1500  |                         | 29.6524     | 13.7528   |

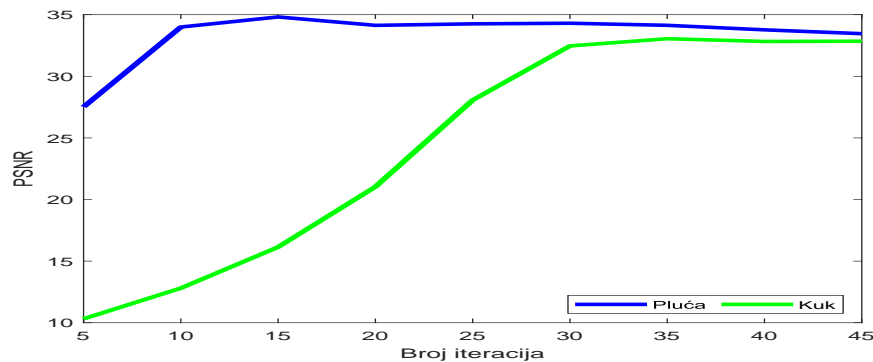
Tabela 10: Rezultati X-ray rekonstrukcije, sa korišćenim DCT domenom i  $\ell_{21}$ -normom

Kao i u slučaju rekonstrukcije MRI, vrijeme izvršavanja ADMM-a koristeći  $\ell_{21}$ -normu je neuporedivo kraće u odnosu na vrijeme izvršavanja koristeći TV minimizaciju. Bitna razli-

ka u odnosu na rezultate iz tabele 9 jeste vrijednost PSNR-a za oštećenja od 70% i 85%. U tabeli 10 PSNR za pomenuta oštećenja ima konstantan trend pada, dok je u tableli 9 ima trend rasta. Sami rezultati, koji imaju trend pada, su loši i rekonstruisane slike nijesu zadovoljavajućeg kvaliteta. Vizuelni primjeri rekonstrukcije, gdje je korišćena 1000x1000 rezolucija, su dati na slici 5.9. Na slici 5.10 je za sliku pluća korišćena 500x500 rezolucija sa TV minimizacijom i oštećenjem od 40%, dok je za sliku kuka korišćena 1000x1000 rezolucija, sa  $\ell_{21}$ -normom i oštećenjem od 70%. Zasićenje se postiže između 25 i 30 iteracija, što je istovjetno sa zaključkom kod MRI rekonstrukcije.



Slika 5.9: Oštećene i rekonstruisane X-ray slike



Slika 5.10: Rast vrijednosti PSNR-a u zavisnosti od porasta broja iteracija

## Transformacioni domen - DWT

Ista analiza koja je bila sprovedena u slučaju DWT domena kod MRI rekonstrukcije, biće sprovedena i kod X-ray rekonstrukcije. Biće testirane iste familije i tipovi wavelet-a nad oštećenim slikama promjenljive rezolucije i stepena oštećenja, sa dva optimizaciona algoritma.

U tabelama 11, 12 i 13 su dati rezultati rekonstrukcije koristeći TV minimizaciju. Kod Daubechies i Coiflet familije, primjetan je konstantan, ali minoran rast PSNR-a u vrijednosti koja je većinom manja od 1 dB. Sami rezultati su za oštećenja manja od 85% dominantno veći od 30 dB, što su jako dobri rezultati. Kod Symlet familije je malo drugačije ponašanje, jer za oštećenja od 40% i 55% ima isti trend rasta kao i Daubechies i Coiflet, ali kod oštećenja od 70% i 85% ima konstantan trend pada vrijednosti PSNR-a, bez obzira na rezoluciju.

| 25 iteracija, TV minimizacija |             |            |                         | Pluća       |           | Kuk         |           |
|-------------------------------|-------------|------------|-------------------------|-------------|-----------|-------------|-----------|
| Wavelet familija              | Wavelet tip | Rezolucija | Nedostajući pikseli (%) | Vrijeme (s) | PSNR (dB) | Vrijeme (s) | PSNR (dB) |
| Daubechies                    | db2         | 500x500    | 40                      | 25.9055     | 35.6619   | 24.8578     | 31.2289   |
|                               | db5         | 500x500    |                         | 24.9425     | 36.0431   | 25.6188     | 31.3343   |
|                               | db8         | 500x500    |                         | 24.6163     | 36.0697   | 27.8729     | 31.4338   |
|                               | db2         | 1000x1000  |                         | 92.6252     | 38.2731   | 92.4331     | 33.7061   |
|                               | db5         | 1000x1000  |                         | 93.7353     | 38.4412   | 94.9049     | 34.0175   |
|                               | db8         | 1000x1000  |                         | 90.5919     | 38.5971   | 95.1694     | 34.0186   |
|                               | db2         | 1500x1500  |                         | 215.8487    | 39.8119   | 214.8361    | 34.9775   |
|                               | db5         | 1500x1500  |                         | 216.5078    | 39.9165   | 212.8934    | 35.1063   |
|                               | db8         | 1500x1500  |                         | 212.7719    | 39.9481   | 186.3548    | 35.117    |
|                               | db2         | 500x500    | 55                      | 26.4195     | 32.9734   | 26.1598     | 29.3333   |
|                               | db5         | 500x500    |                         | 26.498      | 33.8894   | 27.9142     | 29.7233   |
|                               | db8         | 500x500    |                         | 26.7537     | 33.8911   | 25.7819     | 29.7935   |
|                               | db2         | 1000x1000  |                         | 95.8306     | 35.6227   | 98.6412     | 32.0379   |
|                               | db5         | 1000x1000  |                         | 100.059     | 36.0756   | 100.82      | 32.3489   |
|                               | db8         | 1000x1000  |                         | 98.2091     | 36.1597   | 100.2753    | 32.3529   |
|                               | db2         | 1500x1500  |                         | 229.8333    | 37.5096   | 228.9706    | 33.2839   |
|                               | db5         | 1500x1500  |                         | 233.3164    | 37.5121   | 232.8939    | 33.3533   |
|                               | db8         | 1500x1500  |                         | 237.3434    | 37.5165   | 231.5596    | 33.3721   |
|                               | db2         | 500x500    | 70                      | 28.3987     | 29.4913   | 27.7916     | 27.2464   |
|                               | db5         | 500x500    |                         | 28.1135     | 30.4551   | 27.6079     | 27.7163   |
|                               | db8         | 500x500    |                         | 28.016      | 30.8708   | 28.0854     | 27.8077   |
|                               | db2         | 1000x1000  |                         | 100.6963    | 31.5815   | 103.5272    | 29.5012   |
|                               | db5         | 1000x1000  |                         | 105.3868    | 33.2968   | 106.4965    | 30.3722   |
|                               | db8         | 1000x1000  |                         | 105.2681    | 33.5024   | 106.2557    | 30.4711   |
|                               | db2         | 1500x1500  |                         | 257.5619    | 33.7565   | 238.6726    | 31.0151   |
|                               | db5         | 1500x1500  |                         | 261.8716    | 34.1191   | 238.8739    | 31.4719   |
|                               | db8         | 1500x1500  |                         | 259.0448    | 34.5607   | 230.4461    | 31.4914   |
|                               | db2         | 500x500    | 85                      | 29.2314     | 21.5426   | 27.5857     | 22.4153   |
|                               | db5         | 500x500    |                         | 29.0705     | 22.7767   | 29.3347     | 23.0428   |
|                               | db8         | 500x500    |                         | 29.8078     | 22.7864   | 26.3453     | 23.0487   |
|                               | db2         | 1000x1000  |                         | 106.2222    | 22.0139   | 109.7219    | 23.7374   |
|                               | db5         | 1000x1000  |                         | 109.9529    | 23.5469   | 111.8896    | 24.5464   |
|                               | db8         | 1000x1000  |                         | 106.7043    | 23.5911   | 111.2251    | 24.5556   |
|                               | db2         | 1500x1500  |                         | 267.6487    | 22.85     | 239.3089    | 24.4613   |
|                               | db5         | 1500x1500  |                         | 268.9978    | 23.4464   | 244.7449    | 24.759    |
|                               | db8         | 1500x1500  |                         | 265.9354    | 23.4802   | 244.7943    | 24.88     |

Tabela 11: X-ray rekonstrukcija sa Dubechies familijom, TV minimizacija

| 25 iteracija, TV minimizacija |             |            |                         | Pluća       |           | Kuk         |           |
|-------------------------------|-------------|------------|-------------------------|-------------|-----------|-------------|-----------|
| Wavelet familija              | Wavelet tip | Rezolucija | Nedostajući pikseli (%) | Vrijeme (s) | PSNR (dB) | Vrijeme (s) | PSNR (dB) |
| Coiflets                      | coif1       | 500x500    | 40                      | 24.4144     | 35.9891   | 25.161      | 31.3449   |
|                               | coif2       | 500x500    |                         | 26.8173     | 36.2004   | 29.4731     | 31.4795   |
|                               | coif3       | 500x500    |                         | 24.4991     | 36.2169   | 25.2986     | 31.5296   |
|                               | coif1       | 1000x1000  |                         | 91.7897     | 38.5307   | 96.0214     | 33.9252   |
|                               | coif2       | 1000x1000  |                         | 94.2324     | 38.6242   | 96.5633     | 34.0239   |
|                               | coif3       | 1000x1000  |                         | 93.3271     | 38.6266   | 96.565      | 34.0313   |
|                               | coif1       | 1500x1500  |                         | 228.4472    | 39.9605   | 223.8683    | 35.0703   |
|                               | coif2       | 1500x1500  |                         | 230.1793    | 40.1009   | 213.4922    | 35.1263   |
|                               | coif3       | 1500x1500  |                         | 229.9234    | 40.1104   | 212.1724    | 35.1494   |
|                               | coif1       | 500x500    |                         | 26.1633     | 33.733    | 26.1958     | 29.5415   |
|                               | coif2       | 500x500    |                         | 25.4957     | 33.899    | 25.9354     | 29.758    |
|                               | coif3       | 500x500    |                         | 25.494      | 33.9051   | 28.7555     | 29.889    |
|                               | coif1       | 1000x1000  |                         | 85.8562     | 36.2618   | 101.6047    | 32.2395   |
|                               | coif2       | 1000x1000  |                         | 86.6009     | 36.3282   | 103.9366    | 32.2995   |
| 70                            | coif3       | 1000x1000  |                         | 87.2037     | 36.3316   | 104.2214    | 32.3264   |
|                               | coif1       | 1500x1500  |                         | 241.4127    | 37.7522   | 235.5926    | 33.3131   |
|                               | coif2       | 1500x1500  |                         | 236.2254    | 37.895    | 239.4703    | 33.3759   |
|                               | coif3       | 1500x1500  |                         | 237.2353    | 37.9012   | 241.2062    | 33.3776   |
|                               | coif1       | 500x500    |                         | 26.0819     | 30.6185   | 27.5397     | 27.5851   |
|                               | coif2       | 500x500    |                         | 25.8634     | 31.0596   | 27.8843     | 27.7172   |
|                               | coif3       | 500x500    |                         | 27.9524     | 31.1434   | 29.4211     | 27.7449   |
|                               | coif1       | 1000x1000  |                         | 88.9518     | 33.0522   | 108.8965    | 30.2819   |
|                               | coif2       | 1000x1000  |                         | 89.2114     | 33.0618   | 108.3669    | 30.2948   |
|                               | coif3       | 1000x1000  |                         | 89.7219     | 33.0764   | 107.8773    | 30.3003   |
|                               | coif1       | 1500x1500  |                         | 246.4602    | 34.605    | 246.462     | 31.3675   |
|                               | coif2       | 1500x1500  |                         | 245.9402    | 34.6153   | 245.7999    | 31.3746   |
|                               | coif3       | 1500x1500  |                         | 246.7322    | 34.6463   | 250.2638    | 31.3946   |
|                               | coif1       | 500x500    |                         | 27.547      | 22.2919   | 29.4316     | 22.6117   |
|                               | coif2       | 500x500    |                         | 27.969      | 22.371    | 30.0357     | 22.9968   |
|                               | coif3       | 500x500    |                         | 27.6081     | 22.3987   | 28.9612     | 23.0029   |
| 85                            | coif1       | 1000x1000  |                         | 105.491     | 23.046    | 113.1342    | 24.1534   |
|                               | coif2       | 1000x1000  |                         | 105.5777    | 23.0526   | 114.7355    | 24.2138   |
|                               | coif3       | 1000x1000  |                         | 108.768     | 23.06     | 114.9026    | 24.3545   |
|                               | coif1       | 1500x1500  |                         | 257.7744    | 23.2941   | 265.7783    | 24.7884   |
|                               | coif2       | 1500x1500  |                         | 264.441     | 23.3089   | 264.6809    | 24.8127   |
|                               | coif3       | 1500x1500  |                         | 262.8711    | 23.3101   | 261.17      | 24.8219   |

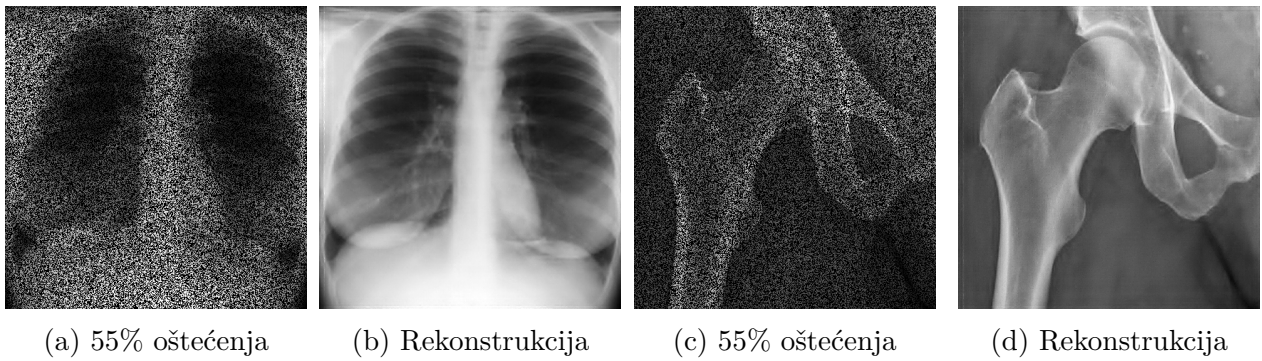
Tabela 12: X-ray rekonstrukcija sa Coiflet familijom, TV minimizacija

| 25 iteracija, TV minimizacija |             |            |                         | Pluća       |           | Kuk         |           |
|-------------------------------|-------------|------------|-------------------------|-------------|-----------|-------------|-----------|
| Wavelet familija              | Wavelet tip | Rezolucija | Nedostajući pikseli (%) | Vrijeme (s) | PSNR (dB) | Vrijeme (s) | PSNR (dB) |
| Symlets                       | sym1        | 500x500    | 40                      | 25.2531     | 35.6093   | 24.3681     | 31.157    |
|                               | sym3        | 500x500    |                         | 22.3453     | 36.14     | 24.7326     | 31.4118   |
|                               | sym6        | 500x500    |                         | 23.7336     | 36.2052   | 24.4567     | 31.4379   |
|                               | sym1        | 1000x1000  |                         | 101.239     | 38.3557   | 94.2911     | 33.8643   |
|                               | sym3        | 1000x1000  |                         | 92.3196     | 38.6642   | 91.9265     | 33.9273   |
|                               | sym6        | 1000x1000  |                         | 90.8472     | 38.7092   | 90.4313     | 33.9302   |
|                               | sym1        | 1500x1500  |                         | 250.3017    | 39.7967   | 225.4131    | 34.9034   |
|                               | sym3        | 1500x1500  |                         | 234.2068    | 40.0761   | 215.3498    | 35.0859   |
|                               | sym6        | 1500x1500  |                         | 229.6248    | 40.0839   | 212.1757    | 35.0894   |
|                               | sym1        | 500x500    |                         | 25.6659     | 33.8165   | 25.4052     | 29.5446   |
|                               | sym3        | 500x500    |                         | 24.6085     | 34.0537   | 25.4587     | 29.7457   |
|                               | sym6        | 500x500    |                         | 24.5896     | 34.16     | 25.032      | 29.7577   |
|                               | sym1        | 1000x1000  |                         | 104.4563    | 36.5692   | 101.9947    | 32.272    |
|                               | sym3        | 1000x1000  |                         | 97.8954     | 36.6433   | 97.8844     | 32.2757   |
|                               | sym6        | 1000x1000  |                         | 97.3065     | 36.7553   | 97.5379     | 32.2828   |
| 70                            | sym1        | 1500x1500  |                         | 268.1507    | 38.026    | 236.8881    | 33.3155   |
|                               | sym3        | 1500x1500  |                         | 250.5639    | 38.1095   | 232.0808    | 33.3239   |
|                               | sym6        | 1500x1500  |                         | 245.2805    | 38.1776   | 227.3537    | 33.3291   |
|                               | sym1        | 500x500    |                         | 26.466      | 31.5188   | 26.7524     | 27.7059   |
|                               | sym3        | 500x500    |                         | 26.9678     | 30.4388   | 26.6034     | 27.6601   |
|                               | sym6        | 500x500    |                         | 26.8601     | 30.2176   | 27.2612     | 27.5694   |
|                               | sym1        | 1000x1000  |                         | 117.103     | 34.3819   | 104.9668    | 30.5015   |
|                               | sym3        | 1000x1000  |                         | 108.4525    | 32.9477   | 103.8975    | 30.2347   |
|                               | sym6        | 1000x1000  |                         | 104.7958    | 32.1177   | 103.461     | 29.8453   |
|                               | sym1        | 1500x1500  |                         | 272.4397    | 35.7624   | 249.2218    | 31.6537   |
|                               | sym3        | 1500x1500  |                         | 261.9062    | 34.7467   | 241.3578    | 31.4159   |
|                               | sym6        | 1500x1500  |                         | 260.9772    | 34.1558   | 241.1193    | 31.2433   |
|                               | sym1        | 500x500    |                         | 27.1967     | 23.6586   | 28.7417     | 23.1501   |
|                               | sym3        | 500x500    |                         | 28.1294     | 22.5455   | 27.8042     | 23.0947   |
|                               | sym6        | 500x500    |                         | 27.3985     | 21.6808   | 28.2804     | 22.674    |
| 85                            | sym1        | 1000x1000  |                         | 114.3682    | 23.8926   | 111.2435    | 24.5934   |
|                               | sym3        | 1000x1000  |                         | 110.5012    | 23.1087   | 109.1209    | 24.2287   |
|                               | sym6        | 1000x1000  |                         | 112.1381    | 22.5039   | 108.9985    | 24.04     |
|                               | sym1        | 1500x1500  |                         | 273.0672    | 24.0448   | 241.5682    | 25.0596   |
|                               | sym3        | 1500x1500  |                         | 263.9671    | 23.383    | 252.0246    | 24.7949   |
|                               | sym6        | 1500x1500  |                         | 266.2742    | 22.8396   | 252.3915    | 24.543    |

Tabela 13: X-ray rekonstrukcija sa Symlet familijom, TV minimizacija

Primjeri rekonstrukcije su dati slikom 5.11, gdje je korišćena 1000x1000 rezolucija sa 'coif3' wavelet-om.

Prethodna analiza je ponovljena koristeći  $\ell_{21}$ -normu i rezultati te analize su dati u nadrednim tabelama (14-16).



Slika 5.11: Primjeri X-ray rekonstrukcije koristeći TV minimizaciju

| 25 iteracija, $\ell_{21}$ -norma |             |            |                         | Pluća       |           | Kuk         |           |
|----------------------------------|-------------|------------|-------------------------|-------------|-----------|-------------|-----------|
| Wavelet familija                 | Wavelet tip | Rezolucija | Nedostajući pikseli (%) | Vrijeme (s) | PSNR (dB) | Vrijeme (s) | PSNR (dB) |
| Daubechies                       | db2         | 500x500    | 40                      | 7.8419      | 27.3154   | 6.8861      | 26.4959   |
|                                  | db5         | 500x500    |                         | 7.338       | 29.8929   | 6.9196      | 28.7636   |
|                                  | db8         | 500x500    |                         | 6.9845      | 27.1828   | 6.4369      | 27.5097   |
|                                  | db2         | 1000x1000  |                         | 16.4928     | 27.2526   | 15.5626     | 28.7356   |
|                                  | db5         | 1000x1000  |                         | 14.6224     | 29.2962   | 15.2377     | 31.1142   |
|                                  | db8         | 1000x1000  |                         | 15.3531     | 27.8904   | 15.6735     | 30.0389   |
|                                  | db2         | 1500x1500  |                         | 40.4781     | 26.7832   | 38.9453     | 29.6856   |
|                                  | db5         | 1500x1500  |                         | 38.4223     | 27.4791   | 40.0902     | 31.328    |
|                                  | db8         | 1500x1500  |                         | 40.3392     | 26.5149   | 39.4301     | 30.7004   |
|                                  | db2         | 500x500    | 55                      | 6.9661      | 23.0943   | 6.134       | 23.6441   |
|                                  | db5         | 500x500    |                         | 6.2346      | 24.2834   | 8.2828      | 25.4524   |
|                                  | db8         | 500x500    |                         | 6.5119      | 22.3817   | 6.9626      | 24.1582   |
|                                  | db2         | 1000x1000  |                         | 15.4583     | 20.8646   | 15.7175     | 24.7788   |
|                                  | db5         | 1000x1000  |                         | 15.2321     | 20.8802   | 15.457      | 26.287    |
|                                  | db8         | 1000x1000  |                         | 16.2966     | 20.7057   | 15.4715     | 24.9609   |
|                                  | db2         | 1500x1500  |                         | 37.6571     | 18.0278   | 39.0613     | 24.3041   |
|                                  | db5         | 1500x1500  |                         | 40.2197     | 18.2593   | 39.7821     | 25.1252   |
|                                  | db8         | 1500x1500  |                         | 39.0984     | 18.0273   | 41.306      | 24.5617   |
|                                  | db2         | 500x500    | 70                      | 6.4246      | 16.9945   | 6.762       | 21.1079   |
|                                  | db5         | 500x500    |                         | 6.1436      | 17.192    | 6.712       | 21.3785   |
|                                  | db8         | 500x500    |                         | 6.6584      | 16.9755   | 6.3206      | 20.8308   |
|                                  | db2         | 1000x1000  |                         | 14.1492     | 13.8934   | 16.4958     | 19.5642   |
|                                  | db5         | 1000x1000  |                         | 14.8253     | 13.9017   | 16.7328     | 19.8979   |
|                                  | db8         | 1000x1000  |                         | 14.7576     | 13.7791   | 17.8016     | 19.499    |
|                                  | db2         | 1500x1500  |                         | 37.767      | 12.1664   | 38.1813     | 17.4188   |
|                                  | db5         | 1500x1500  |                         | 38.7103     | 12.2109   | 38.5638     | 17.6178   |
|                                  | db8         | 1500x1500  |                         | 38.3575     | 12.1478   | 39.0609     | 17.4584   |
|                                  | db2         | 500x500    | 85                      | 6.251       | 10.3025   | 6.7482      | 14.8787   |
|                                  | db5         | 500x500    |                         | 6.1591      | 10.249    | 6.1449      | 14.8808   |
|                                  | db8         | 500x500    |                         | 6.8623      | 10.2368   | 7.2259      | 14.6202   |
|                                  | db2         | 1000x1000  |                         | 15.8725     | 8.787     | 14.9171     | 12.7447   |
|                                  | db5         | 1000x1000  |                         | 14.683      | 8.7663    | 15.8536     | 12.7708   |
|                                  | db8         | 1000x1000  |                         | 15.1491     | 8.7654    | 17.2927     | 12.6408   |
|                                  | db2         | 1500x1500  |                         | 38.1957     | 8.094     | 38.1148     | 11.7175   |
|                                  | db5         | 1500x1500  |                         | 38.2154     | 8.0906    | 38.5001     | 11.7265   |
|                                  | db8         | 1500x1500  |                         | 39.0704     | 8.0616    | 38.5087     | 11.6901   |

Tabela 14: X-ray rekonstrukcija sa Daubechies familijom,  $\ell_{21}$ -norma

Daubechies familija je imala najbolje rezultate PSNR-a kod 'db5' wavelet-a, iako su svi rezultati kod 'db2'-'db8' za istu rezoluciju imali razliku na drugoj decimali. Coiflet familija je imala stalan trend rasta PSNR-a, mada je i kod nje ta razlika dominantno vidljiva tek na drugoj decimali. Za obje familije je karakteristična i činjenica da PSNR opada sa porastom rezolucije.

Ponašanje Symlet familije se drastično razlikuje u odnosu na ostale dvije, jer bilježi konstantan pad za svaki wavelet, bez obzira na rezoluciju, tako da je u ovoj varijanti dala najgore rezultate u poređenju sa Daubechies i Coiflet familijama.

Poređenje sa tabelama 11-13 kada je korišćena TV minimizacija iziskuje zaključak da su rezultati mnogo bolji nego kada je korišćena  $\ell_{21}$ -norma, dominantno su imali trend rasta,

| 25 iteracija, $\ell_{21}$ -norma |             |            |                         | Pluća       |           | Kuk         |           |
|----------------------------------|-------------|------------|-------------------------|-------------|-----------|-------------|-----------|
| Wavelet familija                 | Wavelet tip | Rezolucija | Nedostajući pikseli (%) | Vrijeme (s) | PSNR (dB) | Vrijeme (s) | PSNR (dB) |
| Coiflets                         | coif1       | 500x500    | 40                      | 6.7668      | 27.7768   | 6.3185      | 26.3677   |
|                                  | coif2       | 500x500    |                         | 7.4131      | 28.3585   | 6.4743      | 26.5979   |
|                                  | coif3       | 500x500    |                         | 6.367       | 28.4453   | 5.9384      | 26.5988   |
|                                  | coif1       | 1000x1000  |                         | 16.6981     | 27.7847   | 13.2254     | 28.5041   |
|                                  | coif2       | 1000x1000  |                         | 15.9578     | 28.1131   | 13.2653     | 28.7077   |
|                                  | coif3       | 1000x1000  |                         | 15.5505     | 28.1598   | 13.3473     | 29.0849   |
|                                  | coif1       | 1500x1500  |                         | 38.7857     | 26.7735   | 33.8388     | 29.2896   |
|                                  | coif2       | 1500x1500  |                         | 39.3109     | 26.7825   | 34.4516     | 29.6867   |
|                                  | coif3       | 1500x1500  |                         | 38.8373     | 26.8305   | 34.352      | 29.7452   |
|                                  | coif1       | 500x500    |                         | 7.004       | 23.1236   | 5.8187      | 23.2473   |
|                                  | coif2       | 500x500    |                         | 6.8195      | 23.4109   | 5.6874      | 23.5575   |
|                                  | coif3       | 500x500    |                         | 6.5315      | 23.4533   | 6.5324      | 23.7409   |
|                                  | coif1       | 1000x1000  |                         | 16.2359     | 20.9061   | 14.1444     | 24.3463   |
|                                  | coif2       | 1000x1000  |                         | 16.4348     | 21.1838   | 14.2897     | 24.6027   |
| 85                               | coif3       | 1000x1000  |                         | 15.328      | 21.198    | 14.5981     | 24.6297   |
|                                  | coif1       | 1500x1500  |                         | 38.5691     | 18.022    | 33.63       | 24.0089   |
|                                  | coif2       | 1500x1500  |                         | 40.5574     | 18.0781   | 34.3258     | 24.184    |
|                                  | coif3       | 1500x1500  |                         | 39.6483     | 18.0932   | 33.0277     | 24.3019   |
|                                  | coif1       | 500x500    |                         | 6.8428      | 17.0492   | 5.9645      | 20.384    |
|                                  | coif2       | 500x500    |                         | 6.2624      | 17.2499   | 6.2172      | 20.4051   |
|                                  | coif3       | 500x500    |                         | 6.8211      | 17.2692   | 5.8396      | 20.733    |
|                                  | coif1       | 1000x1000  |                         | 16.9413     | 13.8998   | 13.9662     | 19.3714   |
|                                  | coif2       | 1000x1000  |                         | 16.2406     | 13.9541   | 13.8768     | 19.4806   |
|                                  | coif3       | 1000x1000  |                         | 15.8276     | 13.9683   | 13.5611     | 19.5051   |
|                                  | coif1       | 1500x1500  |                         | 39.3933     | 12.137    | 33.3453     | 17.3493   |
|                                  | coif2       | 1500x1500  |                         | 40.4966     | 12.1976   | 34.9202     | 17.3888   |
|                                  | coif3       | 1500x1500  |                         | 39.8331     | 12.2172   | 34.495      | 17.3898   |
|                                  | coif1       | 500x500    |                         | 6.4144      | 10.3098   | 5.9446      | 14.6608   |
|                                  | coif2       | 500x500    |                         | 6.4109      | 10.3821   | 5.6066      | 14.7442   |
|                                  | coif3       | 500x500    |                         | 6.2523      | 10.3915   | 5.7327      | 14.7504   |
| Symlets                          | sym1        | 1000x1000  |                         | 15.6324     | 8.7913    | 13.7741     | 12.6957   |
|                                  | sym2        | 1000x1000  |                         | 15.4058     | 8.826     | 14.0709     | 12.7032   |
|                                  | sym3        | 1000x1000  |                         | 15.9803     | 8.8361    | 13.5499     | 12.7086   |
|                                  | sym1        | 1500x1500  |                         | 40.2966     | 8.0786    | 33.7223     | 11.679    |
|                                  | sym2        | 1500x1500  |                         | 39.1775     | 8.0822    | 33.0059     | 11.6862   |
|                                  | sym3        | 1500x1500  |                         | 39.7691     | 8.0873    | 34.794      | 11.7008   |

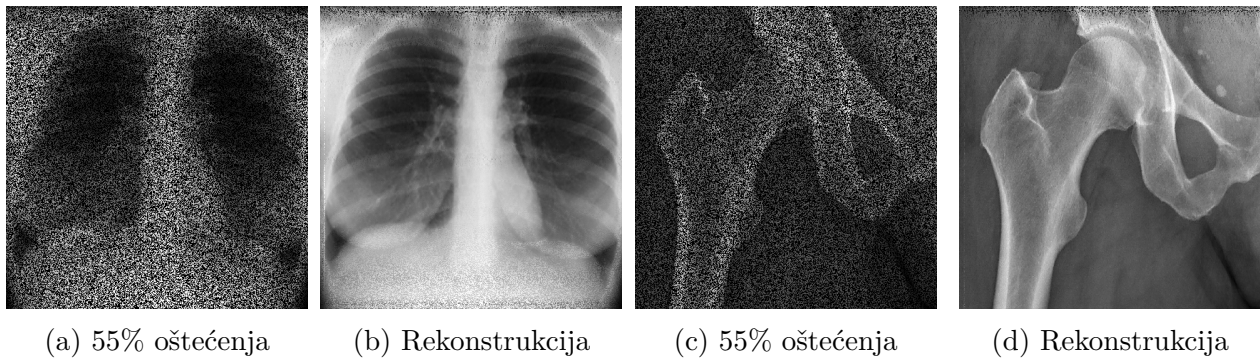
Tabela 15: X-ray rekonstrukcija sa Coiflet familijom,  $\ell_{21}$ -norma

| 25 iteracija, $\ell_{21}$ -norma |             |            |                         | Pluća       |           | Kuk         |           |
|----------------------------------|-------------|------------|-------------------------|-------------|-----------|-------------|-----------|
| Wavelet familija                 | Wavelet tip | Rezolucija | Nedostajući pikseli (%) | Vrijeme (s) | PSNR (dB) | Vrijeme (s) | PSNR (dB) |
| Symlets                          | sym1        | 500x500    | 40                      | 5.7514      | 31.5043   | 6.5604      | 29.9884   |
|                                  | sym2        | 500x500    |                         | 5.7873      | 28.4111   | 6.0704      | 26.3228   |
|                                  | sym3        | 500x500    |                         | 7.2291      | 27.7967   | 6.9996      | 26.2893   |
|                                  | sym1        | 1000x1000  |                         | 14.4943     | 31.9848   | 12.7617     | 33.2414   |
|                                  | sym2        | 1000x1000  |                         | 14.7908     | 27.9842   | 15.3576     | 28.6008   |
|                                  | sym3        | 1000x1000  |                         | 15.1333     | 27.9108   | 14.4232     | 28.4469   |
|                                  | sym1        | 1500x1500  |                         | 40.6773     | 28.4127   | 35.7571     | 32.8895   |
|                                  | sym2        | 1500x1500  |                         | 39.7626     | 26.847    | 36.3168     | 29.5427   |
|                                  | sym3        | 1500x1500  |                         | 39.9054     | 26.7533   | 36.9453     | 29.4669   |
|                                  | sym1        | 500x500    |                         | 5.5706      | 25.0942   | 7.5734      | 26.3878   |
|                                  | sym2        | 500x500    |                         | 6.8466      | 23.4515   | 5.6722      | 23.3082   |
|                                  | sym3        | 500x500    |                         | 7.5377      | 22.991    | 6.6109      | 23.2149   |
|                                  | sym1        | 1000x1000  |                         | 14.2309     | 21.4684   | 13.4047     | 27.1686   |
|                                  | sym2        | 1000x1000  |                         | 15.4277     | 21.045    | 14.4851     | 24.6636   |
| 85                               | sym3        | 1000x1000  |                         | 14.1029     | 20.9768   | 14.1024     | 24.4799   |
|                                  | sym1        | 1500x1500  |                         | 39.7639     | 18.1966   | 36.8921     | 25.3754   |
|                                  | sym2        | 1500x1500  |                         | 40.2178     | 18.0216   | 36.0826     | 24.1631   |
|                                  | sym3        | 1500x1500  |                         | 40.4719     | 18.0138   | 36.9848     | 24.1134   |
|                                  | sym1        | 500x500    |                         | 6.8969      | 17.1543   | 6.0181      | 22.3428   |
|                                  | sym2        | 500x500    |                         | 5.8316      | 17.1395   | 5.6148      | 20.7136   |
|                                  | sym3        | 500x500    |                         | 5.7173      | 17.1127   | 6.4395      | 20.5847   |
|                                  | sym1        | 1000x1000  |                         | 14.9988     | 13.8627   | 14.3526     | 19.9247   |
|                                  | sym2        | 1000x1000  |                         | 15.1473     | 13.8466   | 14.6586     | 19.4398   |
|                                  | sym3        | 1000x1000  |                         | 16.1412     | 13.8306   | 16.3398     | 19.3885   |
|                                  | sym1        | 1500x1500  |                         | 39.4034     | 12.1582   | 36.9331     | 17.5182   |
|                                  | sym2        | 1500x1500  |                         | 40.0743     | 12.1349   | 37.4765     | 17.3769   |
|                                  | sym3        | 1500x1500  |                         | 39.7627     | 12.1295   | 37.7811     | 17.3702   |
|                                  | sym1        | 500x500    |                         | 6.1048      | 10.26     | 5.7806      | 14.84     |
|                                  | sym2        | 500x500    |                         | 6.6352      | 10.2102   | 7.0965      | 14.7252   |
|                                  | sym3        | 500x500    |                         | 6.2103      | 10.1945   | 5.6751      | 14.7188   |
|                                  | sym1        | 1000x1000  |                         | 14.4922     | 8.7739    | 14.5999     | 12.6847   |
|                                  | sym2        | 1000x1000  |                         | 14.2843     | 8.6916    | 14.5371     | 12.678    |
|                                  | sym3        | 1000x1000  |                         | 15.3565     | 8.6665    | 14.5221     | 12.6261   |
|                                  | sym1        | 1500x1500  |                         | 37.1181     | 8.0646    | 36.5549     | 11.7094   |
|                                  | sym2        | 1500x1500  |                         | 38.7562     | 8.0411    | 36.8691     | 11.6891   |
|                                  | sym3        | 1500x1500  |                         | 41.2653     | 8.0339    | 38.1481     | 11.6525   |

Tabela 16: X-ray rekonstrukcija sa Symlet familijom,  $\ell_{21}$ -norma

a i razlika u kvalitetu rekonstrukcije je i do 10 dB u korist korišćenja TV minimizacije. Takođe, isto kao i zaključak kod MRI rekonstrukcije, vremensko izvršavanje sa  $\ell_{21}$ -normom je neuporedivo kraće u odnosu na slučaj kada je korišćena TV minimizacija, o čemu svjedoče rezultati u tabelama.

Isto kao i u slučaju DCT domena, primjeri rekonstrukcije su dati slikom 5.12. Parametri rezolucije i wavelet-a su ostali isti kao i za sliku 5.11. Vizuelno poređenje ukazuje na superiornost korišćenja TV minimizacije u ADMM pristupu pri rekonstrukciji X-ray slika, jer je u mogućnosti da sačuva detalje i ivice slike.



Slika 5.12: Primjeri X-ray rekonstrukcije koristeći  $\ell_{21}$ -normu

### 5.3 CT

U svrhe testiranja i analiziranja performansi ADMM pritupa kod rekonstrukcije CT slika, biće korišćene slike 5.13 i 5.14.



Slika 5.13: CT pelvisa<sup>8</sup>



Slika 5.14: CT kičme<sup>9</sup>

Kao i u prethodna dva slučaja analize rezultata MRI i X-ray rekonstrukcije, i kod CT analize je broj iteracija ADMM pristupa postavljen na 25.

<sup>8</sup>Slika preuzeta sa stranice [https://wikimsk.org/wiki/Hip\\_Osteoarthritis](https://wikimsk.org/wiki/Hip_Osteoarthritis) dana 01.02.2023. godine

<sup>9</sup>Slika preuzeta sa stranice <https://www.cedars-sinai.org/programs/imaging-center/exams/ct-scans/lumbar-spine.html> dana 01.02.2023. godine

### Transformacioni domen - DCT

U tabeli 17 su dati rezultati rada ADMM pritupa, koristivši DCT transformacioni domen i TV minimizaciju, dok su u tabeli 18 rezultati sa  $\ell_{21}$ -normom.

| 25 iteracija, TV minimizacija |       |            |                         |             |           |
|-------------------------------|-------|------------|-------------------------|-------------|-----------|
| Slike                         | Domen | Rezolucija | Nedostajući pikseli (%) | Vrijeme (s) | PSNR (dB) |
| Pelvis                        | DCT   | 500x500    | 40                      | 15.6979     | 32.4357   |
|                               |       | 1000x1000  |                         | 52.036      | 35.3323   |
|                               |       | 1500x1500  |                         | 136.2752    | 37.1528   |
|                               |       | 500x500    | 55                      | 16.0499     | 30.7673   |
|                               |       | 1000x1000  |                         | 52.8329     | 33.3619   |
|                               |       | 1500x1500  |                         | 136.3281    | 35.1215   |
|                               |       | 500x500    | 70                      | 14.879      | 28.745    |
|                               |       | 1000x1000  |                         | 52.6904     | 31.1856   |
|                               |       | 1500x1500  |                         | 137.4314    | 32.7812   |
|                               |       | 500x500    | 85                      | 15.801      | 24.1623   |
|                               |       | 1000x1000  |                         | 56.0229     | 25.6257   |
|                               |       | 1500x1500  |                         | 124.9831    | 26.3267   |
| Kičma                         | DCT   | 500x500    | 40                      | 17.7865     | 29.9193   |
|                               |       | 1000x1000  |                         | 74.5205     | 34.4347   |
|                               |       | 1500x1500  |                         | 177.6242    | 36.9567   |
|                               |       | 500x500    | 55                      | 19.902      | 27.6777   |
|                               |       | 1000x1000  |                         | 76.6312     | 32.6529   |
|                               |       | 1500x1500  |                         | 179.7924    | 35.1782   |
|                               |       | 500x500    | 70                      | 20.9004     | 26.5891   |
|                               |       | 1000x1000  |                         | 79.6396     | 30.5768   |
|                               |       | 1500x1500  |                         | 190.7463    | 33.3358   |
|                               |       | 500x500    | 85                      | 22.7681     | 23.6827   |
|                               |       | 1000x1000  |                         | 87.1842     | 25.5931   |
|                               |       | 1500x1500  |                         | 204.5476    | 26.7013   |

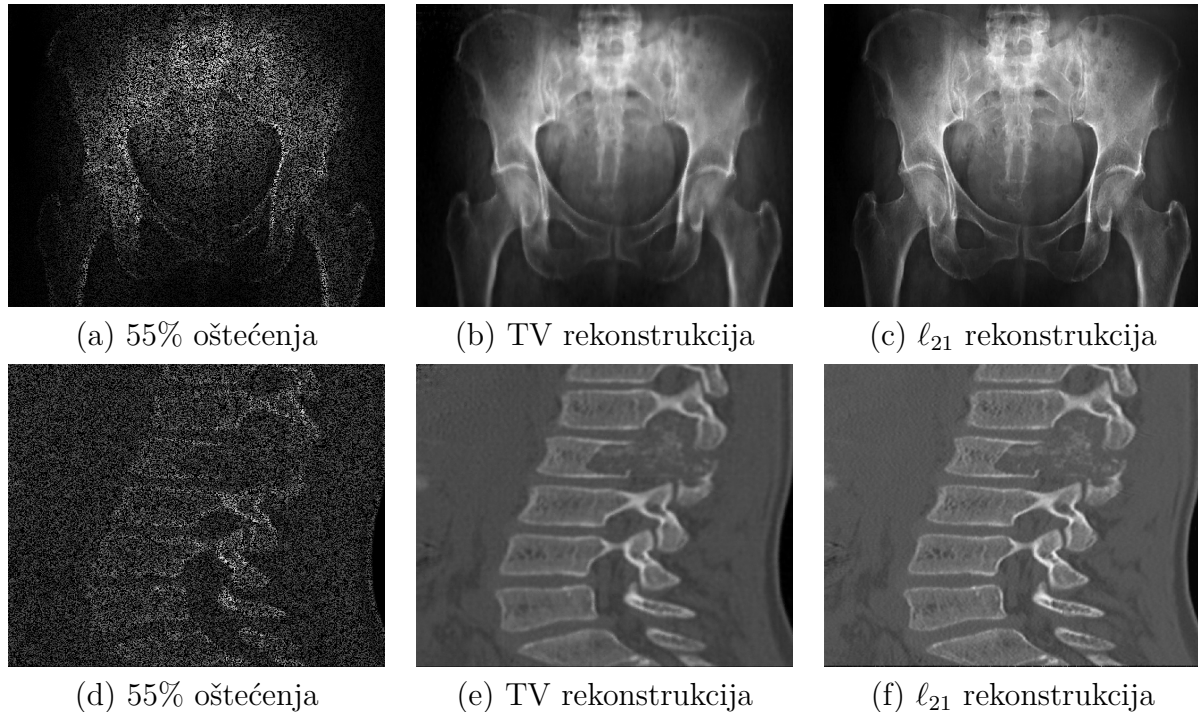
Tabela 17: Rezultati CT rekonstrukcije, sa korišćenim DCT domenom i TV minimizacijom

| 25 iteracija, $\ell_{21}$ -norma |       |            |                         |             |           |
|----------------------------------|-------|------------|-------------------------|-------------|-----------|
| Slike                            | Domen | Rezolucija | Nedostajući pikseli (%) | Vrijeme (s) | PSNR (dB) |
| Pelvis                           | DCT   | 500x500    | 40                      | 3.2323      | 37.8584   |
|                                  |       | 1000x1000  |                         | 10.8172     | 45.5927   |
|                                  |       | 1500x1500  |                         | 29.8656     | 49.6505   |
|                                  |       | 500x500    | 55                      | 3.1397      | 34.8972   |
|                                  |       | 1000x1000  |                         | 10.4259     | 40.8936   |
|                                  |       | 1500x1500  |                         | 29.7054     | 44.8991   |
|                                  |       | 500x500    | 70                      | 3.357       | 31.9374   |
|                                  |       | 1000x1000  |                         | 10.5632     | 35.1733   |
|                                  |       | 1500x1500  |                         | 30.4034     | 35.2806   |
|                                  |       | 500x500    | 85                      | 4.0067      | 24.9722   |
| Kičma                            | DCT   | 1000x1000  |                         | 10.2334     | 20.8644   |
|                                  |       | 1500x1500  |                         | 30.1328     | 18.4274   |
|                                  |       | 500x500    | 40                      | 3.7768      | 37.868    |
|                                  |       | 1000x1000  |                         | 11.5184     | 46.2981   |
|                                  |       | 1500x1500  |                         | 32.9324     | 49.9888   |
|                                  |       | 500x500    | 55                      | 3.9095      | 33.7485   |
|                                  |       | 1000x1000  |                         | 10.9299     | 40.8802   |
|                                  |       | 1500x1500  |                         | 33.1268     | 44.914    |
|                                  |       | 500x500    | 70                      | 3.455       | 30.4241   |
|                                  |       | 1000x1000  |                         | 11.0493     | 34.8637   |
|                                  |       | 1500x1500  |                         | 33.1626     | 34.8954   |
|                                  |       | 500x500    | 85                      | 3.5101      | 25.7774   |
|                                  |       | 1000x1000  |                         | 10.9937     | 22.7539   |
|                                  |       | 1500x1500  |                         | 33.5424     | 19.9538   |

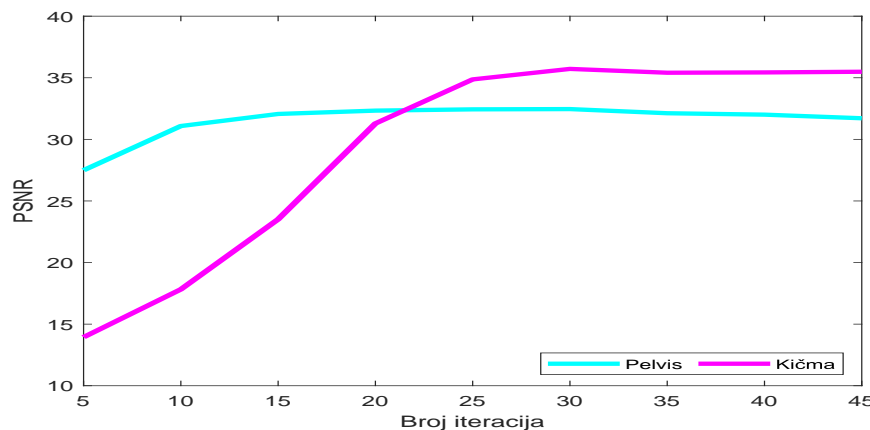
Tabela 18: Rezultati X-ray rekonstrukcije, sa korišćenim DCT domenom i  $\ell_{21}$ -normom

Kao što je iz tabele 17 vidljivo, PSNR ima stalan trend rasta sa povećanjem rezolucije slike, i kao u slučajevima sa prethodnim tipovima slika, dominantno je veći ili blizu 30 dB, što je zadovoljavajući kvalitet rekonstrukcije. Vremensko izvršavanje ADMM-a je približno

isto kao i u slučaju kod DCT domena kod MRI rekonstrukcije. U tabeli 18, PSNR raste sa porastom rezolucije za oštećenja manja od 85%, dok za oštećenje od 85% opada sa porastom rezolucije. Za niža oštećenja,  $\ell_{21}$ -norma da je bolji kvalitet rekonstrukcije, dok za viša oštećenja slike TV minimizacija daje superiorniji kvalitet. Kao i u prethodnim slučajevima sa MRI i X-ray rekonstrukcijom, brzina izvršavanja sa  $\ell_{21}$ -normom je drastično brža u odnosu na izvršavanje sa TV minimizacijom.



Slika 5.15: Oštećene i rekonstruisane CT slike



Slika 5.16: Rast vrijednosti PSNR-a u zavisnosti od porasta broja iteracija

Primjer rekonstrukcije je dat na slici 5.15. gdje su, kao i u prethodnim primjerima, korišće-

ne slike sa 1000x1000 rezolucijom. Kao i u analizi sprovedenoj kod MRI i X-ray rekonstrukcije, i kod CT rekonstrukcije je na slici 5.16 prezenotvana promjena PSNR-a u zavisnosti od broja iteracija. Za sliku pelvisa je korišćena 500x500 rezolucija sa TV minimizacijom i oštećenjem od 40%, dok je za sliku kičme korišćena 1000x1000 rezolucija, sa  $\ell_{21}$ -normom i oštećenjem od 70%. Zaključak je isti u sva tri slučaja. Nakon 25 iteracije, PSNR ulazi u zasićenje kada je promjena jako mala i gotovo neprimjetna.

### Transformacioni domen - DWT

Analogno kao i sa prethodna dva tipa slika, u naredne tri tabele (19-21) su dati rezultati CT rekonstrukcije, koristeći DWT domen i TV minimizaciju. Daubechies familija daje konstantan rast PSNR-a sa porastom rezolucije, s time što je jako mala razlika između 'db2' i 'db8' wavelet-a, dok je 'db5' davao najveći PSNR od sva tri, iako je ta razlika decimalna i dominantno manja od 1 dB. Coiflet familija takođe daje stalan rast PSNR-a sa porastom rezolucije i PSNR je za svaki naredni coiflet malo veći nego za prethodni. Ta razlika je jako mala, većinom na drugoj decimali. Kod Symlet familije je zaključak isti kao za Coiflet familiju.

Sve tri familije su dale približno iste rezultate kvaliteta rekonstrukcije, i vremensko izvrsavanje se ne razlikuje u odnosu na istu analizu kod MRI i X-ray rekonstrukcije.

| 25 iteracija, TV minimizacija |             |            |                         | Pelvis      |           | Kičma       |           |
|-------------------------------|-------------|------------|-------------------------|-------------|-----------|-------------|-----------|
| Wavelet familija              | Wavelet tip | Rezolucija | Nedostajući pikseli (%) | Vrijeme (s) | PSNR (dB) | Vrijeme (s) | PSNR (dB) |
| Daubechies                    | db2         | 500x500    | 40                      | 24.1781     | 33.1101   | 26.494      | 34.6942   |
|                               | db5         | 500x500    |                         | 26.5145     | 33.3537   | 25.324      | 35.0776   |
|                               | db8         | 500x500    |                         | 26.5646     | 33.2747   | 24.9763     | 34.6677   |
|                               | db2         | 1000x1000  |                         | 101.4865    | 35.9643   | 102.8784    | 37.8558   |
|                               | db5         | 1000x1000  |                         | 100.2013    | 36.4598   | 103.4125    | 38.2126   |
|                               | db8         | 1000x1000  |                         | 102.1578    | 36.4375   | 101.1521    | 38.1132   |
|                               | db2         | 1500x1500  |                         | 228.2922    | 37.684    | 228.4642    | 39.4284   |
|                               | db5         | 1500x1500  |                         | 227.5877    | 38.0321   | 234.8785    | 39.924    |
|                               | db8         | 1500x1500  |                         | 230.3982    | 38.025    | 235.2162    | 39.9057   |
|                               | db2         | 500x500    | 55                      | 26.9659     | 30.9299   | 27.557      | 32.3336   |
|                               | db5         | 500x500    |                         | 27.0402     | 31.2984   | 27.4105     | 32.8717   |
|                               | db8         | 500x500    |                         | 27.4852     | 31.0961   | 26.7444     | 32.2682   |
|                               | db2         | 1000x1000  |                         | 116.5468    | 33.9792   | 109.7055    | 35.7642   |
|                               | db5         | 1000x1000  |                         | 106.8573    | 34.4641   | 110.3942    | 36.0191   |
|                               | db8         | 1000x1000  |                         | 105.0887    | 34.425    | 110.3089    | 35.9392   |
|                               | db2         | 1500x1500  |                         | 230.9255    | 35.7435   | 258.3378    | 37.3292   |
|                               | db5         | 1500x1500  |                         | 232.764     | 36.0589   | 242.3084    | 37.8225   |
|                               | db8         | 1500x1500  |                         | 235.0123    | 36.0427   | 244.1908    | 37.8035   |
|                               | db2         | 500x500    | 70                      | 29.1151     | 28.6901   | 28.3077     | 29.7053   |
|                               | db5         | 500x500    |                         | 29.626      | 29.0267   | 29.3624     | 30.1981   |
|                               | db8         | 500x500    |                         | 28.5058     | 28.7805   | 27.7214     | 29.4363   |
|                               | db2         | 1000x1000  |                         | 111.1396    | 31.6156   | 117.8493    | 33.1635   |
|                               | db5         | 1000x1000  |                         | 115.3878    | 31.9901   | 115.6104    | 33.3507   |
|                               | db8         | 1000x1000  |                         | 116.4514    | 31.9189   | 118.2167    | 33.193    |
|                               | db2         | 1500x1500  |                         | 247.4045    | 33.4021   | 281.2731    | 34.8689   |
|                               | db5         | 1500x1500  |                         | 244.1576    | 33.6753   | 259.1793    | 35.1193   |
|                               | db8         | 1500x1500  |                         | 302.2471    | 33.6698   | 267.659     | 35.0885   |
|                               | db2         | 500x500    | 85                      | 30.6268     | 24.2148   | 31.6906     | 24.7352   |
|                               | db5         | 500x500    |                         | 31.615      | 24.3961   | 31.0705     | 24.8506   |
|                               | db8         | 500x500    |                         | 31.7463     | 24.2123   | 30.4588     | 24.4116   |
|                               | db2         | 1000x1000  |                         | 114.4887    | 25.9378   | 125.8113    | 26.7294   |
|                               | db5         | 1000x1000  |                         | 115.559     | 26.1334   | 122.7404    | 26.7689   |
|                               | db8         | 1000x1000  |                         | 115.2527    | 25.945    | 117.5125    | 26.6516   |
|                               | db2         | 1500x1500  |                         | 261.066     | 26.7517   | 274.0957    | 27.4829   |
|                               | db5         | 1500x1500  |                         | 259.4388    | 26.8736   | 283.2931    | 27.5657   |
|                               | db8         | 1500x1500  |                         | 261.3175    | 26.8035   | 282.9628    | 27.4599   |

Tabela 19: CT rekonstrukcija sa Daubechies familijom, TV minimizacija

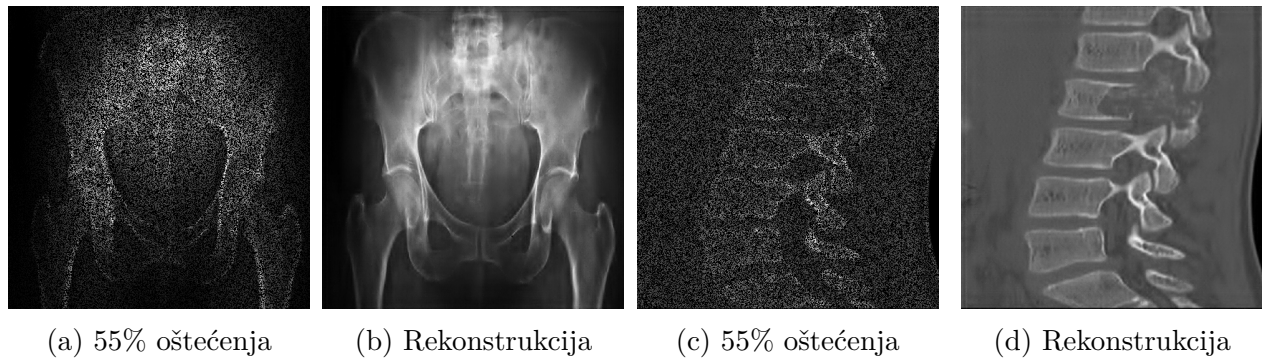
| 25 iteracija, TV minimizacija |             |            |                         | Pelvis      |           | Kičma       |           |
|-------------------------------|-------------|------------|-------------------------|-------------|-----------|-------------|-----------|
| Wavelet familija              | Wavelet tip | Rezolucija | Nedostajući pikseli (%) | Vrijeme (s) | PSNR (dB) | Vrijeme (s) | PSNR (dB) |
| Coiflets                      | coif1       | 500x500    | 40                      | 23.336      | 33.1256   | 26.12       | 34.5181   |
|                               | coif2       | 500x500    |                         | 24.4868     | 33.4817   | 26.6556     | 35.0545   |
|                               | coif3       | 500x500    |                         | 25.2319     | 33.5317   | 26.4827     | 35.0637   |
|                               | coif1       | 1000x1000  |                         | 93.3075     | 36.1135   | 96.3168     | 37.843    |
|                               | coif2       | 1000x1000  |                         | 99.7851     | 36.5031   | 96.3517     | 38.2797   |
|                               | coif3       | 1000x1000  |                         | 99.9432     | 36.5151   | 97.5736     | 38.38     |
|                               | coif1       | 1500x1500  |                         | 217.375     | 37.7468   | 223.7557    | 39.4272   |
|                               | coif2       | 1500x1500  |                         | 218.0289    | 38.0702   | 226.0236    | 40.0373   |
|                               | coif3       | 1500x1500  |                         | 217.9555    | 38.0982   | 226.0932    | 40.1735   |
|                               | coif1       | 500x500    |                         | 27.9496     | 31.0348   | 28.4115     | 32.0699   |
|                               | coif2       | 500x500    |                         | 27.6654     | 31.361    | 27.8407     | 32.6901   |
|                               | coif3       | 500x500    |                         | 28.0494     | 31.4113   | 27.1845     | 32.7368   |
|                               | coif1       | 1000x1000  |                         | 104.4249    | 34.0722   | 106.1599    | 35.7426   |
|                               | coif2       | 1000x1000  |                         | 104.8812    | 34.4146   | 107.3564    | 36.1797   |
| 70                            | coif3       | 1000x1000  |                         | 106.0208    | 34.5485   | 107.176     | 36.2671   |
|                               | coif1       | 1500x1500  |                         | 270.1784    | 35.8075   | 254.0993    | 37.4139   |
|                               | coif2       | 1500x1500  |                         | 228.8178    | 36.0801   | 248.2521    | 37.9909   |
|                               | coif3       | 1500x1500  |                         | 228.9445    | 36.1269   | 249.1449    | 38.1368   |
|                               | coif1       | 500x500    |                         | 29.2534     | 28.6807   | 29.9068     | 29.5165   |
|                               | coif2       | 500x500    |                         | 29.189      | 28.9886   | 29.7219     | 29.9217   |
|                               | coif3       | 500x500    |                         | 29.3911     | 29.0436   | 29.0383     | 30.0207   |
|                               | coif1       | 1000x1000  |                         | 111.4223    | 31.8284   | 116.1268    | 33.1272   |
|                               | coif2       | 1000x1000  |                         | 110.7519    | 32.0611   | 116.3056    | 33.5929   |
|                               | coif3       | 1000x1000  |                         | 112.8067    | 32.2317   | 113.4887    | 33.6248   |
|                               | coif1       | 1500x1500  |                         | 252.4009    | 33.3965   | 272.1159    | 34.9906   |
|                               | coif2       | 1500x1500  |                         | 250.0976    | 33.7396   | 269.8985    | 35.4349   |
|                               | coif3       | 1500x1500  |                         | 248.6367    | 33.7419   | 269.278     | 35.5212   |
|                               | coif1       | 500x500    |                         | 31.7883     | 24.372    | 31.0198     | 24.3634   |
|                               | coif2       | 500x500    |                         | 34.2146     | 24.5996   | 31.4337     | 24.6993   |
|                               | coif3       | 500x500    |                         | 34.363      | 24.6193   | 29.9378     | 24.7052   |
| 85                            | coif1       | 1000x1000  |                         | 118.4883    | 25.9901   | 117.9579    | 26.5548   |
|                               | coif2       | 1000x1000  |                         | 120.2269    | 26.1421   | 122.811     | 26.8227   |
|                               | coif3       | 1000x1000  |                         | 116.4309    | 26.1986   | 124.7524    | 26.8559   |
|                               | coif1       | 1500x1500  |                         | 271.4238    | 26.7692   | 287.987     | 27.6016   |
|                               | coif2       | 1500x1500  |                         | 279.1937    | 26.8551   | 278.6759    | 27.6325   |
|                               | coif3       | 1500x1500  |                         | 292.7471    | 26.9083   | 272.3978    | 27.6418   |

Tabela 20: CT rekonstrukcija sa Coiflet familijom, TV minimizacija

| 25 iteracija, TV minimizacija |             |            |                         | Pelvis      |           | Kičma       |           |
|-------------------------------|-------------|------------|-------------------------|-------------|-----------|-------------|-----------|
| Wavelet familija              | Wavelet tip | Rezolucija | Nedostajući pikseli (%) | Vrijeme (s) | PSNR (dB) | Vrijeme (s) | PSNR (dB) |
| Symlets                       | sym1        | 500x500    | 40                      | 24.5947     | 32.3228   | 27.9264     | 33.4001   |
|                               | sym3        | 500x500    |                         | 24.3599     | 33.34     | 25.8219     | 34.6308   |
|                               | sym6        | 500x500    |                         | 25.8465     | 33.5371   | 25.8825     | 35.0587   |
|                               | sym1        | 1000x1000  |                         | 100.1283    | 35.4508   | 102.0357    | 36.7439   |
|                               | sym3        | 1000x1000  |                         | 96.5146     | 36.3844   | 97.9426     | 37.8174   |
|                               | sym6        | 1000x1000  |                         | 97.3283     | 36.4097   | 97.9803     | 38.3262   |
|                               | sym1        | 1500x1500  |                         | 232.5678    | 37.0788   | 236.3216    | 38.2851   |
|                               | sym3        | 1500x1500  |                         | 219.8397    | 37.952    | 224.8611    | 39.802    |
|                               | sym6        | 1500x1500  |                         | 222.374     | 38.0937   | 226.087     | 40.1854   |
|                               | sym1        | 500x500    |                         | 26.6753     | 30.2743   | 28.5461     | 31.0755   |
|                               | sym3        | 500x500    |                         | 25.8808     | 31.2675   | 27.137      | 32.3201   |
|                               | sym6        | 500x500    |                         | 26.7624     | 31.2856   | 27.5391     | 32.7311   |
|                               | sym1        | 1000x1000  |                         | 108.446     | 33.5209   | 108.4628    | 34.6871   |
|                               | sym3        | 1000x1000  |                         | 101.0822    | 34.291    | 103.5095    | 36.0231   |
|                               | sym6        | 1000x1000  |                         | 101.8872    | 34.4305   | 104.3789    | 36.2768   |
| 70                            | sym1        | 1500x1500  |                         | 246.4504    | 35.0645   | 250.1156    | 36.4675   |
|                               | sym3        | 1500x1500  |                         | 234.3804    | 35.9723   | 239.8953    | 37.8456   |
|                               | sym6        | 1500x1500  |                         | 235.7171    | 36.1148   | 242.7154    | 38.0744   |
|                               | sym1        | 500x500    |                         | 28.3341     | 27.9536   | 30.2154     | 28.1205   |
|                               | sym3        | 500x500    |                         | 27.973      | 28.8981   | 29.9909     | 29.6014   |
|                               | sym6        | 500x500    |                         | 27.6781     | 29.0435   | 29.3719     | 29.6485   |
|                               | sym1        | 1000x1000  |                         | 112.8352    | 31.1612   | 112.3316    | 31.965    |
|                               | sym3        | 1000x1000  |                         | 109.4614    | 32.0062   | 109.3521    | 33.3267   |
|                               | sym6        | 1000x1000  |                         | 107.9514    | 32.1376   | 110.7035    | 33.6482   |
|                               | sym1        | 1500x1500  |                         | 254.1981    | 32.7172   | 261.4228    | 33.9256   |
|                               | sym3        | 1500x1500  |                         | 250.9058    | 33.5686   | 258.6938    | 35.3323   |
|                               | sym6        | 1500x1500  |                         | 254.4019    | 33.7701   | 262.5113    | 35.5601   |
|                               | sym1        | 500x500    |                         | 30.592      | 24.0087   | 31.8638     | 23.9109   |
|                               | sym3        | 500x500    |                         | 29.9582     | 24.3145   | 31.9254     | 24.3145   |
|                               | sym6        | 500x500    |                         | 30.2481     | 24.3893   | 32.0281     | 24.8169   |
| 85                            | sym1        | 1000x1000  |                         | 114.2473    | 25.7238   | 118.5746    | 25.6696   |
|                               | sym3        | 1000x1000  |                         | 115.9367    | 26.0196   | 117.8015    | 26.8208   |
|                               | sym6        | 1000x1000  |                         | 115.1586    | 26.143    | 118.5683    | 26.9803   |
|                               | sym1        | 1500x1500  |                         | 265.4923    | 26.5139   | 264.4991    | 26.9672   |
|                               | sym3        | 1500x1500  |                         | 263.0449    | 26.913    | 282.7961    | 27.5319   |
|                               | sym6        | 1500x1500  |                         | 264.6444    | 26.9316   | 271.9741    | 27.6386   |

Tabela 21: CT rekonstrukcija sa Symlet familijom, TV minimizacija

Slike rekonstrukcije su date slikom 5.17 gdje je korišćena 1000x1000 rezolucija sa 'sym6' wavelet-om. Primjetno je da su ivice slika dobro očuvane, što je jenda od glavnih prednosti TV minimizacije.



Slika 5.17: Primjeri CT rekonstrukcije koristeći TV minimizaciju

U naredne tri tabele (22-24) su dati rezultati CT rekonstrukcije u DWT domenu, koristeći  $\ell_{21}$ -normu. Daubechies familija se ponaša slično kao i u slučaju TV minimizacije, od tri testirana wavelet-a, 'db5' daje najveći PSNR. Razlika je u ponašanju kada je oštećenje 85%, gdje sa  $\ell_{21}$ -normom PSNR ima stalan pad, što nije bio slučaj sa TV minimizacijom. Coiflet familija da je stalan rast PSNR-a sa porastom rezolucije za sva oštećenja manja od 85%, dok za oštećenje od 85% ima blag pad sa porastom nestajućih momenata. Symlet familija je dala najkonzistentnije rezultate, jer PSNR ima stalan rast sa porastom rezolucije, bez obzira na oštećenje.

| 25 iteracija, $\ell_{21}$ -norma |             |            |                         | Pelvis      |           | Kičma       |           |
|----------------------------------|-------------|------------|-------------------------|-------------|-----------|-------------|-----------|
| Wavelet familija                 | Wavelet tip | Rezolucija | Nedostajući pikseli (%) | Vrijeme (s) | PSNR (dB) | Vrijeme (s) | PSNR (dB) |
| Daubechies                       | db2         | 500x500    | 40                      | 5.6116      | 33.3686   | 6.675       | 32.8458   |
|                                  | db5         | 500x500    |                         | 5.5311      | 34.9327   | 6.7246      | 35.3646   |
|                                  | db8         | 500x500    |                         | 5.4646      | 34.6021   | 6.272       | 32.6066   |
|                                  | db2         | 1000x1000  |                         | 15.9673     | 37.6652   | 14.9231     | 37.8367   |
|                                  | db5         | 1000x1000  |                         | 14.1751     | 40.7025   | 14.5207     | 38.7984   |
|                                  | db8         | 1000x1000  |                         | 14.4336     | 40.2941   | 14.484      | 36.3685   |
|                                  | db2         | 1500x1500  |                         | 36.2652     | 40.2283   | 37.8015     | 38.2419   |
|                                  | db5         | 1500x1500  |                         | 36.226      | 42.9183   | 38.3138     | 40.6671   |
|                                  | db8         | 1500x1500  |                         | 36.1308     | 42.7585   | 38.6834     | 38.524    |
|                                  | db2         | 500x500    | 55                      | 6.2249      | 30.4385   | 5.8333      | 29.1097   |
|                                  | db5         | 500x500    |                         | 5.2405      | 31.3568   | 8.0652      | 31.4505   |
|                                  | db8         | 500x500    |                         | 5.3719      | 31.0639   | 6.9111      | 28.3879   |
|                                  | db2         | 1000x1000  |                         | 13.3902     | 33.2249   | 14.9893     | 31.7119   |
|                                  | db5         | 1000x1000  |                         | 13.7562     | 34.7063   | 16.6912     | 32.7557   |
|                                  | db8         | 1000x1000  |                         | 14.2783     | 33.9644   | 15.6083     | 30.1975   |
|                                  | db2         | 1500x1500  |                         | 36.0544     | 34.2644   | 38.5997     | 32.11     |
|                                  | db5         | 1500x1500  |                         | 36.4692     | 35.4487   | 39.6154     | 32.8778   |
|                                  | db8         | 1500x1500  |                         | 37.3452     | 34.6089   | 39.5173     | 31.341    |
|                                  | db2         | 500x500    | 70                      | 5.9115      | 27.5761   | 6.5536      | 26.2183   |
|                                  | db5         | 500x500    |                         | 6.2777      | 27.816    | 6.4658      | 27.058    |
|                                  | db8         | 500x500    |                         | 6.1983      | 27.2062   | 6.1088      | 25.0886   |
|                                  | db2         | 1000x1000  |                         | 13.3137     | 26.4526   | 14.7511     | 27.0627   |
|                                  | db5         | 1000x1000  |                         | 15.0588     | 26.6684   | 15.4078     | 27.3177   |
|                                  | db8         | 1000x1000  |                         | 15.3599     | 26.2161   | 15.1578     | 25.6564   |
|                                  | db2         | 1500x1500  |                         | 36.3304     | 23.0757   | 37.9921     | 26.1316   |
|                                  | db5         | 1500x1500  |                         | 36.2817     | 23.0477   | 39.0508     | 26.1565   |
|                                  | db8         | 1500x1500  |                         | 37.6037     | 22.9514   | 39.4515     | 25.5139   |
|                                  | db2         | 500x500    | 85                      | 6.5676      | 19.4191   | 7.0543      | 20.7888   |
|                                  | db5         | 500x500    |                         | 5.8574      | 19.2971   | 7.0301      | 20.6674   |
|                                  | db8         | 500x500    |                         | 6.1981      | 19.1719   | 6.687       | 20.1961   |
|                                  | db2         | 1000x1000  |                         | 14.4335     | 16.4665   | 15.2847     | 18.1704   |
|                                  | db5         | 1000x1000  |                         | 14.4799     | 16.3887   | 15.1294     | 18.1388   |
|                                  | db8         | 1000x1000  |                         | 13.7605     | 16.3032   | 15.3922     | 17.8795   |
|                                  | db2         | 1500x1500  |                         | 36.6103     | 15.1003   | 38.1606     | 16.6869   |
|                                  | db5         | 1500x1500  |                         | 36.3085     | 15.0739   | 38.1612     | 16.6113   |
|                                  | db8         | 1500x1500  |                         | 36.4828     | 15.06     | 38.2753     | 16.5345   |

Tabela 22: CT rekonstrukcija sa Daubechies familijom,  $\ell_{21}$ -norma

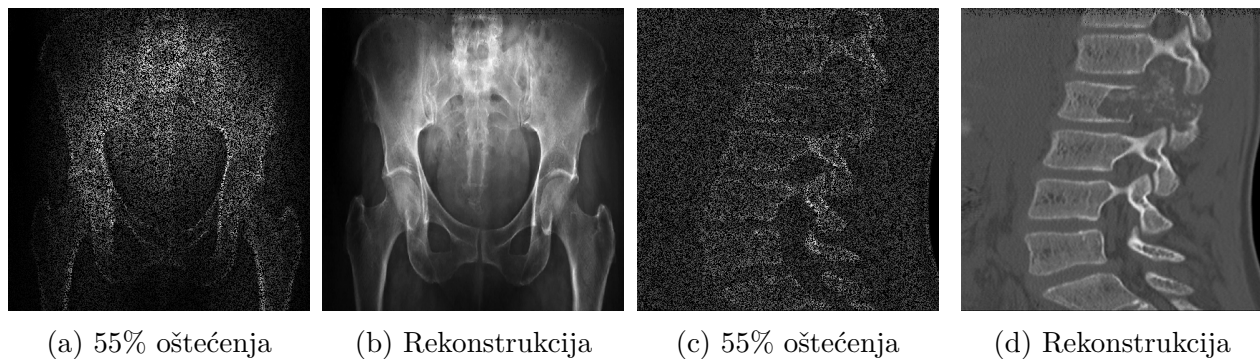
| 25 iteracija, $\ell_{21}$ -norma |             |            |                         | Pelvis      |           | Kičma       |           |
|----------------------------------|-------------|------------|-------------------------|-------------|-----------|-------------|-----------|
| Wavelet familija                 | Wavelet tip | Rezolucija | Nedostajući pikseli (%) | Vrijeme (s) | PSNR (dB) | Vrijeme (s) | PSNR (dB) |
| Coiflets                         | coif1       | 500x500    | 40                      | 5.1797      | 33.0282   | 6.6198      | 31.0571   |
|                                  | coif2       | 500x500    |                         | 6.2635      | 33.8629   | 5.7344      | 32.3102   |
|                                  | coif3       | 500x500    |                         | 5.4573      | 34.1268   | 6.0117      | 32.9991   |
|                                  | coif1       | 1000x1000  |                         | 14.3387     | 37.4094   | 14.3402     | 35.4634   |
|                                  | coif2       | 1000x1000  |                         | 14.2594     | 38.7278   | 14.5643     | 36.8932   |
|                                  | coif3       | 1000x1000  |                         | 14.9941     | 39.4205   | 14.5717     | 37.2342   |
|                                  | coif1       | 1500x1500  |                         | 36.1236     | 39.8553   | 37.1245     | 37.1589   |
|                                  | coif2       | 1500x1500  |                         | 35.9065     | 41.0175   | 38.6134     | 38.573    |
|                                  | coif3       | 1500x1500  |                         | 36.9743     | 41.0485   | 37.8757     | 39.0041   |
|                                  | coif1       | 500x500    | 55                      | 5.2825      | 29.628    | 6.043       | 27.5044   |
|                                  | coif2       | 500x500    |                         | 5.2698      | 30.2075   | 5.5837      | 28.1798   |
|                                  | coif3       | 500x500    |                         | 5.4895      | 30.4448   | 6.1433      | 28.3536   |
|                                  | coif1       | 1000x1000  |                         | 13.6309     | 32.5017   | 14.7889     | 29.7838   |
|                                  | coif2       | 1000x1000  |                         | 14.5099     | 33.3791   | 16.7603     | 30.2956   |
|                                  | coif3       | 1000x1000  | 70                      | 14.4831     | 33.5212   | 14.9826     | 30.4103   |
|                                  | coif1       | 1500x1500  |                         | 36.3369     | 33.3403   | 37.2108     | 31.0107   |
|                                  | coif2       | 1500x1500  |                         | 37.2499     | 33.8082   | 37.5444     | 31.6339   |
|                                  | coif3       | 1500x1500  |                         | 36.8145     | 33.9312   | 37.1713     | 31.646    |
|                                  | coif1       | 500x500    | 85                      | 5.8158      | 26.7408   | 5.9316      | 24.4304   |
|                                  | coif2       | 500x500    |                         | 5.7445      | 27.1084   | 6.5813      | 24.6117   |
|                                  | coif3       | 500x500    |                         | 6.3092      | 27.3562   | 6.0714      | 24.921    |
|                                  | coif1       | 1000x1000  |                         | 13.792      | 26.0078   | 14.7714     | 25.6388   |
|                                  | coif2       | 1000x1000  |                         | 14.185      | 26.1743   | 15.0118     | 25.8945   |
|                                  | coif3       | 1000x1000  |                         | 14.6772     | 26.3244   | 14.6917     | 25.9092   |
|                                  | coif1       | 1500x1500  |                         | 36.4438     | 22.9051   | 36.8266     | 25.5811   |
|                                  | coif2       | 1500x1500  |                         | 36.6196     | 22.9213   | 37.3207     | 25.7639   |
|                                  | coif3       | 1500x1500  |                         | 37.326      | 22.989    | 37.4866     | 25.7465   |
|                                  | coif1       | 500x500    |                         | 5.578       | 19.295    | 6.0758      | 20.1605   |
|                                  | coif2       | 500x500    |                         | 5.8826      | 19.351    | 5.992       | 20.306    |
|                                  | coif3       | 500x500    |                         | 5.739       | 19.4278   | 6.0532      | 20.3107   |
|                                  | coif1       | 1000x1000  | 85                      | 14.0461     | 16.4422   | 15.08       | 17.9601   |
|                                  | coif2       | 1000x1000  |                         | 14.16       | 16.3852   | 14.279      | 17.9466   |
|                                  | coif3       | 1000x1000  |                         | 14.1456     | 16.3309   | 14.8827     | 17.9008   |
|                                  | coif1       | 1500x1500  |                         | 37.1867     | 15.107    | 37.4258     | 16.5856   |
|                                  | coif2       | 1500x1500  |                         | 36.7471     | 15.0929   | 37.7802     | 16.5692   |
|                                  | coif3       | 1500x1500  |                         | 36.5435     | 15.0772   | 37.28       | 16.5525   |

Tabela 23: CT rekonstrukcija sa Coiflet familijom,  $\ell_{21}$ -norma

| 25 iteracija, $\ell_{21}$ -norma |             |            |                         | Pelvis      |           | Kičma       |           |
|----------------------------------|-------------|------------|-------------------------|-------------|-----------|-------------|-----------|
| Wavelet familija                 | Wavelet tip | Rezolucija | Nedostajući pikseli (%) | Vrijeme (s) | PSNR (dB) | Vrijeme (s) | PSNR (dB) |
| Symlets                          | sym1        | 500x500    | 40                      | 7.3531      | 33.2261   | 5.6617      | 32.0295   |
|                                  | sym3        | 500x500    |                         | 6.3523      | 33.9381   | 5.4662      | 32.0399   |
|                                  | sym6        | 500x500    |                         | 7.1719      | 34.0422   | 5.6069      | 33.7953   |
|                                  | sym1        | 1000x1000  |                         | 14.1388     | 37.1362   | 13.7869     | 35.6839   |
|                                  | sym3        | 1000x1000  |                         | 14.6337     | 38.499    | 15.1159     | 36.3094   |
|                                  | sym6        | 1000x1000  |                         | 15.3521     | 38.6042   | 14.4374     | 37.5863   |
|                                  | sym1        | 1500x1500  |                         | 38.4633     | 39.2381   | 37.2981     | 37.2633   |
|                                  | sym3        | 1500x1500  |                         | 40.3939     | 40.7042   | 37.4127     | 38.2568   |
|                                  | sym6        | 1500x1500  |                         | 37.6691     | 40.7332   | 36.9        | 38.7814   |
|                                  | sym1        | 500x500    | 55                      | 7.0551      | 30.0231   | 6.206       | 28.8845   |
|                                  | sym3        | 500x500    |                         | 6.1306      | 30.1571   | 5.5285      | 28.9601   |
|                                  | sym6        | 500x500    |                         | 5.9617      | 30.6364   | 5.8631      | 28.9883   |
|                                  | sym1        | 1000x1000  |                         | 14.3826     | 33.0001   | 14.4143     | 31.1159   |
|                                  | sym3        | 1000x1000  |                         | 14.8429     | 33.1401   | 14.7298     | 31.2017   |
|                                  | sym6        | 1000x1000  | 70                      | 15.9468     | 33.4415   | 14.8882     | 31.4581   |
|                                  | sym1        | 1500x1500  |                         | 38.6305     | 33.2304   | 37.0543     | 31.5379   |
|                                  | sym3        | 1500x1500  |                         | 39.6261     | 33.6786   | 37.5889     | 31.5963   |
|                                  | sym6        | 1500x1500  |                         | 38.9292     | 33.9997   | 36.8254     | 31.7941   |
|                                  | sym1        | 500x500    |                         | 5.7841      | 26.4929   | 5.5853      | 26.1846   |
|                                  | sym3        | 500x500    | 85                      | 6.273       | 26.8713   | 5.8214      | 26.2015   |
|                                  | sym6        | 500x500    |                         | 6.1475      | 27.2563   | 5.5873      | 26.2647   |
|                                  | sym1        | 1000x1000  |                         | 14.5816     | 25.5288   | 14.0961     | 26.399    |
|                                  | sym3        | 1000x1000  |                         | 15.6182     | 26.0591   | 14.3081     | 26.4443   |
|                                  | sym6        | 1000x1000  |                         | 15.5238     | 26.3053   | 14.8027     | 26.5535   |
|                                  | sym1        | 1500x1500  |                         | 37.9395     | 22.5036   | 36.6779     | 25.1291   |
|                                  | sym3        | 1500x1500  |                         | 39.7869     | 22.957    | 37.2069     | 25.6257   |
|                                  | sym6        | 1500x1500  |                         | 38.0939     | 22.9603   | 36.7418     | 25.7858   |
|                                  | sym1        | 500x500    |                         | 8.1038      | 18.5845   | 5.732       | 20.7473   |
|                                  | sym3        | 500x500    |                         | 8.3847      | 19.1962   | 6.2113      | 20.806    |
|                                  | sym6        | 500x500    |                         | 7.5702      | 19.3359   | 5.7468      | 20.8788   |
|                                  | sym1        | 1000x1000  | 85                      | 14.3296     | 16.2069   | 14.0991     | 18.0308   |
|                                  | sym3        | 1000x1000  |                         | 14.3732     | 16.364    | 14.6266     | 18.0512   |
|                                  | sym6        | 1000x1000  |                         | 14.4158     | 16.3703   | 14.4584     | 18.099    |
|                                  | sym1        | 1500x1500  |                         | 37.4207     | 14.9932   | 36.851      | 16.4816   |
|                                  | sym3        | 1500x1500  |                         | 37.3353     | 15.0958   | 36.7911     | 16.5435   |
|                                  | sym6        | 1500x1500  |                         | 39.6071     | 15.0977   | 37.2167     | 16.6042   |

Tabela 24: CT rekonstrukcija sa Symlet familijom,  $\ell_{21}$ -norma

Slike rekonstrukcije su date slikom 5.18. Svi parametri definisani za sliku 5.17 važe i za sliku 5.18.



Slika 5.18: Primjeri CT rekonstrukcije koristeći  $\ell_{21}$ -normu

Kao i u slučaju TV minimizacije, sve tri familije su sa  $\ell_{21}$ -normom dale približno iste međusobne rezultate. Rezultati sa TV minimizacijom su bolji, posebno kada je u pitanju veće oštećenje od 70% i 85%, gdje je razlika u odnosu na  $\ell_{21}$ -normu oko 10 dB. Kao i u slučaju MRI i X-ray rekonstrukcije, vremensko izvršavanje ADMM pristupa sa  $\ell_{21}$ -normom je mnogostruko brže u odnosu na TV minimizaciju.

## 6 Zaključak

U teorijskom dijelu ovoga rada je predstavljen i objašnjen koncept kompresivnog odabiranja, neophodnih preduslova koje određeni signal treba da zadovolji da bi kompresivno odabiranje bilo uspješno, kao i uspješnost i neophodnost primjene jednog takvog koncepta u raznim oblastima.

Jedna od oblasti u kojima kompresivno odabiranje ima široku primjenu jeste medicina. U ovom radu je koncept kompresivnog odabiranja primijenjen nad oštećenim biomedicinskim slikama (MRI, X-ray i CT). Od velikog broja algoritama i pristupa koji rješavaju problem kompresivnog odabiranja, u ovoj tezi je korišćen ADMM pristup, koji je prilagođen da bi radio sa biomedicinskim slikama, a koji je naširoko korišćen u mašinskom učenju i statistici.

Kod ADMM pristupa su korišćena dva optimizaciona algoritma: TV minimizacija i  $\ell_{21}$ -norma, u kombinaciji sa dva transformaciona domena: DCT i DWT, gdje su kod DWT domena bile posmatrane Daubechies, Coiflet i Symlet familije.

Na osnovu teorijskih očekivanja i praktičnih rezultata iz petog poglavlja, mogu se izvesti zaključci o primjeni ADMM pristupa kod biomedicinskih slika:

■ **MRI rekonstrukcija.** Kada je u pitanju DCT domen, za niža oštećenja do 55%,  $\ell_{21}$ -norma je dala veći PSNR u odnosu na TV minimizaciju, dok je za oštećenja viša od 70% veći PSNR dala TV minimizacija. ADMM pristup je u kombinaciji sa TV minimizacijom bio mnogo vremenski zahjevniji nego sa  $\ell_{21}$ -normom. Kod DWT domena, sve tri testirane familije wavelet-a su dale približno iste rezultate, koji su u prosjeku bili malo bolji u odnosu na slučaj sa DCT domenom. Za veća oštećenja korišćenje TV minimizacije je sačuvalo ivice slike, posebno sa DWT domenom, što nije slučaj kod  $\ell_{21}$ -norme.

■ **X-ray rekonstrukcija.** TV minimizacija kod DCT domena je generalno dala bolje i konzistentnije rezultate u odnosu na  $\ell_{21}$ -normu. Kao i u slučaju MRI rekonstrukcije, vremensko izvršavanje  $\ell_{21}$ -norme je mnogo brže u odnosu na vrijeme izvršavanja TV minimizacije. DWT domen je sa TV minimizacijom i svoje tri wavelet familije dao rezultate slične kao TV minimizacija sa DCT domenom. Uopšteno gledajući, rezultati koristeći TV minimizaciju su bili bolji bez obzira na domen. Za velika oštećenja slika (85%), rezultati sa  $\ell_{21}$ -normom su dali jako loše rezultate.

■ **CT rekonstrukcija.** Za niža oštećenja,  $\ell_{21}$ -norma je sa DCT domenom dala bolje rezultate nego sa TV minimizacijom, dok je TV minimizacija dala bolji PSNR kada je slučaj sa velikim oštećenjima. Analogno svim prethodnim slučajevima, vrijeme izvršavanja ADMM pristupa sa  $\ell_{21}$ -normom je daleko brže u odnosu na TV minimizaciju. Kod DWT domena, sve tri familije wavelet-a su dale međusobno bliske rezultate, s time što u slučaju većih oštećenja PSNR ima stalan pad kada se koristi  $\ell_{21}$ -norma.

Uzveši u obzir sve navedeno, sveopšti zaključak bi bio da je ADMM prisup bio uspješan pri rekonstrukciji biomedicinskih slika. Posebno dobre rezultate za velika oštećenja slika je dao u kombinaciji sa TV minimizacijom. Navedena varijanta jeste dala najbolje i najuravnoteženije vrijednosti PSNR-a po štetu vremena jer je brzina izvršavanja sa  $\ell_{21}$ -normom bila neuporedivo brža.

Glavni doprinos ovoga rada i sprovedene analize se ogleda u činjenici da pacijenti ne moraju dugo vremena biti izloženi neprijatnom i potencijalno zdravstveno riskantnom procesu, već da se taj proces može drastično skratiti, jer je ADMM pristup bio u stanju da jako uspješno rekonstruiše sliku sa velikim stepenom oštećenja. Samim tim, generisane biomedicinske slike ne moraju biti naročitog kvaliteta, mogu biti i jako oštećene. U zavisnosti od hitnosti situacije u kojoj se pacijent može naći, određeno balansiranje kvaliteta rekonstruisanih slika i vremena neophodnog za njihovu rekonstrukciju se mora obaviti.

## Literatura

- [1] Y. C. Eldar and G. Kutyniok, “Compressed Sensing: Theory and Applications,” Cambridge University Press, May 2012
- [2] S. Stanković, I. Orović and E. Sejdić, “Multimedia Signals and Systems; Basic and Advanced Algorithms for Signal Processing,” Second Edition (2015)
- [3] I. Orović, V. Papić, C. Ioana, X. Li, and S. Stanković, “Compressive Sensing in Signal Processing: Algorithms and Transform Domain Formulations,” Mathematical Problems in Engineering, Review paper, 2016
- [4] LJ. Stanković, E. Sejdić, S. Stanković, M. Daković, and I. Orović, “A Tutorial on Sparse Signal Reconstruction and its Applications in Signal Processing,” Circuits, Systems and Signal Processing, (2019) vol. 38, pp.1206–1263, DOI 10.1007/s00034-018-0909-2.
- [5] Foucart, Simon and Holger Rauhut. “A Mathematical Introduction to Compressive Sensing,” Applied and Numerical Harmonic Analysis (2013).
- [6] Holger Boche, Robert Calderbank, Gitta Kutyniok, and Jan Vybral. 2016. Compressed Sensing and its Applications: MATHEON Workshop 2013 (1st. ed.). Birkhauser Basel.
- [7] H.Taylor, S. Banks, and J. McCoy, “Deconvolution with l1 norm”, Geophysics, 44(1):39-52, 1979
- [8] Yi Yang, Heng Tao Shen, Zhigang Ma, Zi Huang, and Xiaofang Zhou, “L<sub>2,1</sub>-norm regularized discriminative feature selection for unsupervised learning”, 2011, In Proceedings of the Twenty-Second international joint conference on Artificial Intelligence - Volume Volume Two (IJCAI’11). AAAI Press, 1589–1594.
- [9] I. Orović, A. Draganić, and S. Stanković, “Compressive Sensing as a Watermarking Attack,” 21st Telecommunications Forum TELFOR 2013, Belgrade
- [10] A. Draganić, I. Orović, and S. Stanković, “Total variation based denoising of wireless signals,” Informacione Tehnologije - IT 2013, Žabljak, Feb. 2013

- [11] Manolis Lourakis (2022). TV-L1 Image Denoising Algorithm (<https://www.mathworks.com/matlabcentral/fileexchange/57604-tv-l1-image-denoising-algorithm>), MATLAB Central File Exchange. Retrieved December 8, 2022.
- [12] Vivek Upadhyaya and Dr. Mohammad Salim, “Compressive Sensing: Methods, Techniques, and Applications”, 2021 IOP Conf. Ser.: Mater. Sci. Eng. 1099 012012 DOI 10.1088/1757-899X/1099/1/012012
- [13] A. Draganić, I. Orović, and S. Stanković, “On some common compressive sensing recovery algorithms and applications - Review paper,” Facta Universitatis, Series: Electronics and Energetics, Vol 30, No 4 (2017), pp. 477-510, DOI Number 10.2298/FUEE1704477D, December 2017
- [14] Sundararajan D. The Discrete Fourier Transform : Theory Algorithms and Applications. Singapore: World Scientific; 2001. <http://site.ebrary.com/id/10255910>.
- [15] “Discrete Fourier Transform” , <https://www.sciencedirect.com/topics/engineering/discrete-fourier-transform> (accessed Nov. 17, 2022)
- [16] Islam, Saiful and Islam, Md. (2019). A Comparative Study on Discrete Fourier Transformation for Digital Signal Analysis. 01. 18-26.
- [17] Akansu, Ali N.; Agirman-Tosun, Handan “Generalized Discrete Fourier Transform With Nonlinear Phase”, IEEE Transactions on Signal Processing, vol. 58, no. 9, pp. 4547–4556, Sept. 2010.
- [18] Chu, Eleanor. (2008). Discrete and Continuous Fourier Transforms: Analysis, Applications and Fast Algorithms. 10.1201/9781420063646.
- [19] Steven W. Smith ”The Scientist and Engineer’s Guide to Digital Signal Processing”, California technical Publishing, 1999
- [20] Ochoa-Dominguez, Humberto; Rao, K. R. , “Discrete Cosine Transform” , Second Edition. CRC Press. (2019) ISBN 9781351396486.

- [21] Britanak, Vladimir; Rao, K. R. , “Cosine-/Sine-Modulated Filter Banks: General Properties, Fast Algorithms and Integer Approximations” , (2017), Springer. p. 478. ISBN 9783319610801.
- [22] Rao, K. R. and Patrick C. Yip. “Discrete Cosine Transform - Algorithms, Advantages, Applications”, (1990).
- [23] Ruch D. , van Fleet PJ , “Wavelet theory: an elementary approach with applications” , John Wiley and Sons, Hoboken, NJ (2009)
- [24] Percival DB, Walden AT , “Wavelet methods for time series analysis” , Cambridge University Press, Cambridge, (2006)
- [25] D. Lee Fugal, “Conceptual wavelets in digital signal processing: an in-depth, practical approach for the non-mathematician” , Space and Signals Technical Pub, 2009
- [26] Jean Baptiste Tary, Roberto Henry Herrera and Mirko van der Baan, “Analysis of time-varying signals using continuous wavelet and synchrosqueezed transforms”, Research article, The Royal Society Publishing, 2018
- [27] Radunović D. , “Wavelets from math to practice” , Springer-Verlag, Berlin, Academic mind, Belgrade, (2009)
- [28] Daubechies I. , “Ten Lectures On Wavelets” , CBMS-NSF Regional Conference Series in Applied Mathematics, SIAM: Society for Industrial and Applied Mathematics, 1999
- [29] Dong Wei, Alan C. Bovik, and Brian L. Evans, “Generalized Coiflets: A New Family of Orthonormal Wavelets” , Laboratory for Image and Video Engineering, Department of Electrical and Computer Engineering, The University of Texas at Austin, Austin, TX 78712-1084 USA
- [30] Lema-Condo, Efren and Bueno-Palomeque, Freddy and Castro-Villalobos, Susana and Ordóñez-Morales, Esteban and Serpa, Luis. , “Comparison of wavelet transform symlets (2-10) and daubechies (2-10) for an electroencephalographic signal analysis” , (2017) , 1-4. 10.1109/INTERCON.2017.8079702.

- [31] Michel Misiti, Yves Misiti, Georges Oppenheim, Jean-Michel Poggi , “Wavelet Toolbox 4 User’s Guide”, 1997
- [32] Gang Huang; Hong Jiang; Kim Matthews; Paul Wilford , “Lensless Imaging by Compressive Sensing” , 2013 IEEE International Conference on Image Processing. Vol. 2393. pp. 2101–2105.
- [33] Brady, David; Choi, Kerkil; Marks, Daniel; Horisaki, Ryoichi; Lim, Sehoon , “Compressive holography”, (2009), Optics Express. 17 (15): 13040–13049.
- [34] Musyyab Yousufi, Muhammad Amir, Umer Javed, Muhammad Tayyib, Suheel Abdul-lah, Hayat Ullah, Ijaz Mansoor Qureshi, Khurram Saleem Alimgeer, Muhammad Waseem Akram, Khan Bahadar Khan, “Application of Compressive Sensing to Ultrasound Images: A Review”, BioMed Research International, vol. 2019, Article ID 7861651, 14 pages, 2019. <https://doi.org/10.1155/2019/7861651>
- [35] Vivek Upadhyaya, Mohammad Salim, “Compressive Sensing: Methods, Techniques, and Applications” , 2021 IOP Conf. Ser.: Mater. Sci. Eng. 1099 012012 DOI 10.1088/1757-899X/1099/1/012012
- [36] Huang HK. “Biomedical image processing” , Crit Rev Bioeng. 1981;5(3):185-271. PMID: 7023828.
- [37] McRobbie DW , “MRI from picture to proton” , Cambridge, UK; New York: Cambridge University Press, (2007), ISBN 978-0-521- 68384-5
- [38] Catherine Westbrook, John Talbot, “MRI in Practice” , 5th Edition, Wiley-Blackwell, August 2018, ISBN: 978-1-119-39200-2
- [39] “Magnetic Resonance Imaging (MRI)”, <https://www.nibib.nih.gov/science-education/science-topics/magnetic-resonance-imaging-mri> (accessed Jan. 03, 2023)
- [40] Stark, Glenn. “X-ray” , Encyclopedia Britannica, 5 Dec. 2022, <https://www.britannica.com/science/X-ray>. Accessed 06 January 2023.
- [41] Russo, P. (Ed.), “Handbook of X-ray Imaging: Physics and Technology“, (1st ed.), CRC Press. (2017), <https://doi.org/10.1201/9781351228251>

- [42] “X-rays” , <https://www.nibib.nih.gov/science-education/science-topics/x-rays> (accessed Jan. 06, 2023)
- [43] Euclid Seeram, “Computed Tomography-Physical Principles, Patient Care, Clinical Applications, and Quality Control” , ISBN: 9780323790635, June 16, 2022
- [44] “Computed Tomography (CT)”, <https://www.nibib.nih.gov/science-education/science-topics/computed-tomography-ct> (accessed Jan. 10, 2023)
- [45] LJ. Stanković, M. Daković, and S. Vujović, “Adaptive Variable Step Algorithm for Missing Samples Recovery in Sparse Signals,” IET Signal Processing, vol. 8, no. 3, pp. 246 -256, 2014, DOI: 10.1049/iet-spr.2013.0385
- [46] Lj. Stanković, M. Daković, ”On a Gradient-Based Algorithm for Sparse Signal Reconstruction in the Signal/Measurements Domain”, Mathematical Problems in Engineering, vol. 2016, Article ID 6212674, 11 pages, 2016. <https://doi.org/10.1155/2016/6212674>
- [47] V.M. Patel and R. Chellappa, “Sparse Representations and Compressive Sensing for Imaging and Vision,” SpringerBriefs in Electrical and Computer Engineering, 2013
- [48] S. Boyd, N. Parikh, E. Chu, B. Peleato, and J. Eckstein. “Distributed optimization and statistical learning via the alternating direction method of multipliers”, Foundations and Trends in Machine Learning, 3(1):1–122, 2011
- [49] Neal Parikh, Stephen Boyd, “Proximal Algorithms”, Foundations and Trends in Optimization, Vol. 1, No. 3 (2013) 123–231
- [50] Han, DR. “A Survey on Some Recent Developments of Alternating Direction Method of Multipliers” , J. Oper. Res. Soc. China 10, 1–52 (2022). <https://doi.org/10.1007/s40305-021-00368-3>
- [51] Zhouchen Lin, Huan Li, Cong Fang , “Alternating Direction Method of Multipliers for Machine Learning”, Springer Singapore, 2022
- [52] A. Maneesha and K. Shanti Swarup, “A survey on applications of Alternating Direction Method of Multipliers in smart power grids”, Renewable and Sustainable Energy Reviews, Volume 152, December 2021, 111687

- [53] Daniel P. Robinson and Rachael Tappenden, “A Flexible ADMM Algorithm for Big Data Applications”, Journal of Scientific Computing volume 71, 435–467 (2017)
- [54] Jincheng Li, Jinlan Li, Zhaoyang Xie and Jian Zou, “Plug-and-Play ADMM for MRI Reconstruction With Convex Nonconvex Sparse Regularization” , IEEE Access ( Volume: 9) November 2021
- [55] Ji He, Yan Yang, Yongbo Wang, Dong Zeng, Zhaoying Bian, Hao Zhang, Jian Sun, Zongben Xu and Jianhua Ma, “Optimizing a Parameterized Plug-and-Play ADMM for Iterative Low-Dose CT Reconstruction” , IEEE Transactions on Medical Imaging, vol. 38, no. 2, pp. 371-382, Feb. 2019, doi: 10.1109/TMI.2018.2865202.

## Prilog

### Kod za sliku 2.1, Signal u vremenskom i DCT domenu

```

1 N = 128;
2 t=0:0.2:N;
3 f1=8/N;
4 f2 = 20/N;
5 x = 7 + 4*cos(2*pi*t*f1)- 2*cos(2*pi*t*f2);
6
7 y=dct(x);
8
9 figure
10 plot(t,x)
11 xlabel('Vrijeme');
12
13 figure
14
15 plot(y,'r','LineWidth',2)
16 xlabel('Frekvencija');
```

### Kod za sliku 2.2, Wavelet transformacija

```

1 slika = imread('C:\Users\Korisnik\Desktop\Lena.jpg');
2 S = im2double(slika);
3
4 wv = 'db10';
5 [cA1,cH1,cV1,cD1] = dwt2(S,wv);
6 sx = size(S);
7 A1 = idwt2(cA1,[],[],[],wv,sx);
8 H1 = idwt2([],cH1,[],[],wv,sx);
9 V1 = idwt2([],[],cV1,[],wv,sx);
10 D1 = idwt2([],[],[],cD1,wv,sx);
```

11

```
12 figure
13 subplot(2,2,1)
14 image(wcodemat(A1,192))
15 title('Aproksimacija')
16 subplot(2,2,2)
17 image(wcodemat(H1,192))
18 title('Horizontalni detalji')
19 subplot(2,2,3)
20 image(wcodemat(V1,192))
21 title('Vertikalni detalji')
22 subplot(2,2,4)
23 image(wcodemat(D1,192))
24 title('Dijagonalni detalji')
```

**Kod za sliku 2.7, DFT**

```
1 Ts = 1/30;
2 t = 0:Ts:10;
3 x = sin(2*pi*4*t) + sin(3*pi*7*t);
4 figure
5 plot(t,x)
6 xlabel('Vrijeme (s)')
7 ylabel('Amplituda')
8
9 y = fft(x);
10 fs = 1/Ts;
11 f = (0:length(y)-1)*fs/length(y);
12 figure
13 plot(f,abs(y))
14 xlabel('Frekvencija (Hz)')
15 ylabel('Magnituda')
```

**Kod za sliku 2.8, DCT**

```

1 slika = imread('kids.tif');
2 I= imresize(slika,[256 256]);
3 I = im2double(I);
4 C = dctmtx(8);
5 dct = @(block_struct) C * block_struct.data * C';
6 D1 = blockproc(I,[8 8],dct);
7 matrix = [1 1 1 1 1 0 0 0
8 1 1 1 1 0 0 0 0
9 1 1 1 0 0 0 0 0
10 1 0 0 0 0 0 0 0
11 0 0 0 0 0 0 0 0
12 0 0 0 0 0 0 0 0
13 0 0 0 0 0 0 0 0
14 0 0 0 0 0 0 0 0];
15 D2 = blockproc(D1,[8 8],@(block_struct) matrix .* block_struct.
data);
16 invdct = @(block_struct) C' * block_struct.data * C;
17 I2 = blockproc(D2,[8 8],invdct);
18 imshow(I)
19 figure
20 imshow(I2)
```

**Kod za sliku 2.10, Wavelet denoiser**

```

1 rng default;
2 [X,XN] = wnoise('bumps',11,3.5);
3 subplot(211)
4 plot(X); title('Originalni signal');
5 AX = gca;
6 AX.YLim = [0 12];
7 subplot(212)
8 plot(XN); title('Signal sa šumom');
```

```
9 AX = gca;
10 AX.YLim = [0 12];
11 xd = wdenoise(XN,4);
12 figure;
13 plot(X, 'blue', 'LineWidth', 1.5)
14 hold on;
15 plot(xd, 'red', 'LineWidth', 1.5)
16 legend('Originalni signal', 'Rekonstruisani signal', 'Location', '
NorthEast')
17 axis tight;
18 hold off;
```